



ABITIBI
GÉOPHYSIQUE

RESSOURCES CARTIER INC.

LEVÉS MAG-GPS ET OREVISION®

PROJET CADILLAC EXTENSION

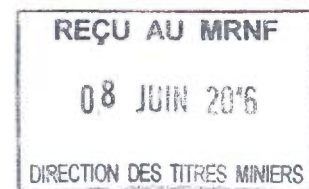
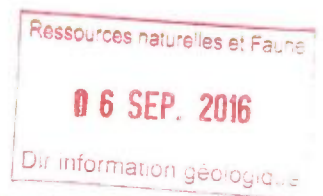
CANTON DE BAUDIN, QUÉBEC, CANADA

RAPPORT D'INTERPRÉTATION

15N047

MARS 2016

GM 69574



1569110

TABLE DES MATIÈRES

1. Interprétation et recommandations	1
2. Le mandat	26
3. La propriété Cadillac Extension	27
4. Levé magnétométrique au sol positionné par GPS	29
5. Levé OreVision®	30

CARTES ANNEXÉES

Numéro de carte	Description	Échelle
Levé de magnétométrie positionné par GPS		
1.2	Contours du champ total (nT)	1:10 000
1.4	Contours du gradient vertical calculé (nT/m)	1:10 000
Levé OreVision®		
26 planches	Pseudo-sections (en format PDF seulement)	1:10 000
26 planches	Sections verticales de l'inversion 3D avec cibles de sondage	1:20 000
8.2_400	Résistivité inversée à une élévation de 400 m (Ohm-m)	1:10 000
8.2_300	Résistivité inversée à une élévation de 300 m (Ohm-m)	1:10 000
8.2_200	Résistivité inversée à une élévation de 200 m (Ohm-m)	1:10 000
8.2_100	Résistivité inversée à une élévation de 100 m (Ohm-m)	1:10 000
8.2_0	Résistivité inversée à une élévation de 0 m (Ohm-m)	1:10 000
8.3_400	Chargeabilité inversée à une élévation de 400 m (mV/V)	1:10 000
8.3_300	Chargeabilité inversée à une élévation de 300 m (mV/V)	1:10 000
8.3_200	Chargeabilité inversée à une élévation de 200 m (mV/V)	1:10 000
8.3_100	Chargeabilité inversée à une élévation de 100 m (mV/V)	1:10 000
8.3_0	Chargeabilité inversée à une élévation de 0 m (mV/V)	1:10 000
8.4_400	Facteur métal calculé à une élévation de 400 m	1:10 000
8.4_300	Facteur métal calculé à une élévation de 300 m	1:10 000
8.4_200	Facteur métal calculé à une élévation de 200 m	1:10 000
8.4_100	Facteur métal calculé à une élévation de 100 m	1:10 000
8.6_0	Facteur métal calculé à une élévation de 0 m	1:10 000
10.0	Interprétation géophysique	1:10 000

Information complémentaire à l'Annexe 1 - Projet Cadillac Extension :

Section 1 :

Coupe de ligne de **92,6 km** qui se détaille comme suit :

- **2,6 km** de ligne coupée pour réaliser des tests géophysiques de calibration au-dessus du gîte Langlade afin de bien définir les paramètres du levé à réaliser sur la propriété;
- **78 km** de ligne coupée pour collecter les données du levé sur la propriété;
- **12 km** de ligne coupée pour la ligne de base de 6 km ("Base line") et la ligne de rattachement de 6 km (Tie line) afin d'obtenir une grille avec des lignes parallèles et permettre le déplacement en forêt du personnel et de l'équipement.

Section 2 :

Levé OreVision de **82,4 km** qui se détaille comme suit :

- **4,4 km** de levé OreVision (2 levés; un de 2,6 km et l'autre de 1,8 km) pour réaliser des tests géophysiques de calibration au-dessus du gîte Langlade afin de bien définir les paramètres du levé à réaliser sur la propriété;
- **78 km** de levé OreVision pour collecter les données géophysiques sur la propriété.

1. INTERPRÉTATION ET RECOMMANDATIONS

□ PRÉAMBULE

Le présent levé OreVision® à grande pénétration (600 m) fait suite à un test concluant de la technique effectué à l'été 2015 sur une seule ligne (inversion 2D, référence 15N040) passant ~100 m à l'est de la partie affleurante du gîte polymétallique de Langlade (Zn, Cu, Au, Ag).

Lors de la présente campagne, deux blocs de lignes ont été couverts (51 lignes-km à l'ouest incluant le gîte Langlade et 27 lignes-km à l'est) et furent inversées en 3D indépendamment due à la distance de 2.4 km les séparant. Avant d'entrer dans le détail des découvertes que ces travaux promettent, nous devons examiner de près la réponse 3D du gîte.

La figure 1 montre une vue 3D regardant vers le bas des isosurfaces du facteur métal. Rappelons que le levé-test 2D avait établi l'importance de ce paramètre qui allie conductivité et polarisabilité pour mieux cerner ce type de minéralisation. Cette vue démontre bien que le gîte répond très nettement mais que son extension spatiale est très limitée (source CX-09 sur la carte d'interprétation jointe en annexe). Le présent levé ayant été conçu pour prospecter profondément (dipôles de 50 m, 150 m entre les lignes), sa résolution n'est certes pas optimale pour restituer fidèlement en 3D le petit gîte Langlade.

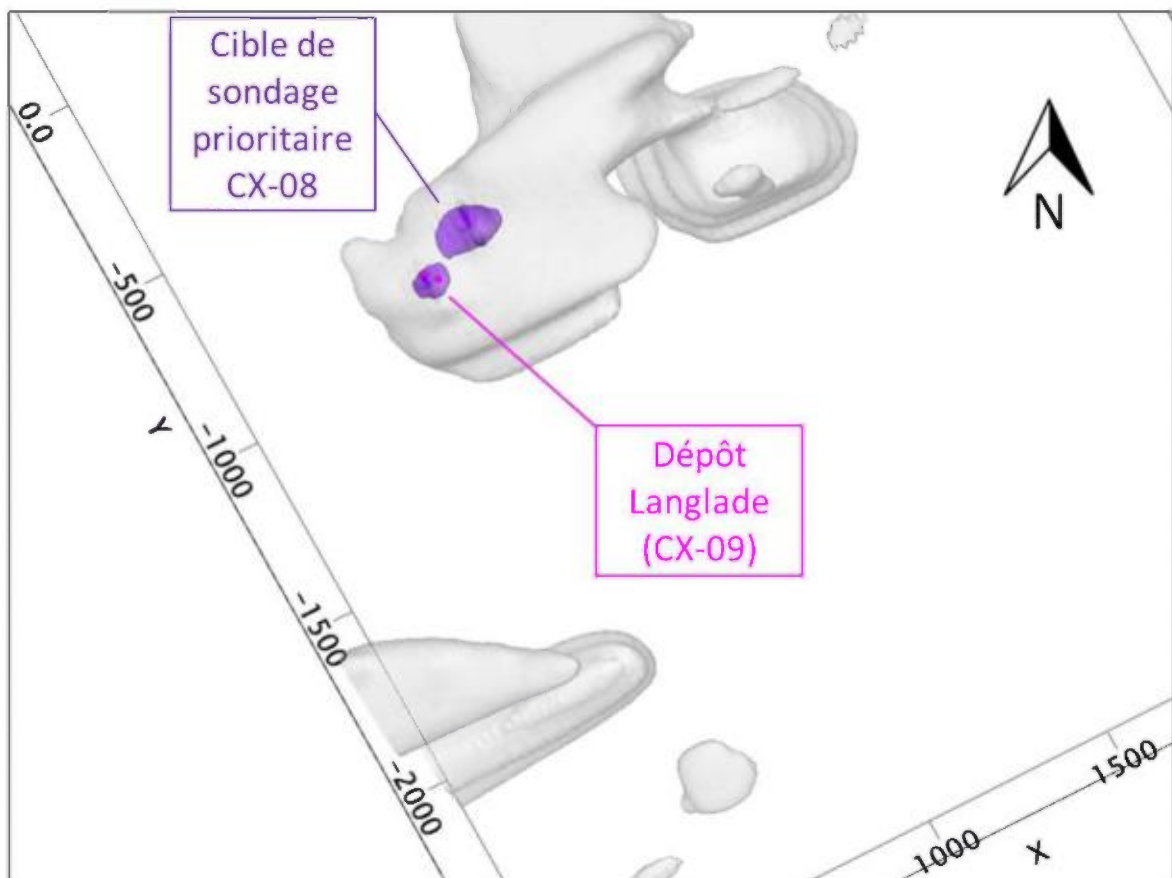


Figure 1. Vue vers le bas des isosurfaces du facteur métal (30,000 en mauve et 3,000 en gris). La position des parties affleurantes du gîte Langlade est indiquée par les deux points magenta. (Ligne 6+00E, station 9+00S)

Par contre, comme le suggère la figure 2, plusieurs sources anomaliques affichant la même signature que le gîte, et chacune d'un volume beaucoup plus important, ont été cernées dans le sous-sol de la propriété Cadillac Extension. Un programme de forage très prometteur totalisant 9250 m sur les meilleures cibles OreVision est recommandé suite à l'analyse détaillée des présents résultats.

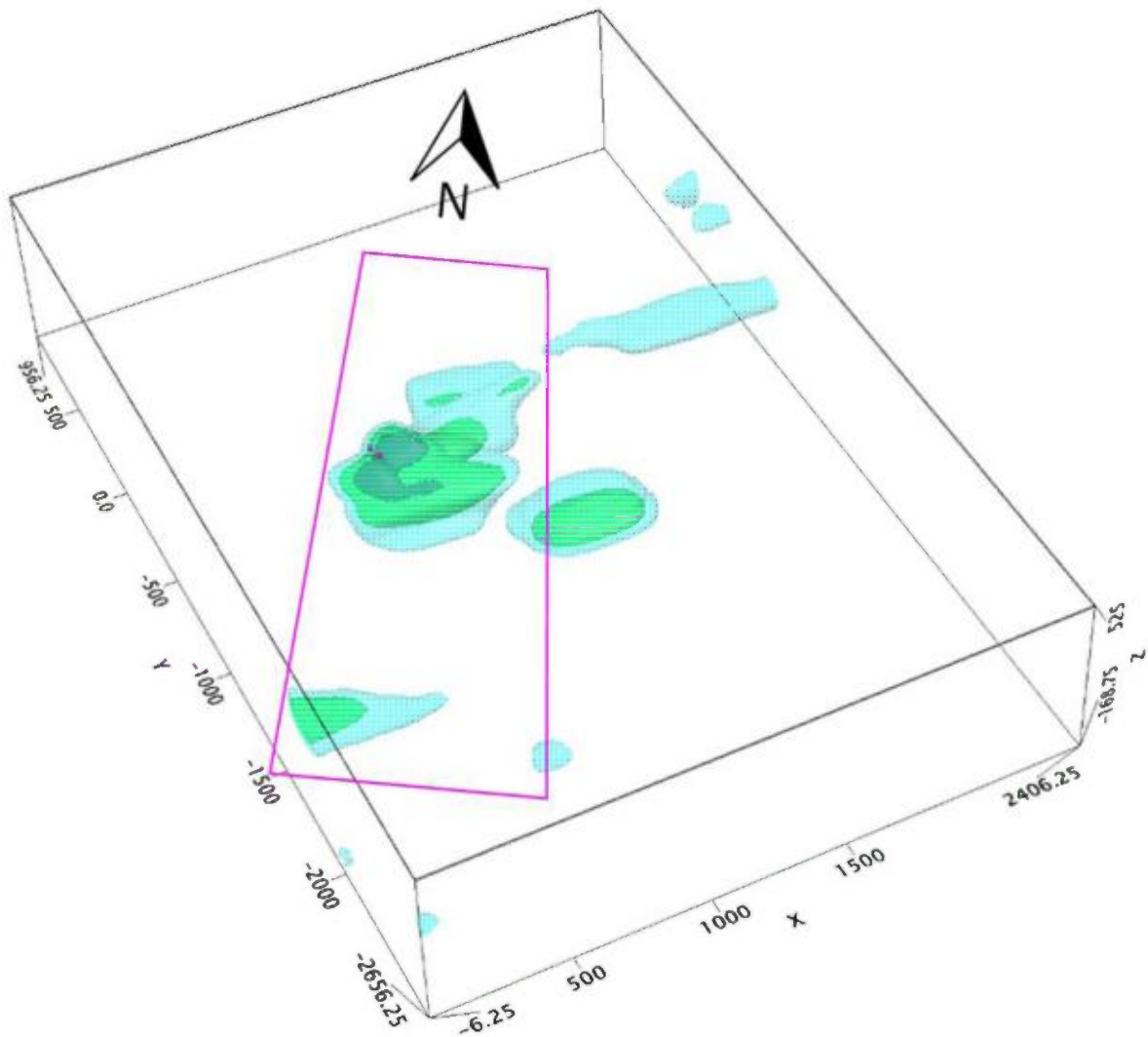


Figure 2. Vue en perspective 3D des isosurfaces du facteur métal (5,000, 10,000 et 20,000). Le trapèze magenta indique le corridor NS dans lequel les cibles CX-06B, CX-08, CX-12, CX-16, CX-18, CX-19 et CX-20 sont concentrées. L'environnement du gîte Langlade est passablement magnétique. Nous avons également tenu compte de cette signature dans l'établissement des priorités de recommandations de forage (voir le tableau 1)

❑ **BLOC OUEST**

Vingt sources polarisables, dont la majorité (dix-sept) sont également conductrices, ont été identifiées sur ce bloc. Les sources les plus prometteuses sont localisées dans un corridor NS qui inclut le gîte Langlade. Du nord vers le sud on retrouve :

Source	Longueur	Élévation de la cible	Recommandation *	Priorité
CX-06B	~ 300 m	180 m	Sondage (figure 5)	1
CX-08	~ 600 m	250 m	Sondage (figure 4)	1
CX-09	~ 150 m	410 m	Gîte Langlade connu	-
CX-12	~ 600 m	310 m	Sondage (figure 3)	1
CX-16	~ 450 m	210 m	Sondage (figure 14)	3
CX-18	Ouverte	270 m	Sondage (figure 9)	2
CX-19	Ouverte	- 50 m	Sondage (figure 9)	2
CX-20	Mal définie	310 m	Extension du levé	4

*Voir le tableau 1 pour le détail des forages recommandés

CX-06B, 08 et 12 représentent vraiment des cibles hautement prioritaires.

CX-18 n'est pas conductrice, sa nature apparaît donc différer de celle du gîte. Mentionnons que son amplitude pourrait avoir été amplifiée (dans sa partie ouest) par la présence de la voie ferrée.

À l'est de ce fameux corridor très prometteur, deux autres cibles sont classifiées prioritaires, soient CX-07 et CX-13, possiblement associées à CX-06B et CX-12 respectivement. Voir le tableau 1 et les figures 6 et 7 pour le détail des forages recommandés.

Toujours dans la portion Est du bloc Ouest, soulignons également CX-01 et CX-02/03 qui justifient un sondage en seconde priorité. CX-04 mérite quant à elle un forage de troisième priorité. (figures 11, 8 et 13 dans l'ordre).

À l'ouest du corridor NS il n'y a que les sources CX-06A et CX-05 qui retiennent l'attention (sondages décrits aux figures 10 et 12).

Tableau 1. Cibles de forage sur le Bloc Ouest du Projet Cadillac Extension

Priorité_Source	Type / Intérêt de la cible	Ass. MAG	Localisation de la cible			Sondage proposé				Figure	Page
			Ligne	Station	Élévation	Station	Azimut	Inclinaison	Longueur		
1_CX-12	Localisée immédiatement au sud-est du gîte Langlade (CX-09), mais de dimension 4 fois plus grande.	✓	9+00E	10+00S	310 m	10+75S	332°	55°	300 m	3	5
1_CX-08	Localisée immédiatement au nord-est du gîte Langlade, mais d'extension 4 fois plus grande.	✓	10+50E	7+25S	250 m	5+75S	152°	55°	400 m	4	6
1_CX-06B	Même signature OreVision que les deux précédentes, complète la trilogie d'amas très prometteurs de plus en plus profonds le long d'un corridor NS.	(✓)	12+00E	4+50S	180 m	6+00S	332°	60°	400 m	5	7
1_CX-07	Extension possible de CX-06B vers l'est. Meilleure cible dans la portion EST de cette grille.	(✓)	21+00E	4+37S	170 m	6+00S	332°	60°	450 m	6	8
1_CX-13	Pourrais représenter l'extension vers l'est de CX-12. Cible très profonde; moins profonde à l'extrémité EST (24+00E) mais beaucoup moins contrastée.	✓	13+50E	9+12S	-130 m	7+00S	152°	70°	800 m	7	9
2_CX-02 2_CX-03	Source polarisable sub-verticale intrigante englobant un conducteur prononcé au sud et un fort résistif au nord.	(✓) ✓	24+00E 24+00E	2+12N 1+37N	230 m 230 m	3+00N	152°	55°	400 m	8	10
2_CX-18 2_CX-19	Double source ou source complexe pouvant être testée par un seul sondage profond.		3+00E 3+00E	17+87S 19+62S	270 m -50 m	17+00S	152°	65°	800 m	9	11
2_CX-06A	La source chargeable est plus importante en volume que le conducteur associé.	(✓)	6+00E	4+25S	270 m	2+75S	132°	60°	500 m	10	12
2_CX-01	Localisée à l'extrémité nord de la grille mais apparaît suffisamment bien définie pour être testée par forage.	(✓)	19+50E	5+75N	170 m	4+25N	332°	60°	400 m	11	13
3_CX-05	Imposante source polarisable plutôt subhorizontale, plus mince en résistivité, intérêt à confirmer par sondage.	(✓)	3+00E	5+00S	350 m	6+25S	332°	55°	300 m	12	14
3_CX-04	Possiblement de même nature que CX-07 mais de dimensions plus restreintes.	(✓)	22+50E	1+25S	290 m	2+50S	332°	60°	300 m	13	15
3_CX-16	Localisée dans le même corridor NS que le gîte Langlade et les sources à fort potentiel CX-06B, 08 et 12, au sud de cette dernière.		7+50E	14+87S	210 m	17+00S	332°	50°	450 m	14	16

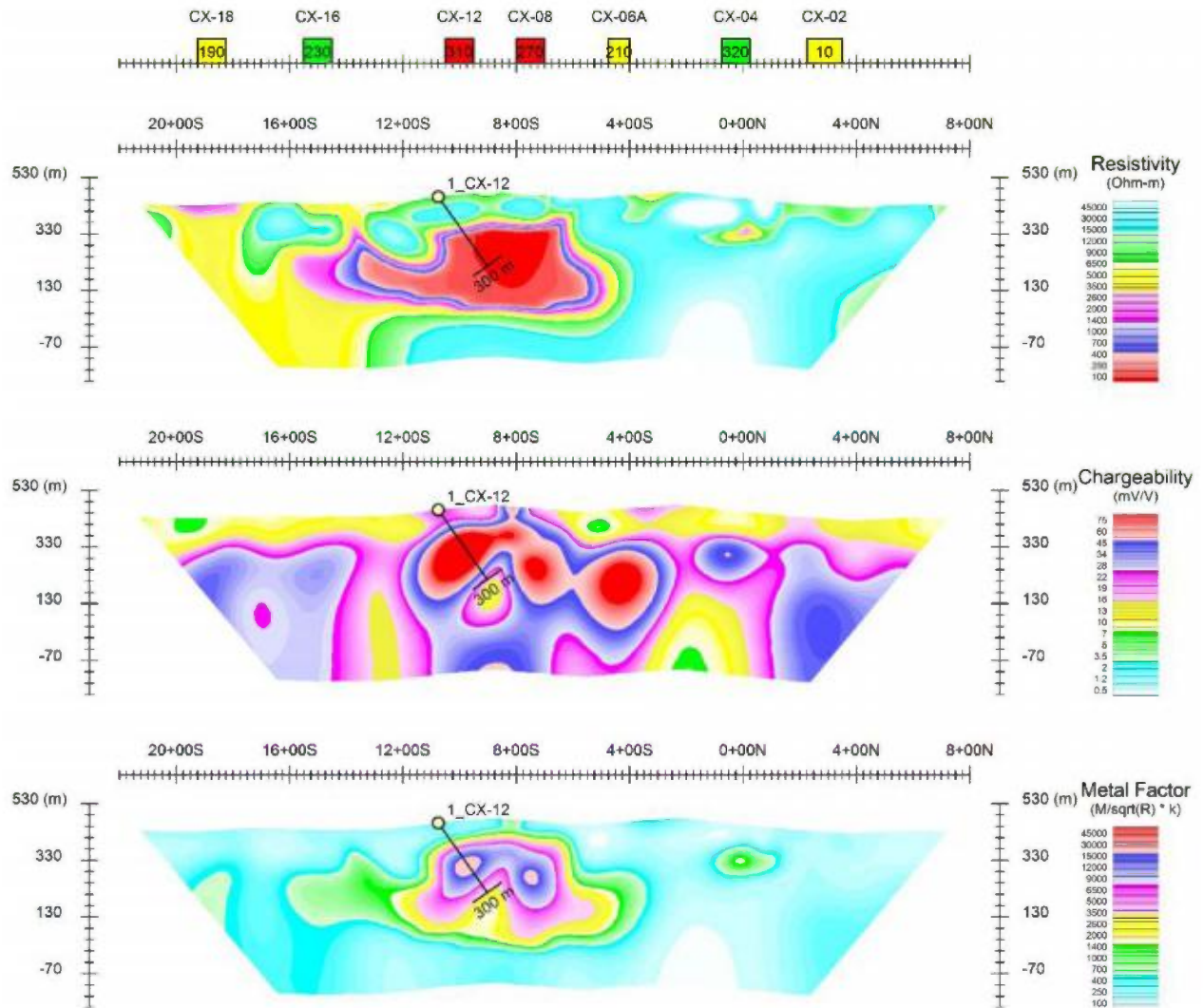


Figure 3. Sondage recommandé en première priorité de la source CX-12 sur la ligne 9+00E

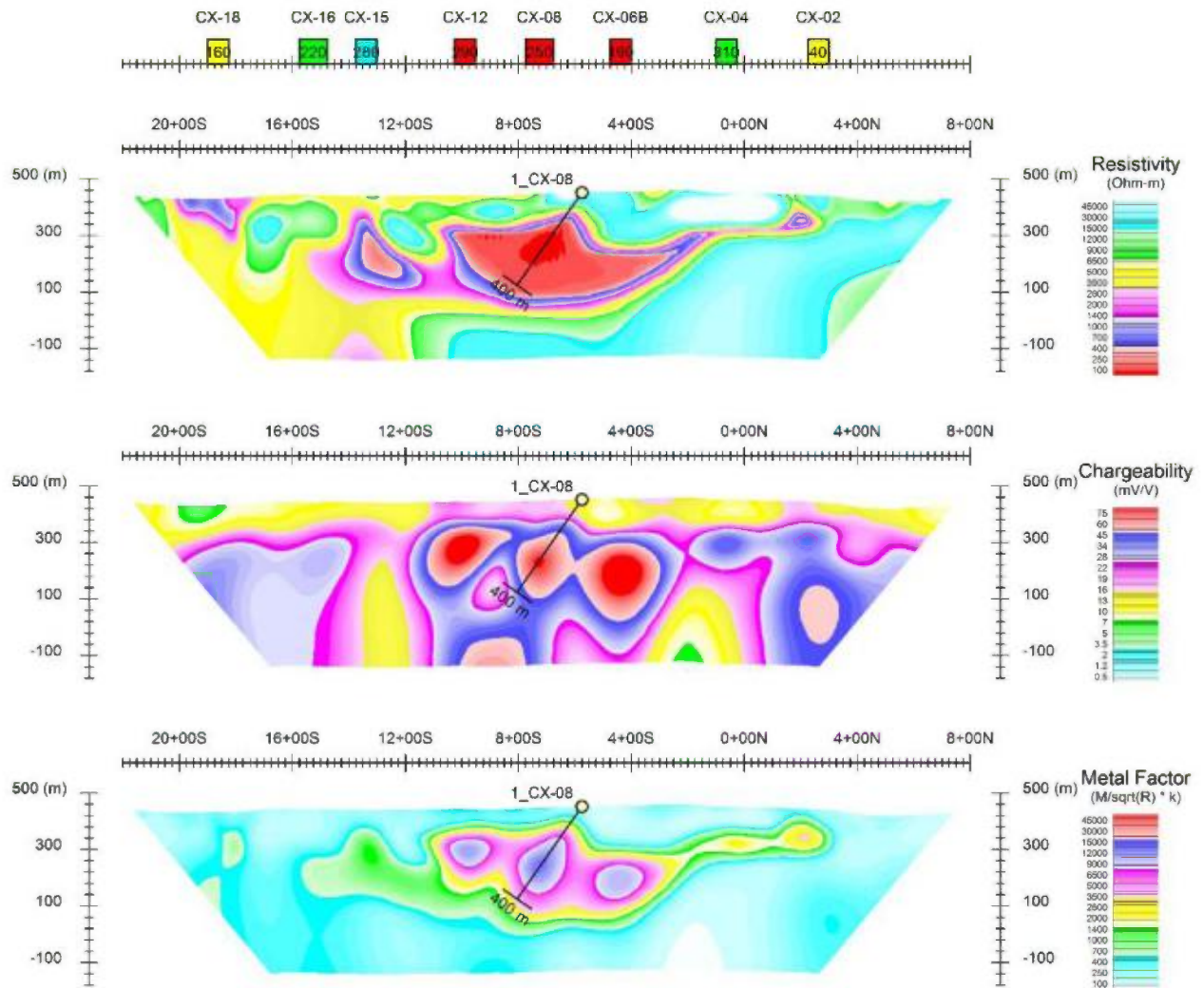


Figure 4. Sondage recommandé en première priorité de la source CX-08 sur la ligne 10+50E

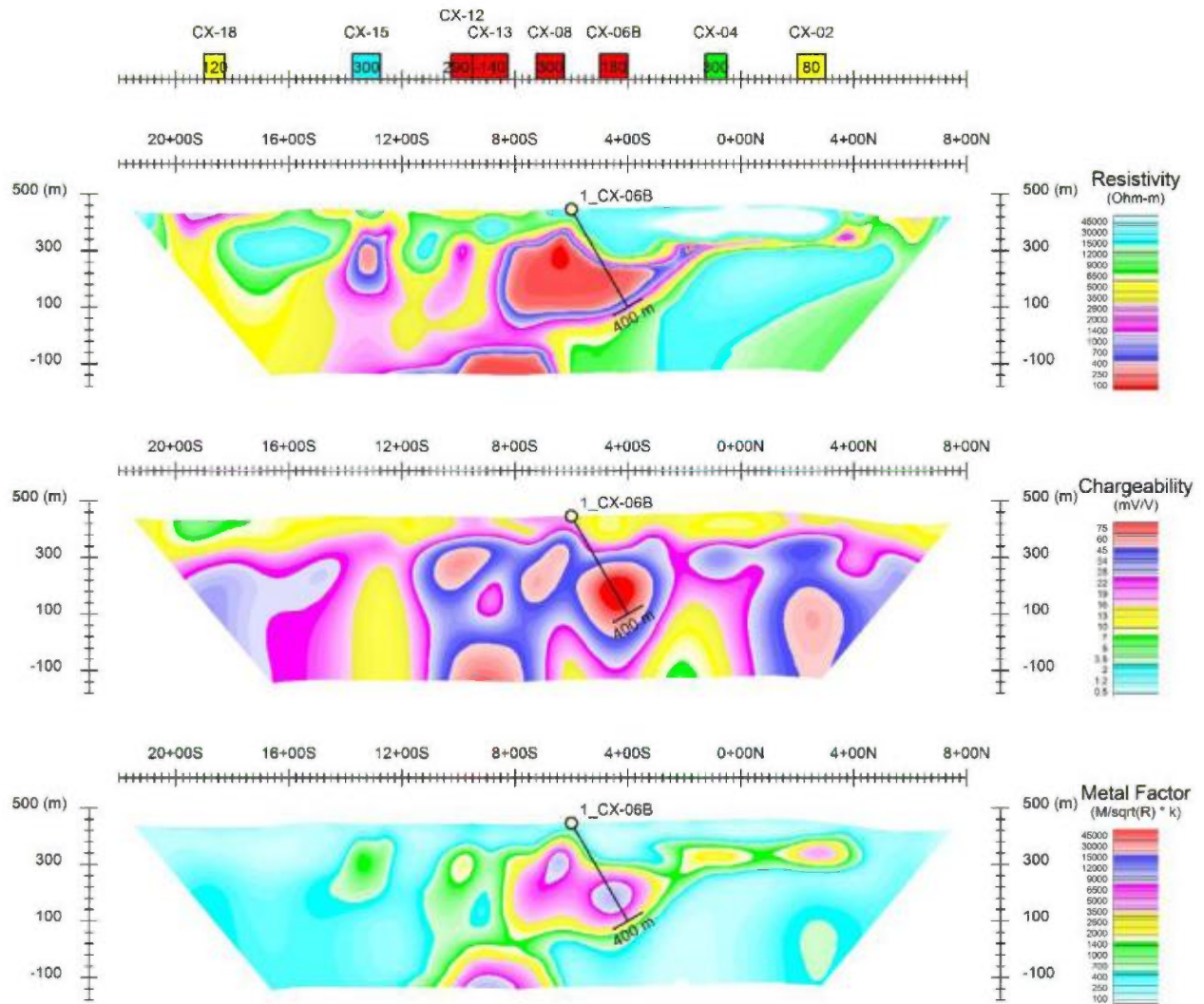


Figure 5. Sondage recommandé en première priorité de la source CX-06B sur la ligne 12+00E

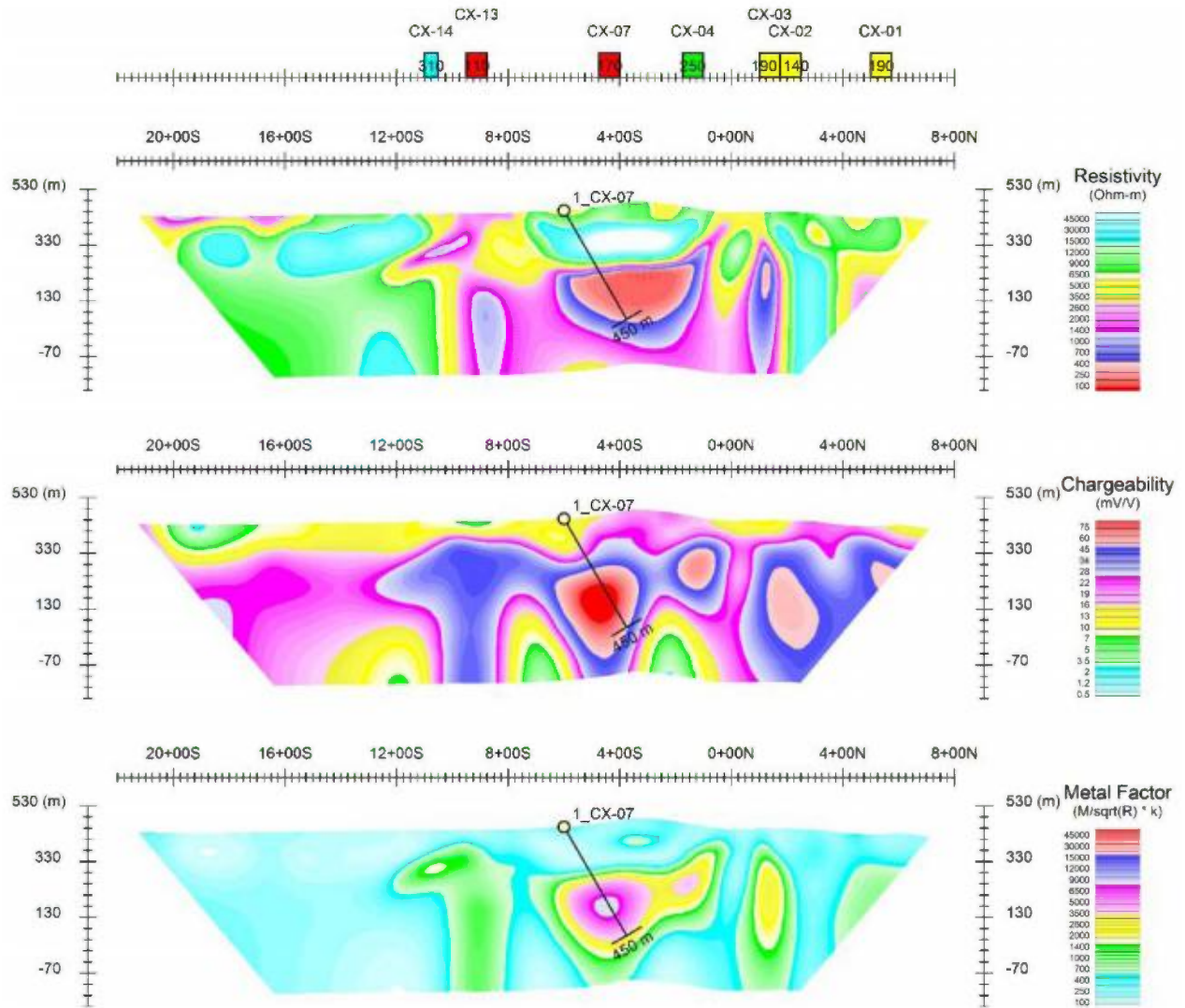


Figure 6. Sondage recommandé en première priorité de la source CX-07 sur la ligne 21+00E

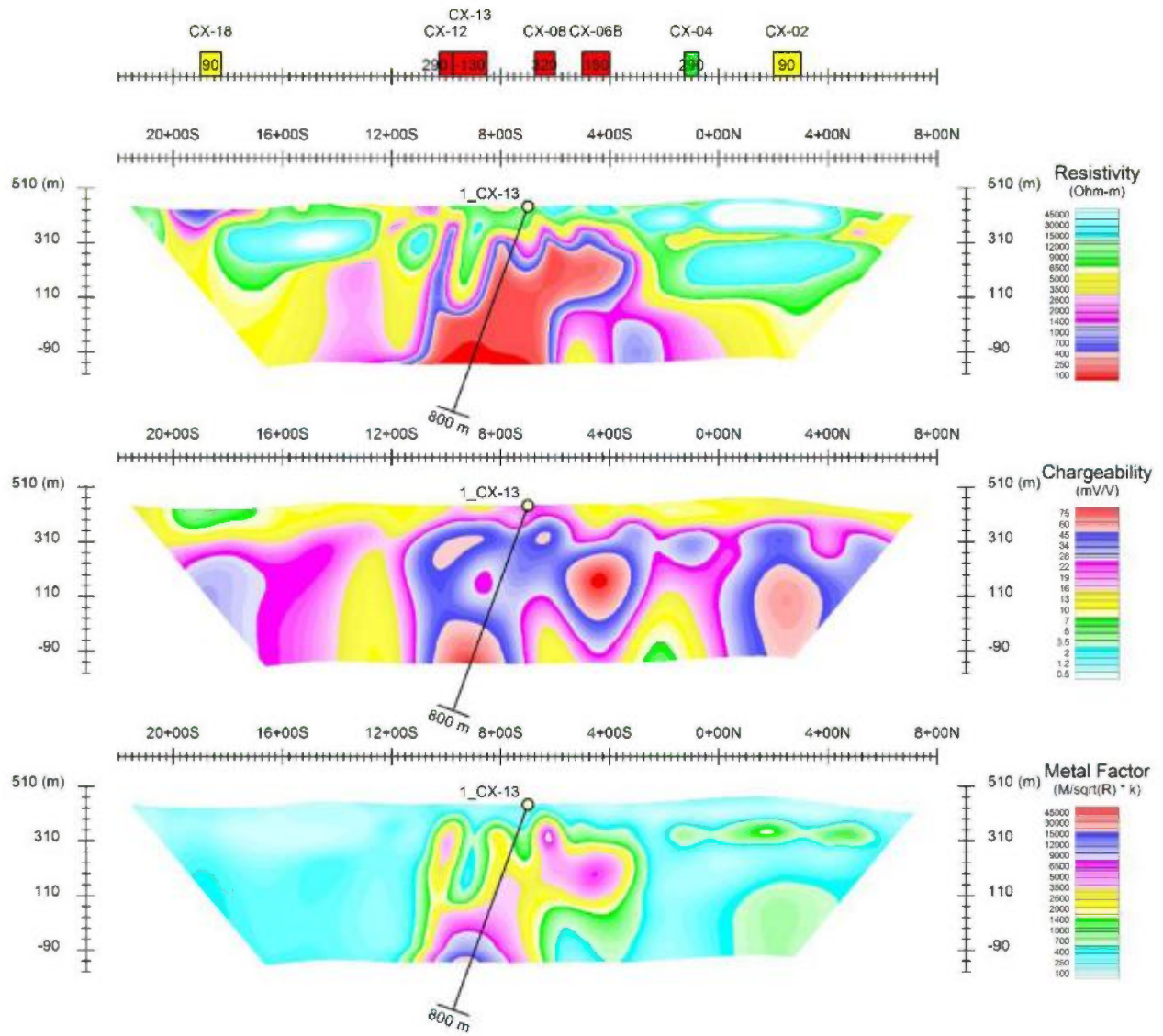


Figure 7. Sondage recommandé en première priorité de la source CX-13 sur la ligne 13+50E

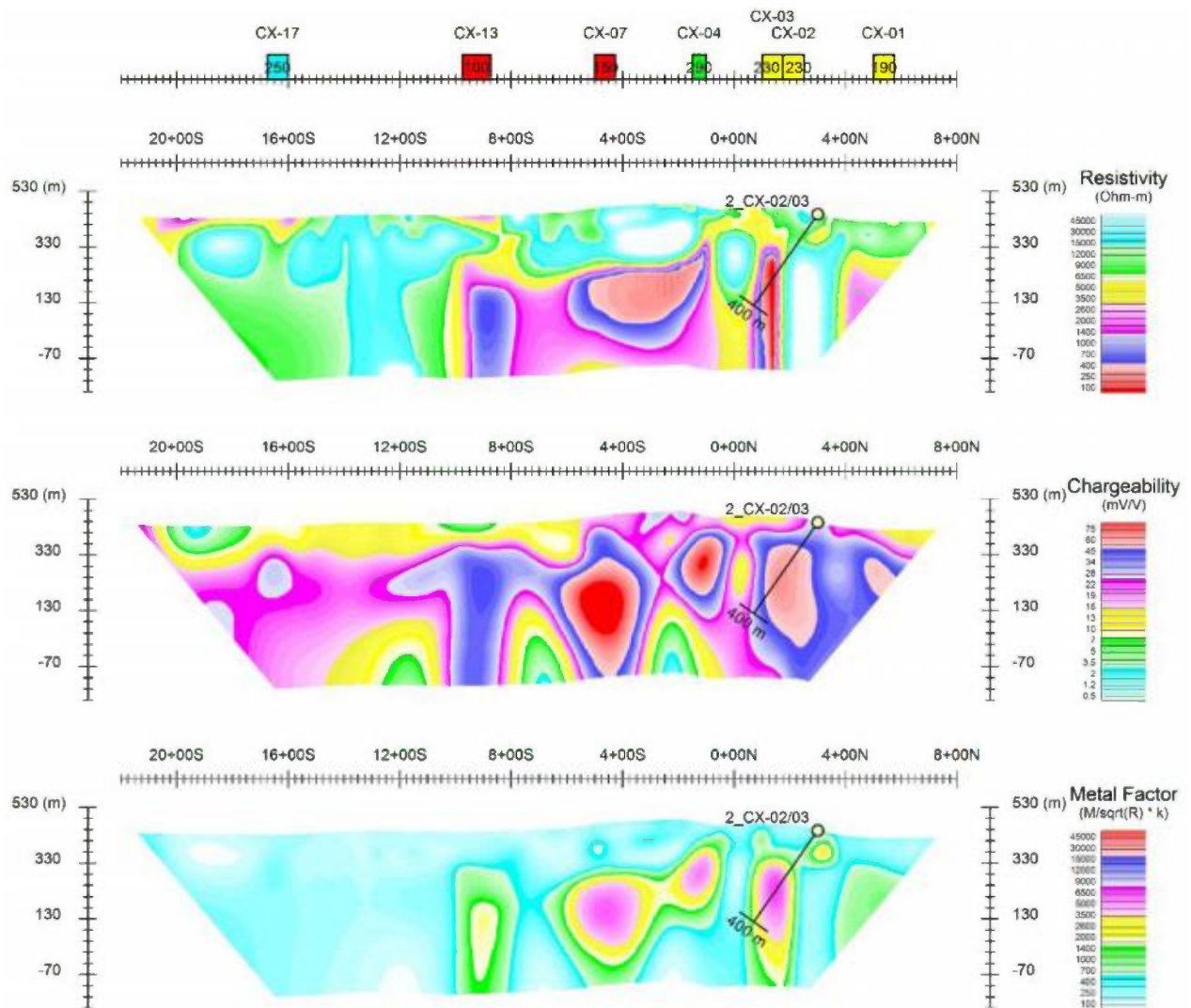


Figure 8. Sondage recommandé en deuxième priorité de les sources CX-02 et CX-03 sur la ligne 24+00E

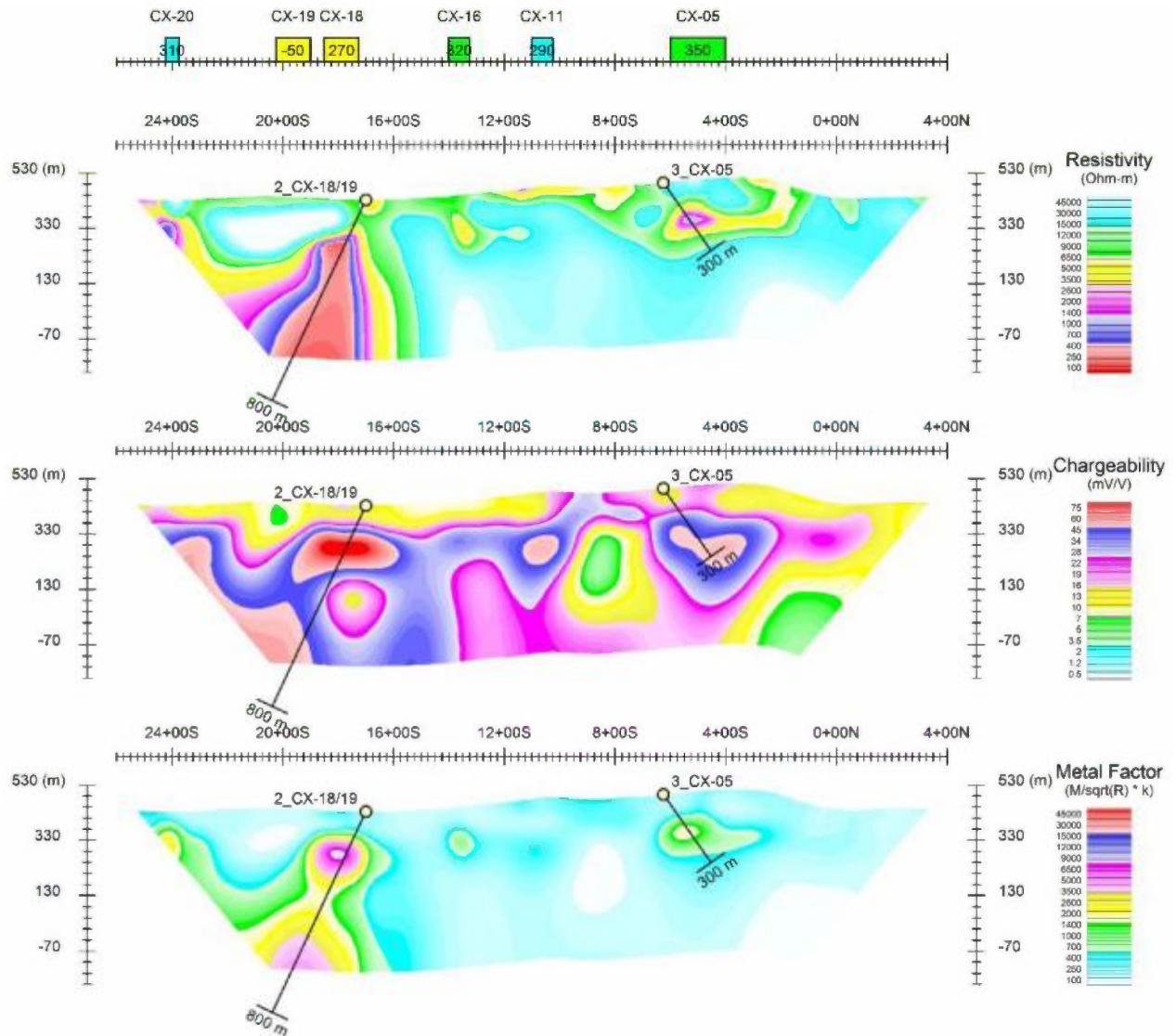


Figure 9. Sondage recommandé en deuxième priorité de les sources CX-18 et CX-19 sur la ligne 3+00E

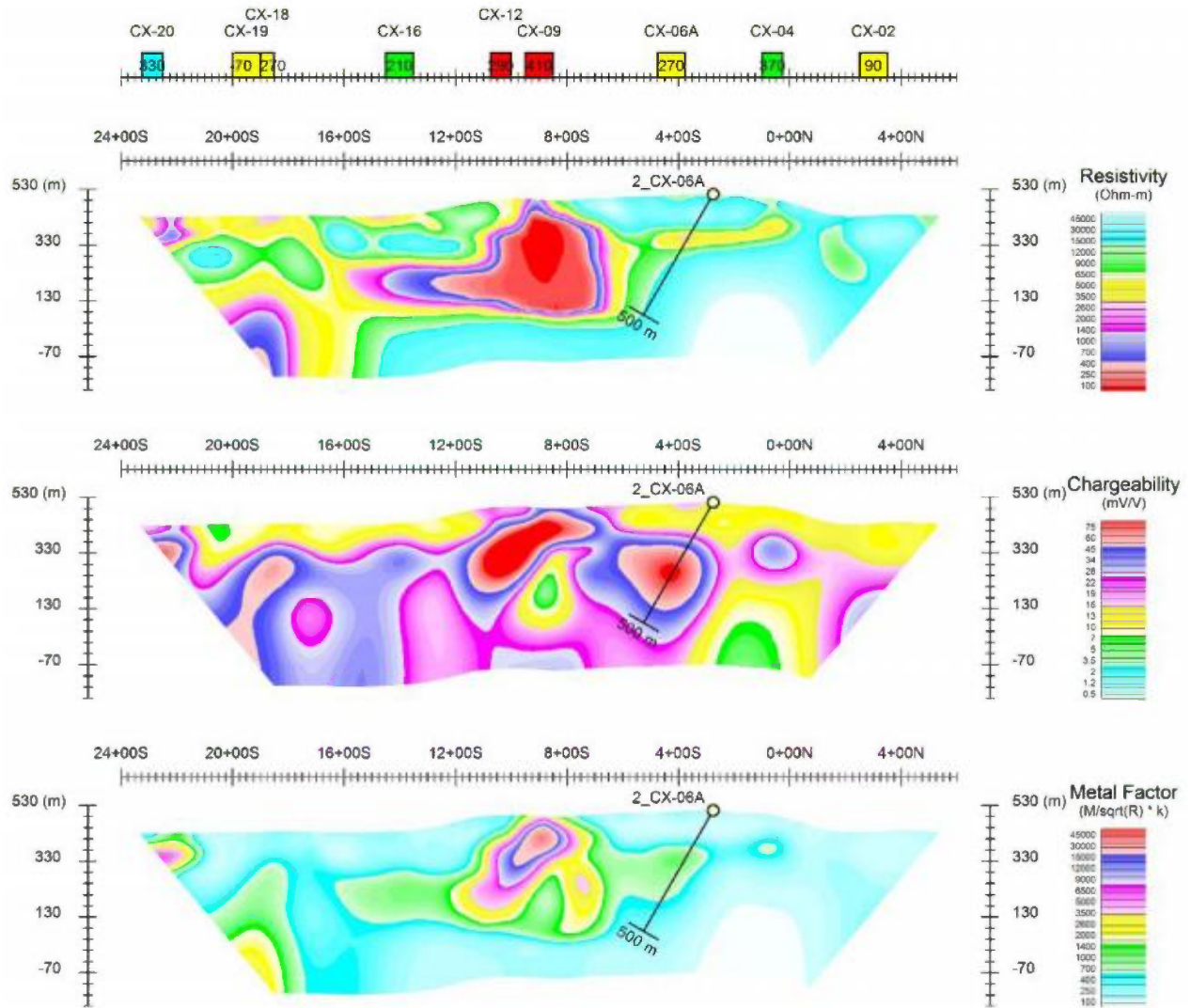


Figure 10. Sondage recommandé en deuxième priorité de la source CX-06A sur la ligne 6+00E

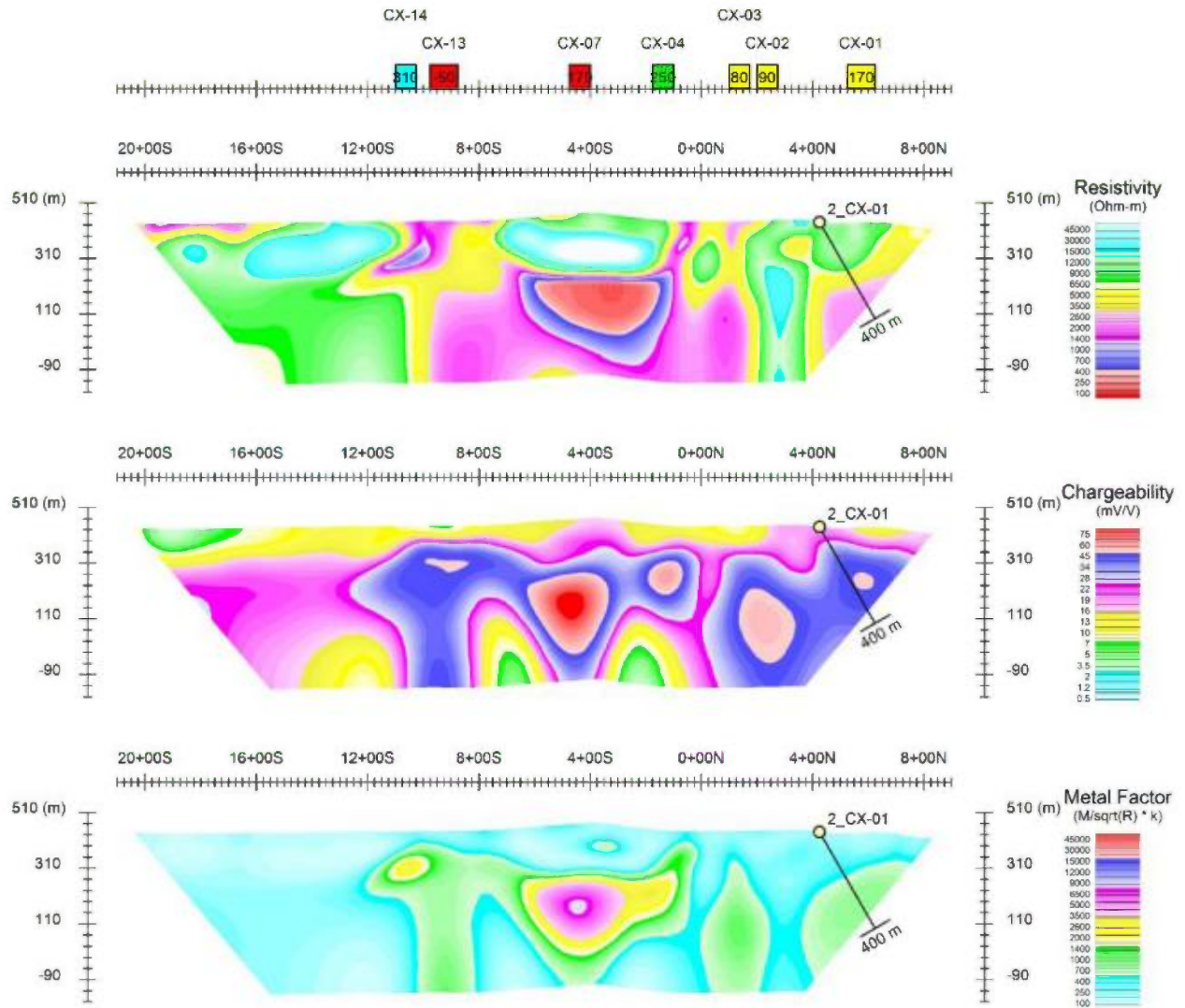


Figure 11. Sondage recommandé en deuxième priorité de la source CX-01 sur la ligne 19+50E

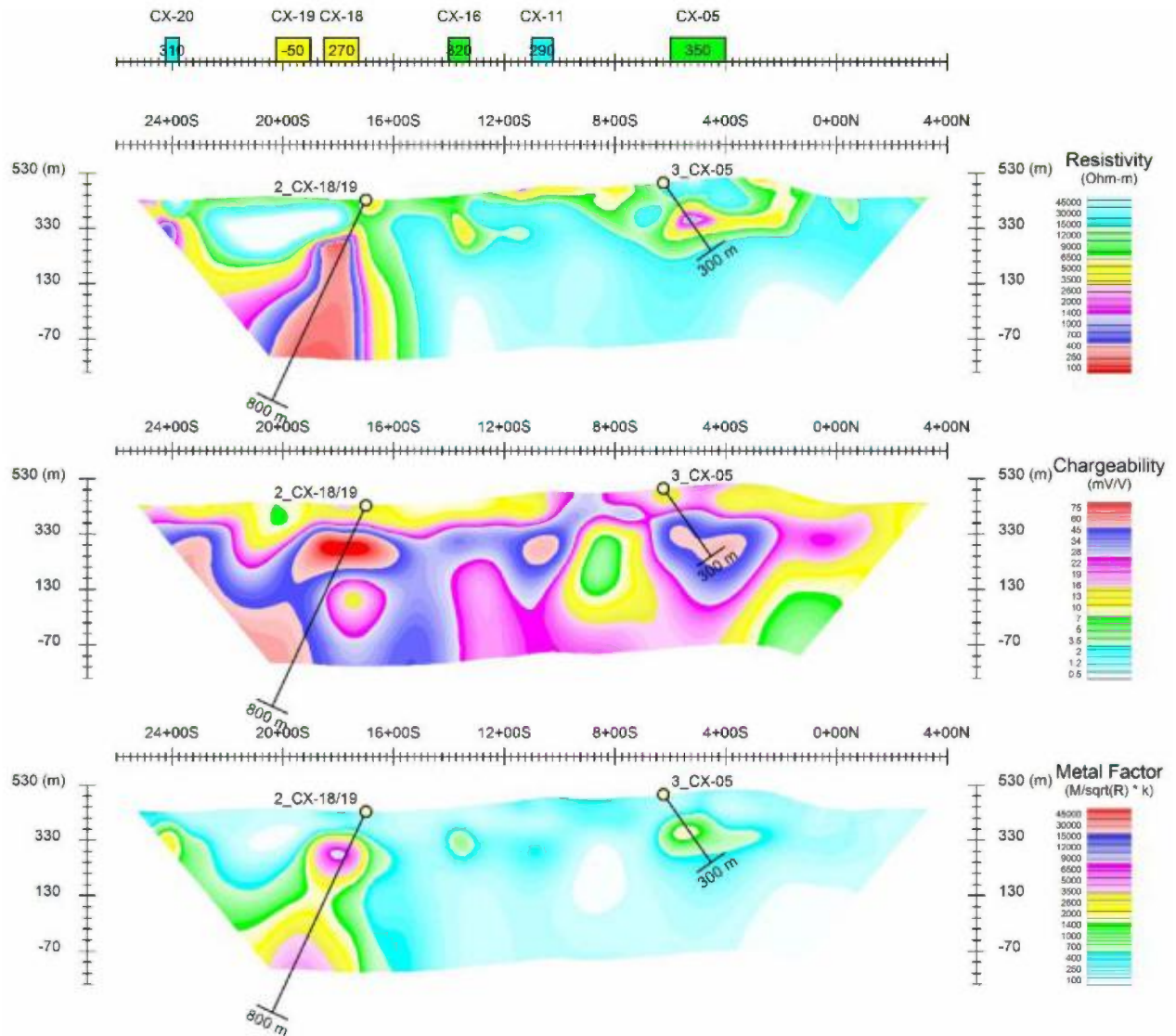


Figure 12. Sondage recommandé en troisième priorité de la source CX-05 sur la ligne 3+00E

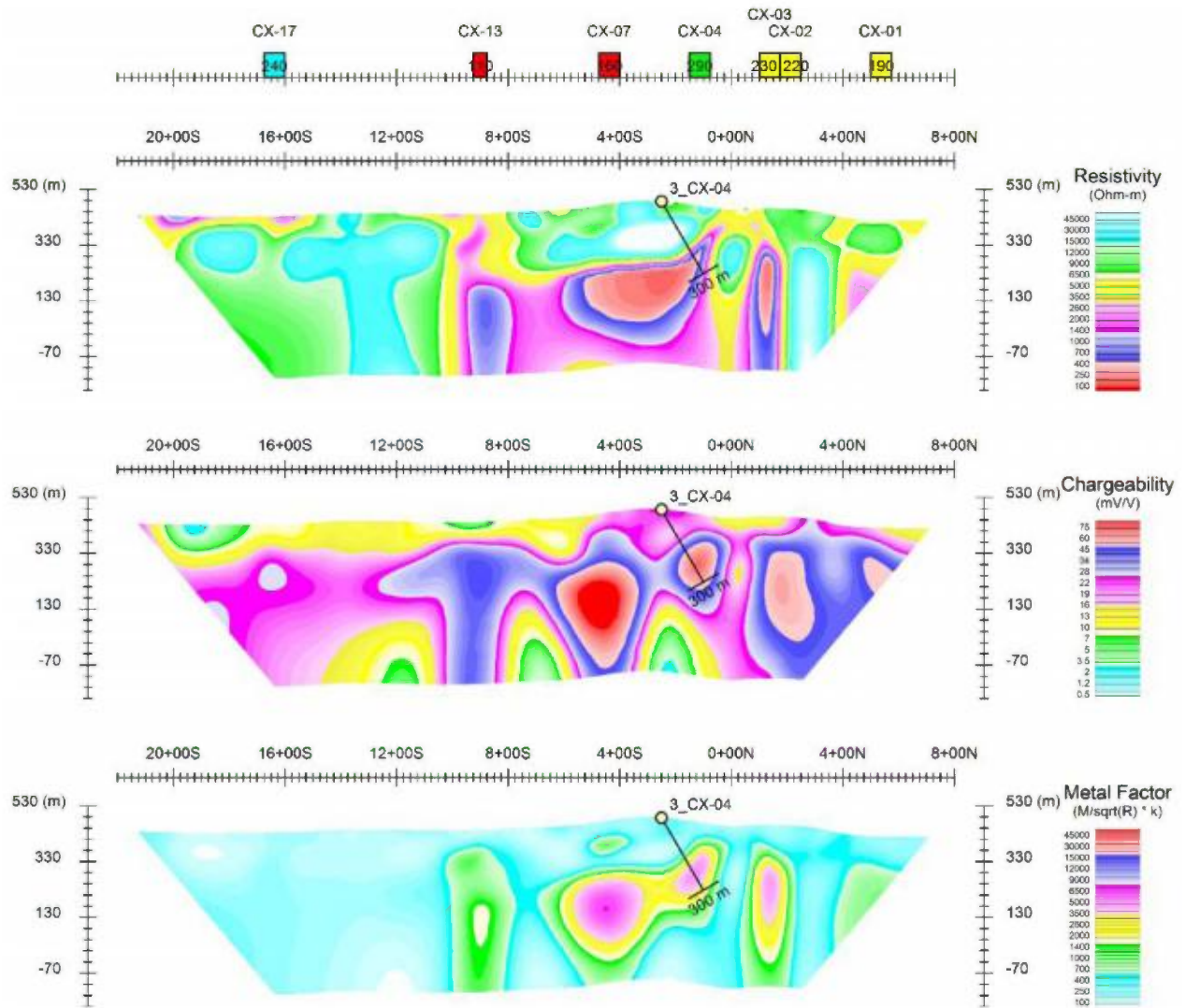


Figure 13. Sondage recommandé en troisième priorité de la source CX-04 sur la ligne 22+50E

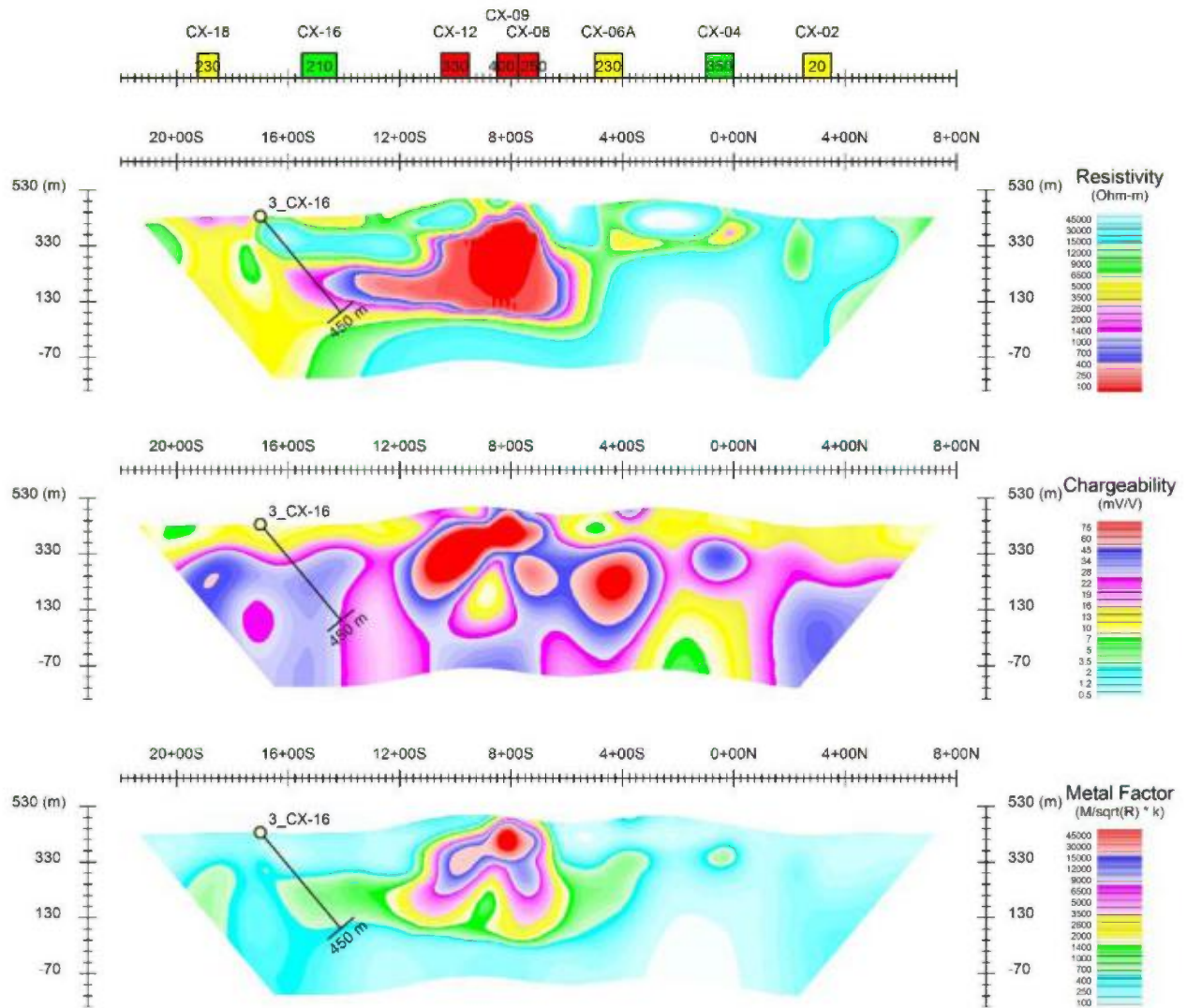


Figure 14. Sondage recommandé en troisième priorité de la source CX-16 sur la ligne 7+50E

□ BLOC EST

Treize sources polarisables, toutes conductrices à l'exception de CX-60, ont été recensées. CX-55 est de loin la plus prometteuse sur ce bloc. Sa source est de toute évidence très massive, au point où nous préférons nous baser exclusivement sur le facteur métal pour cibler les 2 forages recommandés sur celle-ci (de part et d'autre de la faille interprétée *f1*). Voir le tableau 2 et les figures 15 et 16 pour le détail des sondages recommandés. Cinq autres sources de caractère analogue pourraient représenter des extensions de CX-55 :

- CX-52, 53, 54 et 57 s'apparentent à des lambeaux subhorizontaux dont l'intérêt économique pourrait être testé par de courts sondages en seconde priorité (figures 16, 18 et 19)
- CX-51 pourrait représenter l'extension en profondeur des amas minéralisés précédents. Un sondage plus long sera requis ici (700 m) vue la profondeur de la source causative. (sondage recommandé en première priorité, voir la figure 18). Advenant des résultats encourageants, une extension du levé OreVision® vers l'ouest et le nord-est serait justifiée.

Située complètement au sud, CX-63 représente la troisième cible de première priorité sur le Bloc Est. Tout comme CX-51, si le sondage recommandé sur la ligne 60+00E (figure 17) est positif, une extension du présent levé permettrait de voir si le caractère conducteur et polarisable de cette source continue de s'accroître vers l'est.

Malgré son caractère en apparence non conducteur, CX-60 justifie tout de même, de par sa dimension et sa forte polarisabilité, un sondage en seconde priorité sur la ligne 58+50E (figure 20). Soulignons que ce sondage recommandé de 450 m pourrait être poussé jusqu'à 800 m pour tester la cible profonde CX-61 (priorité 3).

La dernière cible de forage (priorité 3) est CX-59 dont la réponse s'améliore jusqu'à la limite Est du bloc. (figure 20) CX-62 ne fait pas l'objet de recommandation de suivi car sa signature porte l'empreinte d'une source formationnelle sans intérêt probable (bande de pyrrhotine ou de graphite).

Tableau 2. Cibles de forage sur le Bloc Est du Projet Cadillac Extension

Priorité_ Source	Type / intérêt de la cible	Ass. MAG	Localisation de la cible			Sondage proposé				Figure	Page
			Ligne	Station	Élévation	Station	Azimut	Inclinaison	Longueur		
1_CX-55W 1_CX-55E	Large source très conductrice et polarisable. Cible hautement prioritaire à tester par forage des deux côtés de la faille interprétée.	(✓) ✓	52+50E 57+00E	2+75S 4+87S	300 m 330 m	4+25S 6+25S	332° 332°	50° 50°	400 m 400 m	15 16	19 20
1_CX-63	Source polarisable au contact sud d'un corps très résistif. La conductivité de CX-63 s'accroît en progressant vers l'est.	(✓)	60+00 E	19+12S	320 m	20+25S	332°	50°	300 m	17	21
1_CX-51	Source conductrice et polarisable profonde possiblement associée aux sources subhorizontales CX-52, 53, 54 et 57. Suffisamment bien définie pour être testée malgré sa localisation à l'extrémité NW de cette grille.	✓	51+00E	3+50N	-120 m	5+75N	152°	65°	700 m	18	22
2_CX-53 2_CX-52 2_CX-54 2_CX-57	Sources conductrices et polarisables subhorizontales possiblement reliées aux cibles de première priorité CX-55 et CX-51.	✓ (✓)	57+00E 60+00E 60+00E 51+00E	2+00S 3+25N 0+62S 4+87S	380 m 300 m 330 m 340 m	1+50S 2+75N 0+50S 4+50S	152° 332° 152° 152°	70° 70° 70° 60°	150 m 250 m 200 m 200 m	16 19 19 18	20 23 23 22
2_CX-60	Seule source polarisable entièrement non conductrice relevée sur le bloc Est. Son volume et sa grande polarisabilité suscitent suffisamment d'intérêt pour en justifier le sondage.		58+50E	10+87S	170 m	9+25S	152°	60°	450 m (800 m si 3_CX-61 inclus)	20	24
3_CX-59	Relativement petite source conductrice et polarisable, dont la réponse s'améliore vers l'est. Des résultats de sondage intéressants justifieraient l'extension du levé OreVision® vers l'est.	✓	58+50E	9+37S	280 m	10+75S	332°	50°	300 m	20	24
3_CX-61	Source conductrice subverticale profonde dont la réponse en chargeabilité est diffuse. Vérification par sondage justifiée si on prolonge le trou 2_CX-60 de 350 m.		58+50E	12+50S	-120 m	10+75S	152°	60°	800 m	20	24

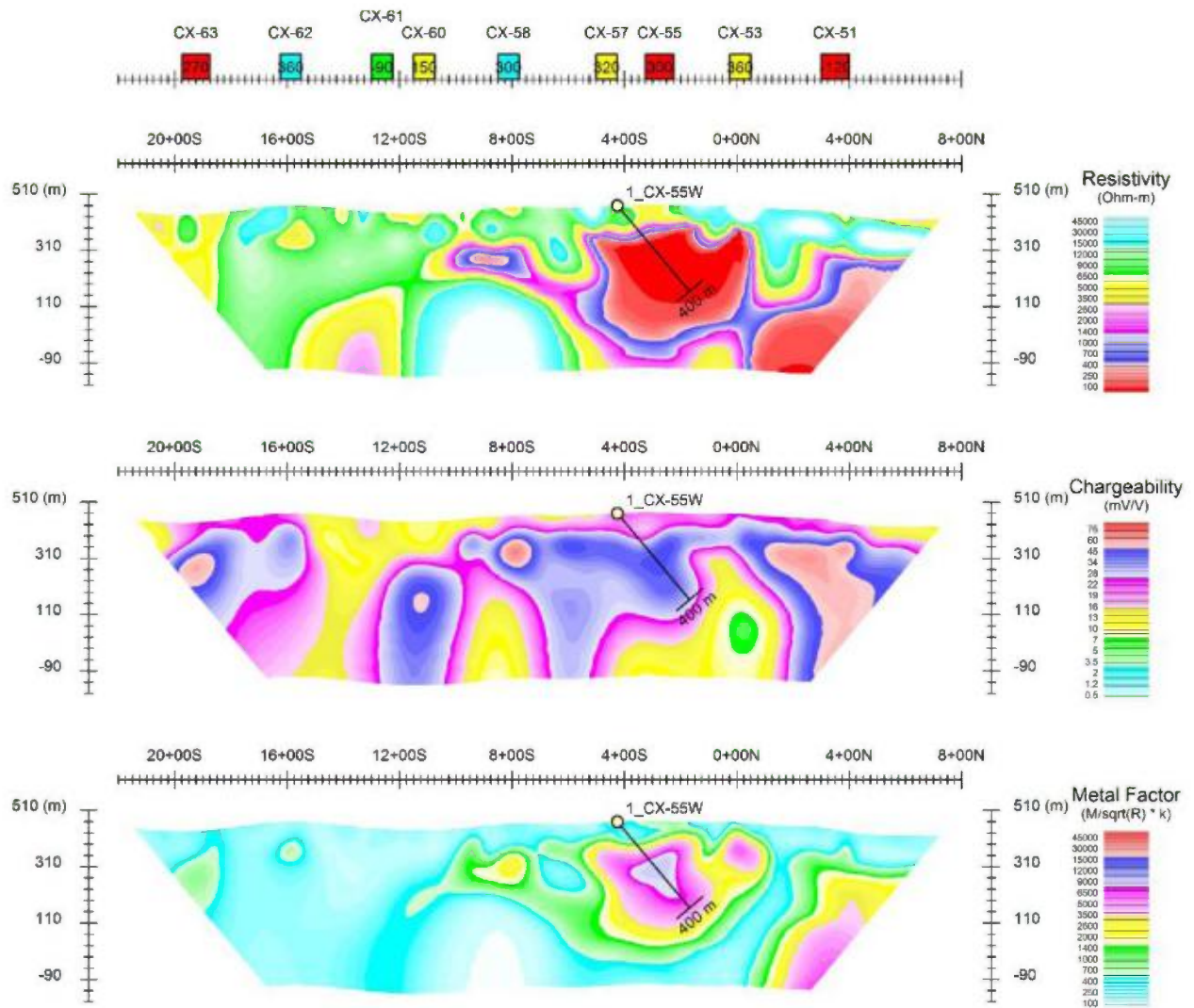


Figure 15. Sondage recommandé en premier priorité de la source CX-55W sur la ligne 52+50E

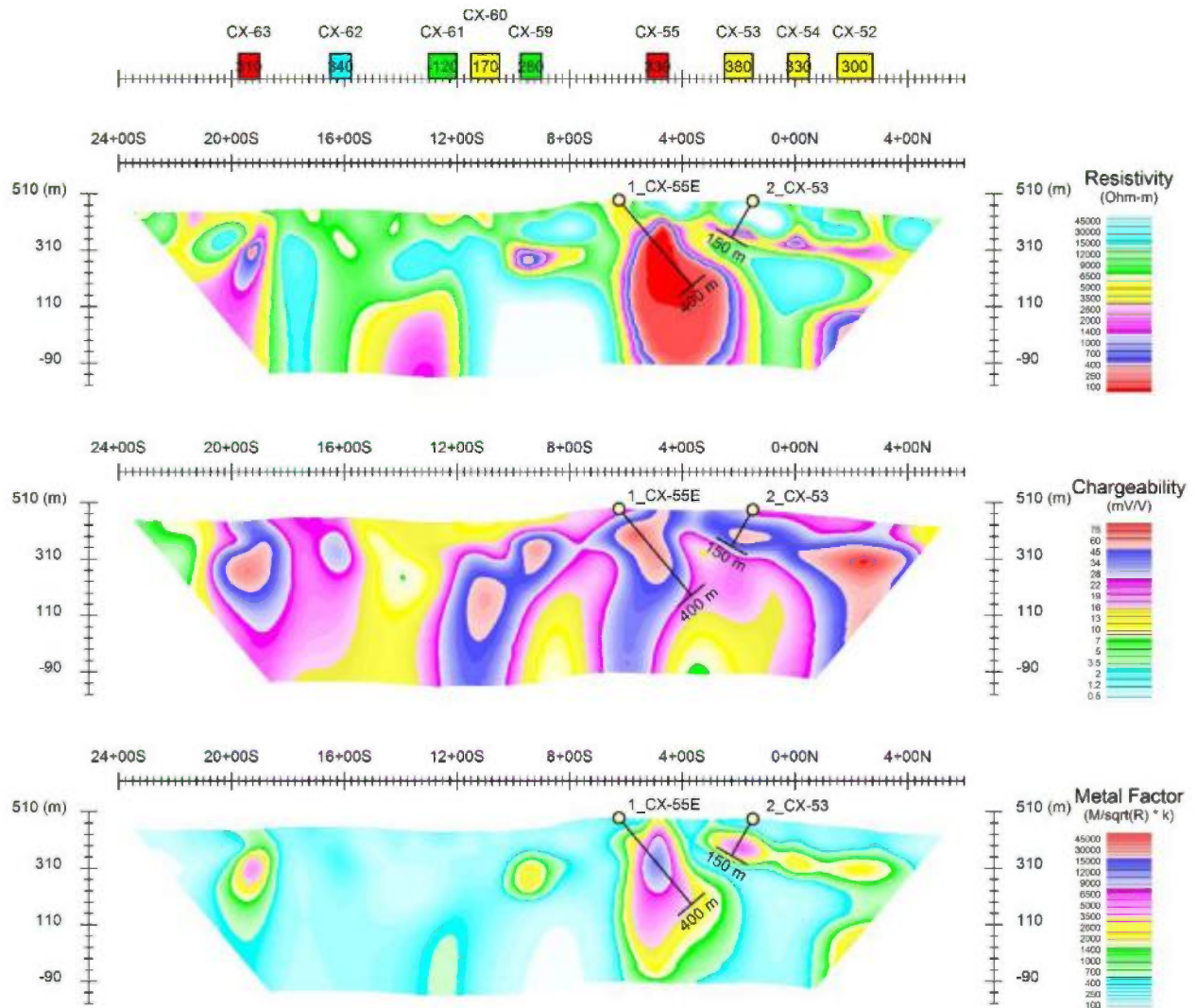


Figure 16. Sondage recommandé en première priorité de la source CX-55E et en deuxième priorité de la source CX-53 sur la ligne 57+00E

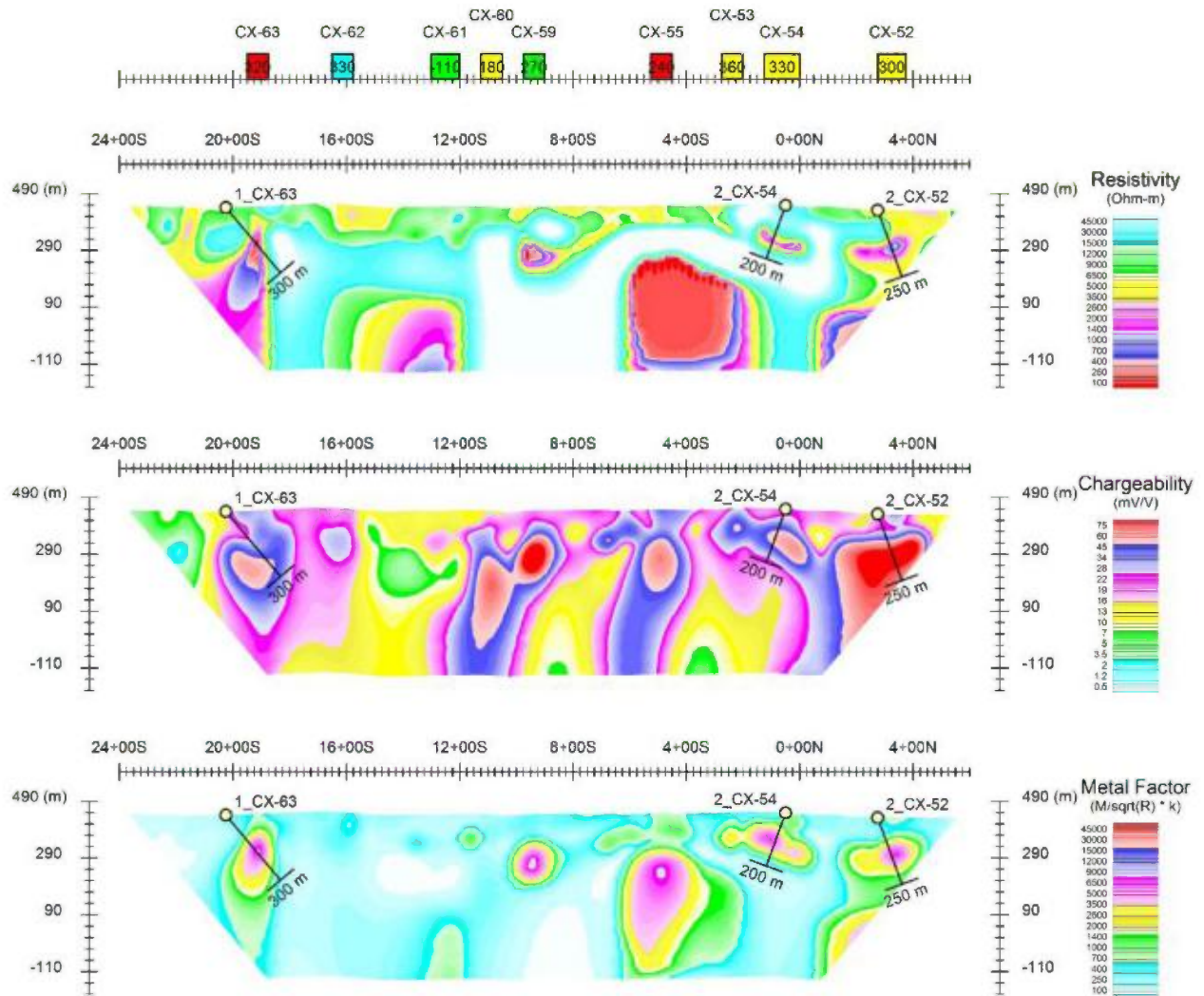


Figure 17. Sondage recommandé en première priorité de la source CX-63 sur la ligne 60+00E

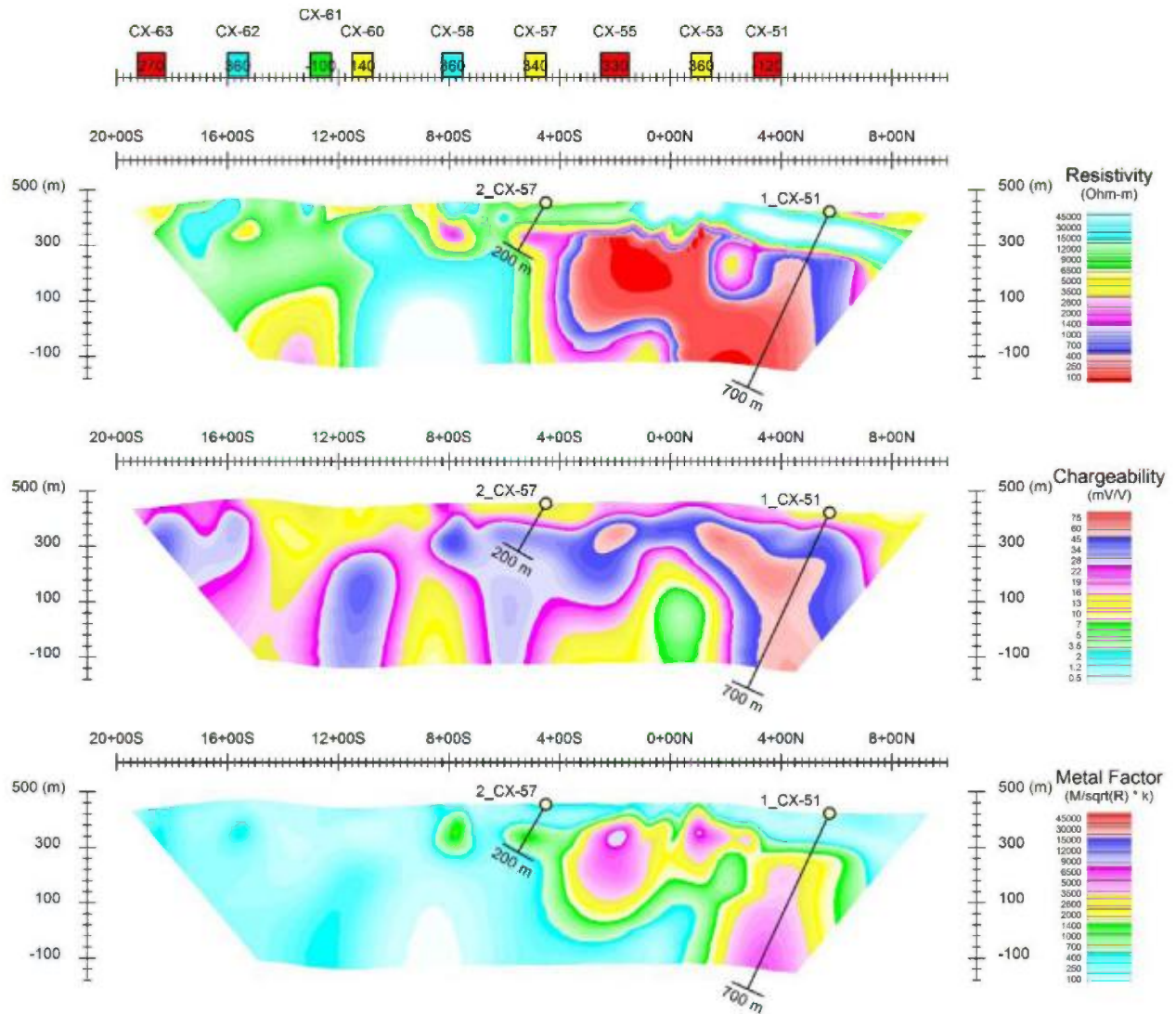


Figure 18. Sondage recommandé en première priorité de la source CX-51 sur la ligne 51+00E

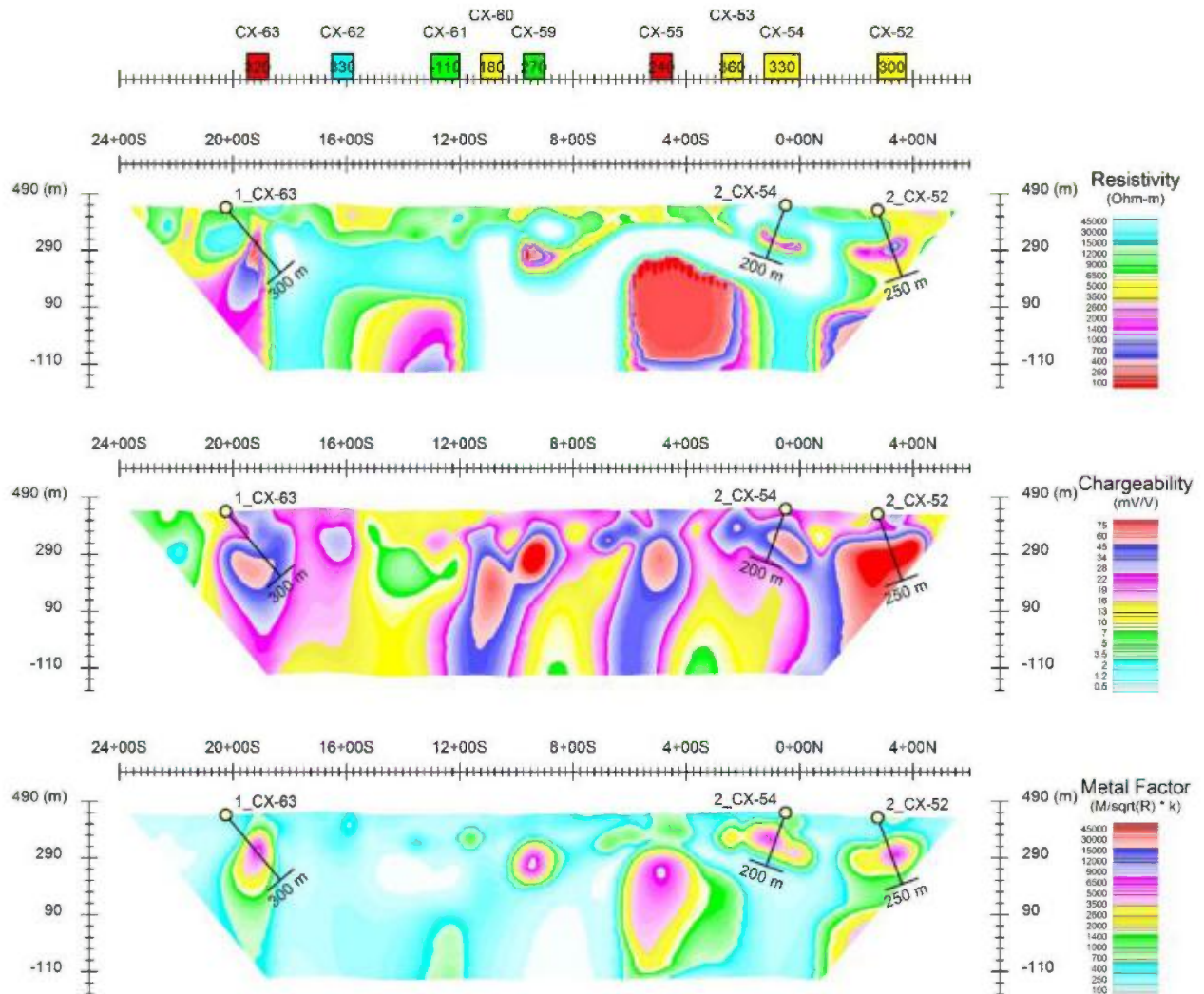


Figure 19. Sondage recommandé en deuxième priorité des sources CX-52 et CX-54 sur la ligne 60+00E

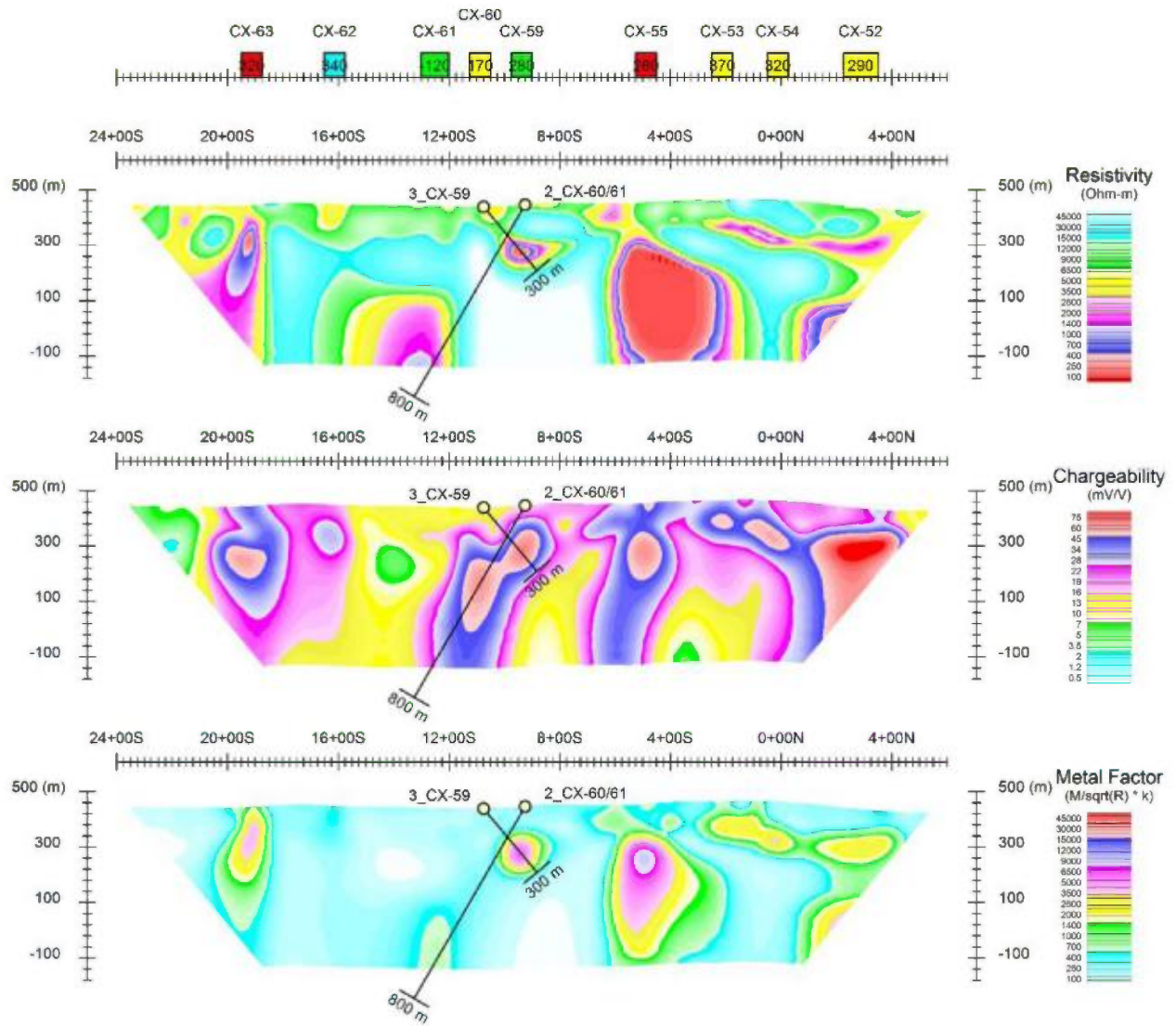


Figure 20. Sondages recommandés en deuxième priorité de la source CX-60 et en troisième priorité de la source CX-59 sur la ligne 58+50E. Le sondage 2_CX-60/61 pourrait être prolongé pour vérifier CX-61 en troisième priorité

□ *EXTENSION DU LEVÉ OREVISION®*

Plusieurs corps anomaux sont ouverts aux extrémités des grilles. Nous recommandons premièrement de compléter la couverture OreVision® entre les deux blocs levés afin de réaliser une inversion 3D globale de tout ce secteur. Deuxièmement, et selon les limites de la propriété Cadillac Extension, des lignes pourraient être allongées pour mieux définir certaines cibles mal définies mais jugées suffisamment intéressantes par les géologues de Ressources Cartier inc.

Le projet Cadillac Extension semble donc très prometteur quant à la possibilité de découvrir de nouveaux amas minéralisés. Notre connaissance de la géologie étant limitée, notre interprétation est principalement basée sur les observations géophysiques. Ainsi, Ressources Cartier inc. devra, à la lumière de la compilation des informations géo-scientifiques disponibles, d'évaluer et de redéfinir s'il y a lieu, la priorité accordée aux travaux de suivi proposés dans ce rapport.

Respectueusement déposé,
Abitibi Géophysique inc.



Pierre Bérubé, ing.

PB/jg

2. LE MANDAT

- | | | |
|--------------------------|---------------------------------|--|
| <input type="checkbox"/> | <i>IDENTIFICATION DU PROJET</i> | Propriété Cadillac Extension
(Notre référence : 15N047) |
| <input type="checkbox"/> | <i>LOCALISATION GÉNÉRALE</i> | Secteur de Senneterre,
Abitibi, Québec, Canada |
| <input type="checkbox"/> | <i>CLIENT</i> | Ressources Cartier inc.
1740, chemin Sullivan, suite 1000
Val-d'Or (Québec) J9P 7H1
Téléphone: (819) 874-1331 Télécopieur: (819) 874-3113

http://www.ressourcescartier.com |
| <input type="checkbox"/> | <i>REPRÉSENTANT</i> | M. Ronan Deroff, géo.
Géologue de projet

Ronan.Deroff@ressourcescartier.com |
| <input type="checkbox"/> | <i>TYPE DE LEVÉS</i> | <ul style="list-style-type: none"> • Levé de résistivité / polarisation OreVision® dans le domaine du temps. • Levé magnétométrique positionné par GPS. |
| <input type="checkbox"/> | <i>OBJECTIF DES TRAVAUX</i> | <i>Localiser des lentilles à sulfures massifs et disséminés (Zn, Cu, Au, Ag) analogues à celle du gîte Langlade.</i> |

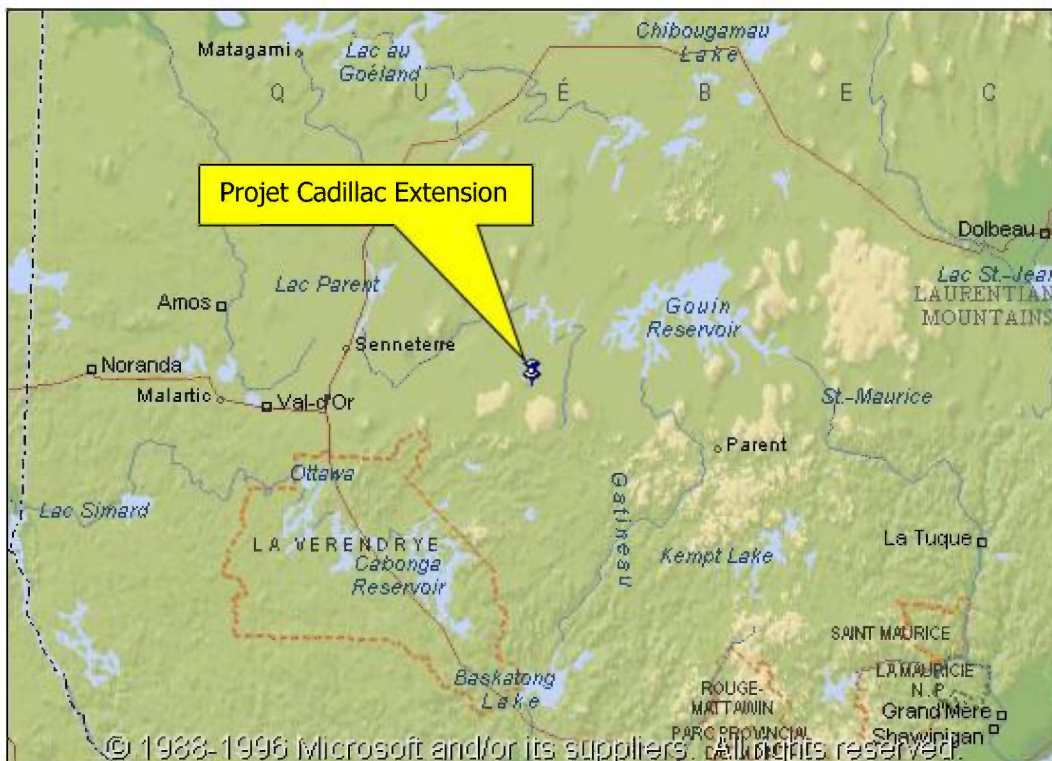


Figure 21. Localisation générale de la propriété Cadillac Extension

3. LA PROPRIÉTÉ CADILLAC EXTENSION

- LOCALISATION* **Canton de Baudin**, Abitibi, Québec, Canada
Latitude 48° 15' N, longitude 75° 57' W
UTM / NAD83 zone 18N : 429 500 mE 5 344 500 mN

Feuillets SNRC : **32B/04-05**
- VILLE LA PLUS PROCHE* **Senneterre** : 108 km à l'ouest
- ACCÈS* De Senneterre, prendre le chemin forestier N806 vers l'est sur une centaine de km jusqu'au camp Trevet (X = 429 035; Y = 5 349 528) opéré par la société Tembec, où s'est installée l'équipe de géophysique. La grille de levé est située à 30 minutes de route au sud du camp et est accessible par l'emprunt de chemins forestiers secondaires.
- GÉOMORPHOLOGIE* Au NW, les terrains sont situés sur le flanc d'une colline avec dénivelé de l'ordre de 150 m, sinon plutôt marécageux vers le SE. Le couvert végétal est relativement clairsemé et le drainage local s'effectue par de petits ruisseaux d'orientation générale NE/SW.
- STRUCTURE ARTIFICIELLE* La voie ferrée du Canadien National coupe le coin sud-ouest du Bloc Ouest et pourrait avoir contribué à rehausser l'amplitude de la source CX-18.
- TITRES MINIERS* La propriété est constituée de 464 claims miniers détenus à 100 % par Ressources Cartier inc. À la figure 22 les grilles de levé ont été superposés aux titres miniers détenus par Ressources Cartier inc. dans le secteur du gîte Langlade.
- SÉCURITÉ ET ENVIRONNEMENT* L'équipe a été dotée d'un téléphone satellite, ce qui permettait d'établir une communication en tout temps. Aucun incident n'a été signalé.
- GRILLE DE LEVÉ* Deux blocs de lignes ont été couverts :
 - Bloc Ouest : L 0+00E à L 24+00E (17 lignes)
 - Bloc Est : L 48+00E à L 60+00E (9 lignes)Les lignes de levé sont longues de 3.0 km, orientées N 332°, espacées aux 150 m et piquetées aux 25 m.
- SYSTÈME DE COORDONNÉES* Projection : Transverse universelle de Mercator (UTM) 18N
Référence datum : NAD83

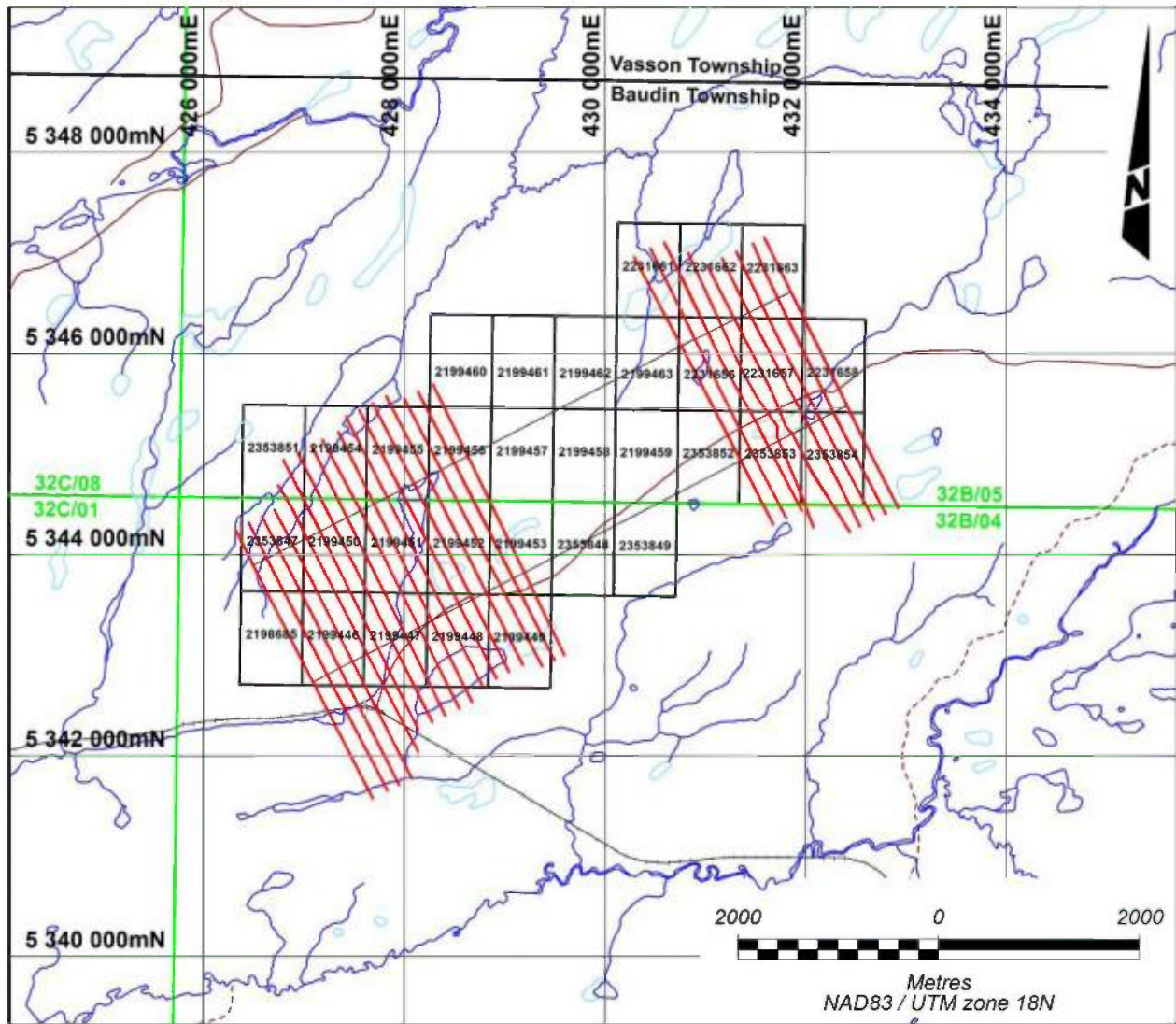


Figure 22. Localisation de la grille de levé et des titres miniers couverts

4. LEVÉ MAGNÉTOMÉTRIQUE AU SOL POSITIONNÉ PAR GPS

- TYPE DE LEVÉ** Mesure de l'intensité du champ magnétique total. Les valeurs du champ total mises en plan ont été corrigées pour les variations diurnes à l'aide des mesures prises toutes les 10 secondes par une station de base locale.
- PERSONNEL** Marcel Naud, Chef d'équipe
Jean-Michel Roch, Second opérateur
Carole Picard, tech., Mise en plan des données
Pierre Bérubé, ing., CQ, interprétation et rapport
Martin Dubois, géo., Contrôle final de la conformité du produit
- ACQUISITION** Du 1^{er} au 3 octobre 2015
- COUVERTURE** **44.8 km**
Les résultats recueillis lors du projet 12N015 ont été fusionnés aux présents.
- MAGNÉTOMÈTRES DE LIGNE** **GSM-19W** de GEM Systems, s/n 7052356 et 8102971
- Précession protonique à effet Overhauser
 - Résolution : 0.01 nT / 1 m
 - Précision absolue : 0.2 nT / 2-5 m
 - Tolérance aux gradients : >10 000 nT/m
 - Sondes magnétiques maintenues à 1,8 m
- MAGNÉTOMÈTRE DE BASE** **GSM-19** de GEM Systems, s/n 61519
- Précession protonique à effet Overhauser
 - Résolution : 0.01 nT
 - Précision absolue : 0.2 nT
 - Intervalle d'observation : 10 secondes
- CONTRÔLES DE QUALITÉ EFFECTUÉS**
(ENREGISTREMENTS DISPONIBLES SUR DEMANDE)
- Avant le levé :**
- ✓ Le bon fonctionnement des magnétomètres a été vérifié sur notre ligne témoin.
 - ✓ L'opérateur a pris connaissance des prévisions géomagnétiques de la CGC pour la période du levé qui fut effectué durant les périodes les plus calmes.
- Chaque jour durant la période d'acquisition :**
- ✓ Le matin, l'opérateur a effectué avec succès un test visant à détecter toute contamination magnétique.
 - ✓ Le soir, l'opérateur a contrôlé la qualité de l'enregistrement de la station de base et des répétitions à l'aide du logiciel MAGnéto®. Aucune tempête magnétique n'a été observée.
- Au bureau chef :**
- ✓ Les contrôles effectués sur le terrain ont été inspectés et validés.
 - ✓ Tous les profils ont été inspectés. Aucune lecture erratique n'a été remarquée.

5. LEVÉ OREVISION®

- TYPE DE LEVÉ* Résistivité/polarisation provoquée dans le domaine du temps

- CONFIGURATION* **OreVision®** a = 50 m / n = 1 à 30

- PERSONNEL*

Étienne Larose,	Chef d'équipe
Mathieu Campeau,	Second opérateur
Brian Willard,	Assistant
Pierre-Luc Darveau,	Assistant
Marc Auclair,	Assistant
Olivier Hanigan,	Assistant
Carole Picard, tech.,	Mise en plan des données
Pierre Bérubé, ing.,	CQ, interprétation et rapport
Martin Dubois, géo.,	Logistique, contrôle final de la conformité du produit

- COUVERTURE* **78.0 km**

- ACQUISITION* Du 17 août au 24 septembre 2015 et du 13 au 23 octobre 2015

- ÉMETTEUR*

Tipix d'IRIS Instruments, # de série 006
 Génératrice : Honda 2000 KVA
 Sortie maximale : 1.8 kW ou **15 A** ou 1800 V
 Électrodes : acier inoxydable
 Résolution : 1 mA sur le courant affiché
 Signal transmis : onde carrée bipolaire, cycle effectif de 50%
 Durée des pulsations : 1 seconde

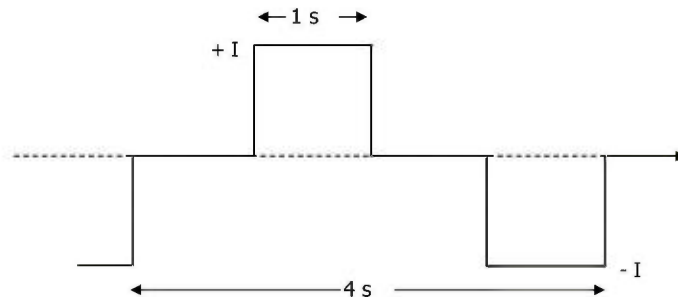


Figure 23. Signal transmis aux bornes de C1-C2

❑ RÉCEPTEURS

Elrec-PRO d'IRIS, # de série 184, 215 et 368 (10 canaux)

SwitchPRO 48 d'IRIS, # de série 46

SwitchPRO 240 d'IRIS, # de série 65, 71 et 72

Électrodes : acier inoxydable

Mesure du voltage primaire V_P :

- Impédance d'entrée : 100 MΩ
- Résolution : 1 μV
- Précision typique : **0,2%**

Mesure de la chargeabilité apparente M_A :

- Résolution : 0,01 mV/V
- Précision typique : **0,4%**
- Échantillonnage linéaire, 20 fenêtres (M_1 à M_{20}).
- Toutes les fenêtres sont automatiquement normalisées en fonction du taux de décroissance du voltage transitoire dû à un effet de polarisation d'électrode pure afin de contrôler la qualité lors de l'acquisition.

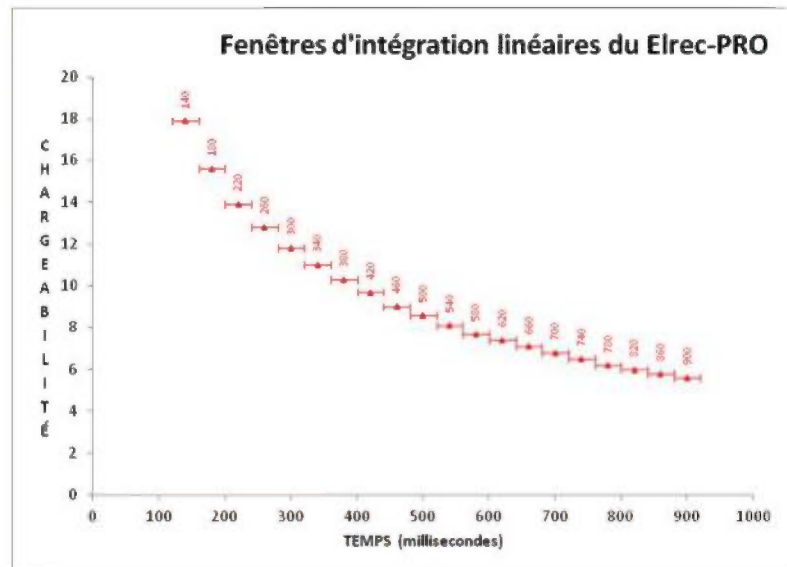


Figure 24. Fenêtres d'intégration linéaires du Elrec-Pro (pulse 1 s)

❑ CALCUL DE LA RÉSISTIVITÉ APPARENTE

$$\rho_a = 2\pi \cdot \frac{V_p}{I} \cdot \frac{1}{\left(\frac{1}{C_1 P_1} - \frac{1}{C_2 P_1}\right) - \left(\frac{1}{C_1 P_2} - \frac{1}{C_2 P_2}\right)}, \quad \boxed{}$$

Erreur cumulative: **5% max**, surtout reliée à l'écart variable entre les électrodes.

☐ **CONTRÔLES DE QUALITÉ EFFECTUÉS**
(ENREGISTREMENTS DISPONIBLES SUR DEMANDE)

Avant le levé :

- ✓ Le fonctionnement optimal de l'émetteur et de la génératrice a été vérifié à l'aide de charges étalons.
- ✓ Le récepteur a été vérifié à l'aide du simulateur calibré SIMP^{MD} d'Abitibi Géophysique inc. (V_p et M).

Durant l'acquisition des données :

- ✓ L'isolation des câbles reliés au récepteur et à l'émetteur a été vérifiée chaque matin.
- ✓ Le logiciel VDGG a permis au chef d'équipe de générer les séquences d'acquisition de lectures chargées dans le récepteur afin de contrôler le SwitchPro. Cette procédure évite toute erreur possible de câblage ou de numérotation de station.
- ✓ Un nombre constant et suffisant de cycles par mesure a été cumulé (8 cycles).

Au bureau chef :

- ✓ Les contrôles effectués sur le terrain ont été inspectés et validés.
- ✓ Pour assurer un contrôle de la qualité objectif, consistant et efficace, Abitibi Géophysique a développé ProSysControlTM. Ce GX Geosoft permet de ne conserver que les lectures fiables après analyse de tous les paramètres de mesure dont la résistance de contact, l'amplitude du signal primaire V_p , la déviation standard et surtout la forme précise de la courbe de décharge PP.

☐ **STATISTIQUES QUALITÉ**

Levé OreVision [®] - Projet Cadillac Extension	
Résistance de contact moyenne au R_x	5.6 k Ω
Intensité moyenne du courant au T_x	835 mA
Voltage V_p moyen mesuré au R_x	668 mV
Déviatiion standard sur la chargeabilité M mesurée au R_x	3.6 mV/V

☐ **INVERSION RES3DINV**

Les données validées de résistivité et de chargeabilité apparente ont été inversées avec le logiciel Res3Dinv x 64 version 64 4.02.10 de GEOTOMO (www.geoelectrical.com). Ce logiciel détermine les modèles de résistivité et de chargeabilité du sous-sol qui expliquent le mieux les données observées en surface lors du levé. Les modèles en question sont constitués de prismes rectangulaires. Une routine calcule l'effet du modèle et un algorithme non linéaire optimise les changements à apporter aux blocs du modèle de façon à minimiser l'écart entre le modèle calculé et les mesures de terrain.

❑ *LIMITATION DE
L'INVERSION 3D*

L'algorithme d'inversion ne créera pas d'information ne se trouvant pas dans les données brutes (pseudo-sections), c'est-à-dire que le logiciel est limité par la technique et la configuration utilisées. Avec le dipôle-dipôle, par exemple, la résolution en profondeur est limitée et les structures subhorizontales sont difficilement résolues quant à leur extension en profondeur. Par contre, le bruit est filtré, les effets d'affleurement sont très bien identifiés et la résolution de réponses complexes comme deux sources voisines, un corps large ou encore des contacts géologiques verticaux ou inclinés est excellente.

L'inversion va fournir une appréciation des pendages des sources anormales sous certaines conditions, dont l'isolement de l'anomalie. Ainsi, s'il y a une seconde source anormale proximale au sud, les deux images vont se fondre en profondeur, donnant une illusion de pendage vers le sud pour l'anomalie au nord et vice-versa. D'autre part, si la source est très conductrice et peu profonde, il peut y avoir une asymétrie due à la position des électrodes par rapport à la source, qui n'est probablement pas centrée sur un dipôle.

❑ *SOURCES RÉSISTIVES*

Pour les sources polarisables et résistives, l'extension en profondeur peut paraître limitée (l'inversion semble se fermer en profondeur). C'est une limitation de la méthode électrique et non de l'inversion. Au-dessus d'un corps résistif, les lignes de courant se détournent pour aller vers des chemins plus faciles (plus conducteurs). L'investigation en profondeur est donc déficiente et il y a déficience de contribution de la partie profonde du corps polarisable. Dans les faits, on peut présumer que ces corps s'étendent en profondeur.

❑ *FACTEUR MÉTAL*

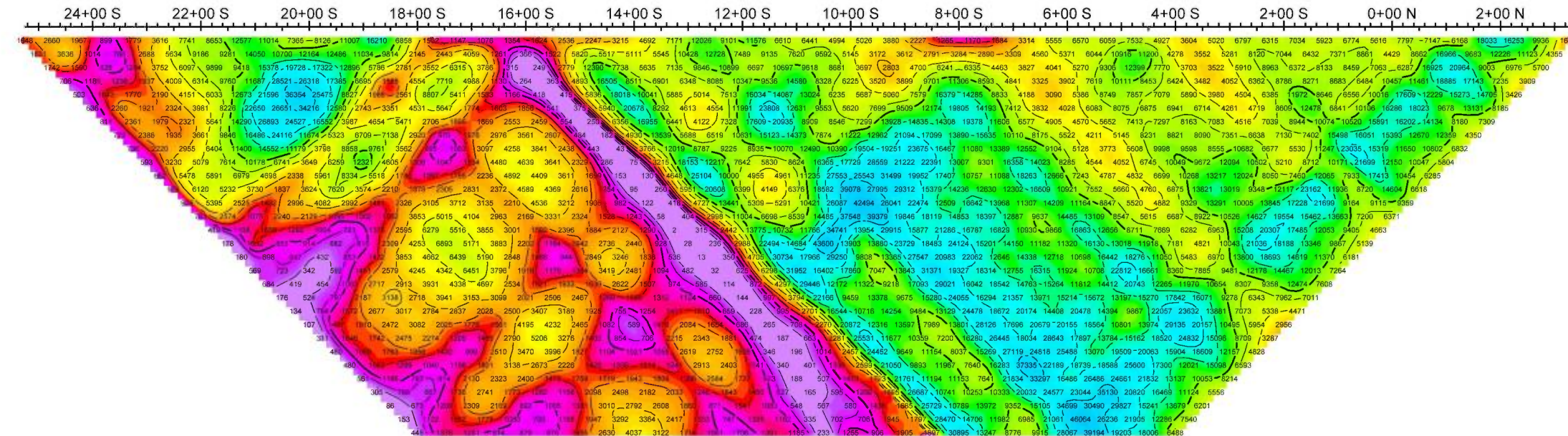
Ce paramètre a été obtenu à partir de la chargeabilité (M) et de la résistivité (R) inversée.

$$FM = 1000 * M / \sqrt{R}$$

Le facteur métal permet de mettre en évidence les zones chargeables ET conductrices.

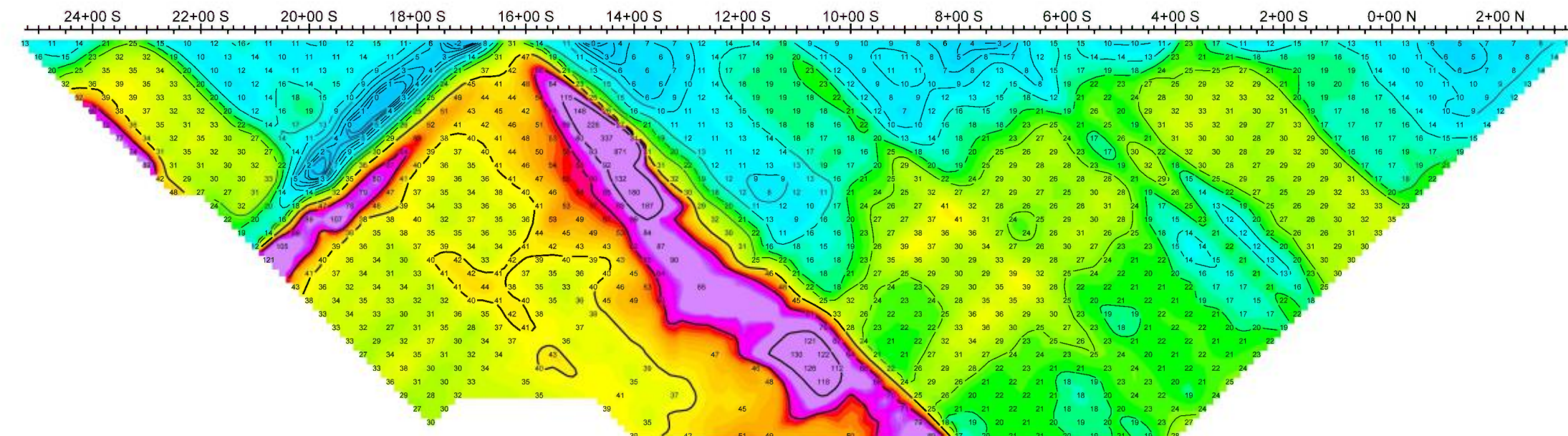
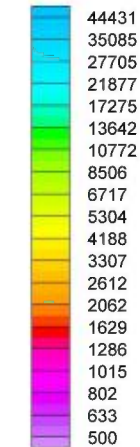


OreVision® Survey
(Dipole-dipole, a = 50 m / n = 1 to 30)



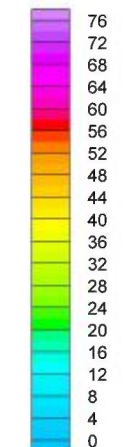
Resistivity
(Ohm-m)

- n=1
- n=2
- n=3
- n=4
- n=5
- n=6
- n=7
- n=8
- n=9
- n=10
- n=11
- n=12
- n=13
- n=14
- n=15
- n=16
- n=17
- n=18
- n=19
- n=20
- n=21
- n=22
- n=23
- n=24
- n=25
- n=26
- n=27
- n=28
- n=29
- n=30

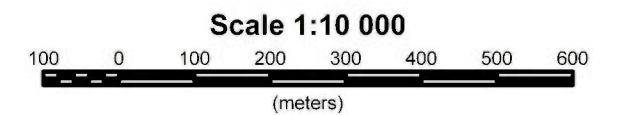


Chargeability
(mV/V)

- n=1
- n=2
- n=3
- n=4
- n=5
- n=6
- n=7
- n=8
- n=9
- n=10
- n=11
- n=12
- n=13
- n=14
- n=15
- n=16
- n=17
- n=18
- n=19
- n=20
- n=21
- n=22
- n=23
- n=24
- n=25
- n=26
- n=27
- n=28
- n=29
- n=30



Line 0+00E



Cartier Resources Inc.
Cadillac Extension Project
Baudin Township
Québec, Canada

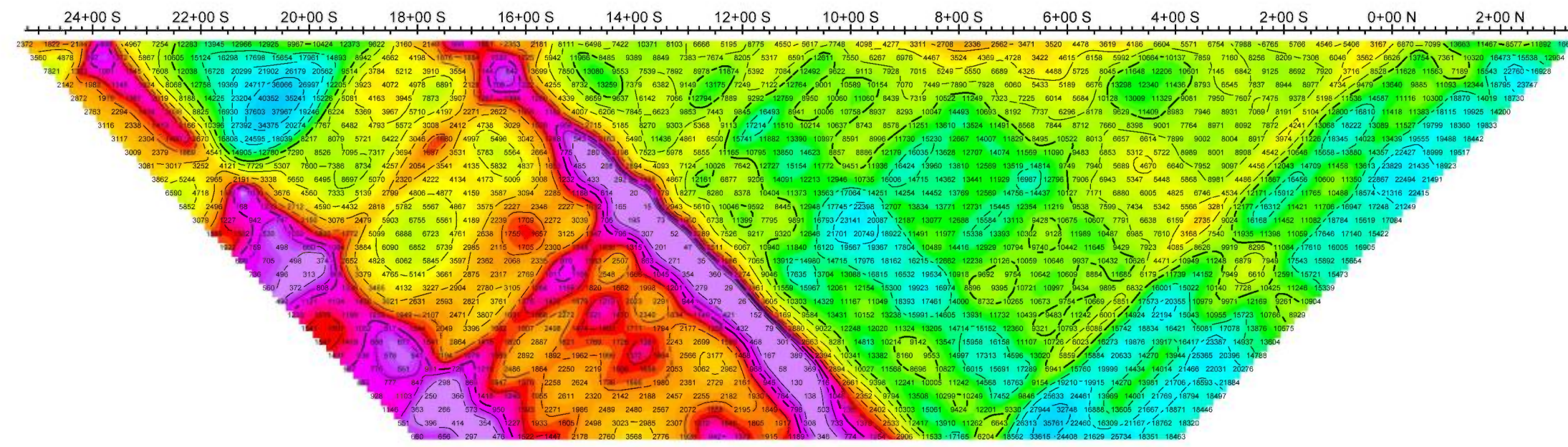
Project no: 15N047

Line 0+00E

Abitibi Geophysics Inc.

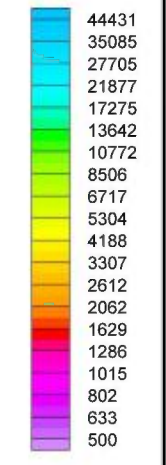


OreVision® Survey (Dipole-dipole, a = 50 m / n = 1 to 30)

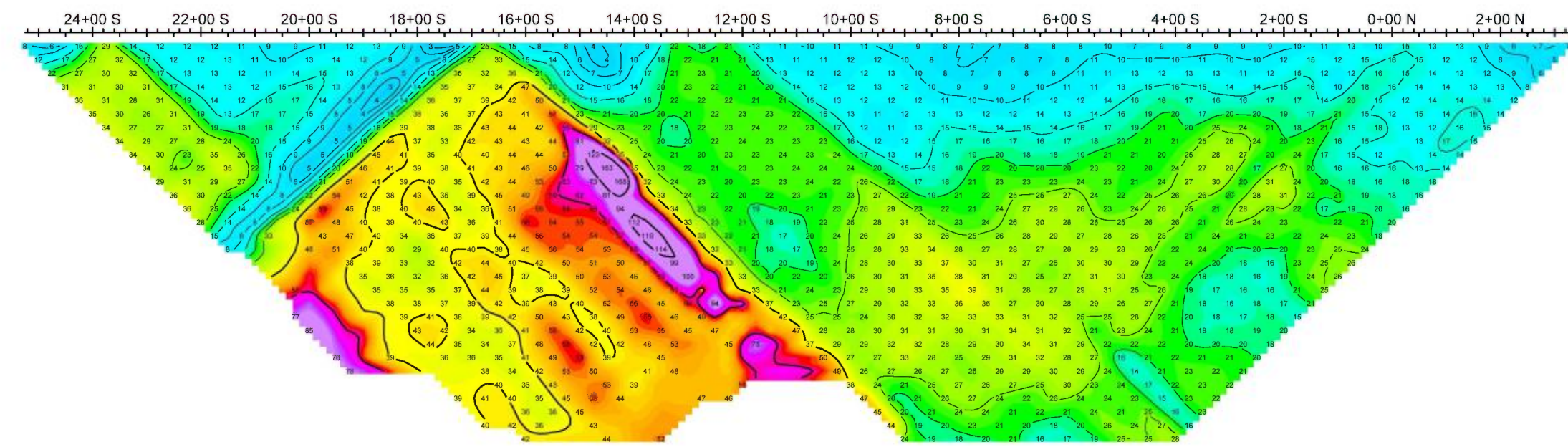


Resistivity
(Ohm-m)

- n=1
- n=2
- n=3
- n=4
- n=5
- n=6
- n=7
- n=8
- n=9
- n=10
- n=11
- n=12
- n=13
- n=14
- n=15
- n=16
- n=17
- n=18
- n=19
- n=20
- n=21
- n=22
- n=23
- n=24
- n=25
- n=26
- n=27
- n=28
- n=29
- n=30

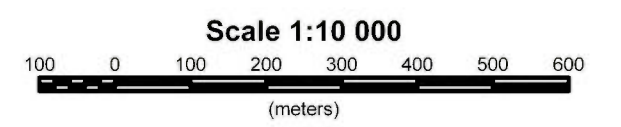
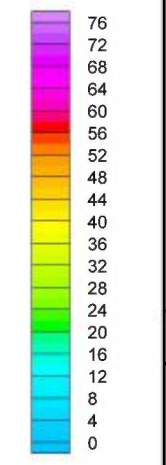


Line 1+50E



Chargeability
(mV/V)

- n=1
- n=2
- n=3
- n=4
- n=5
- n=6
- n=7
- n=8
- n=9
- n=10
- n=11
- n=12
- n=13
- n=14
- n=15
- n=16
- n=17
- n=18
- n=19
- n=20
- n=21
- n=22
- n=23
- n=24
- n=25
- n=26
- n=27
- n=28
- n=29
- n=30



Cartier Resources Inc.
Cadillac Extension Project
Baudin Township
Québec, Canada

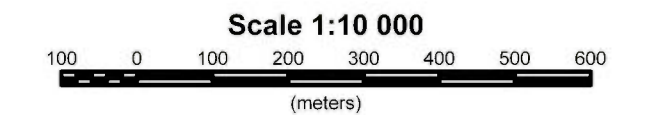
Project no: 15N047 Line 1+50E

Abitibi Geophysics Inc.



OreVision® Survey
(Dipole-dipole, a = 50 m / n = 1 to 30)

Line 3+00E

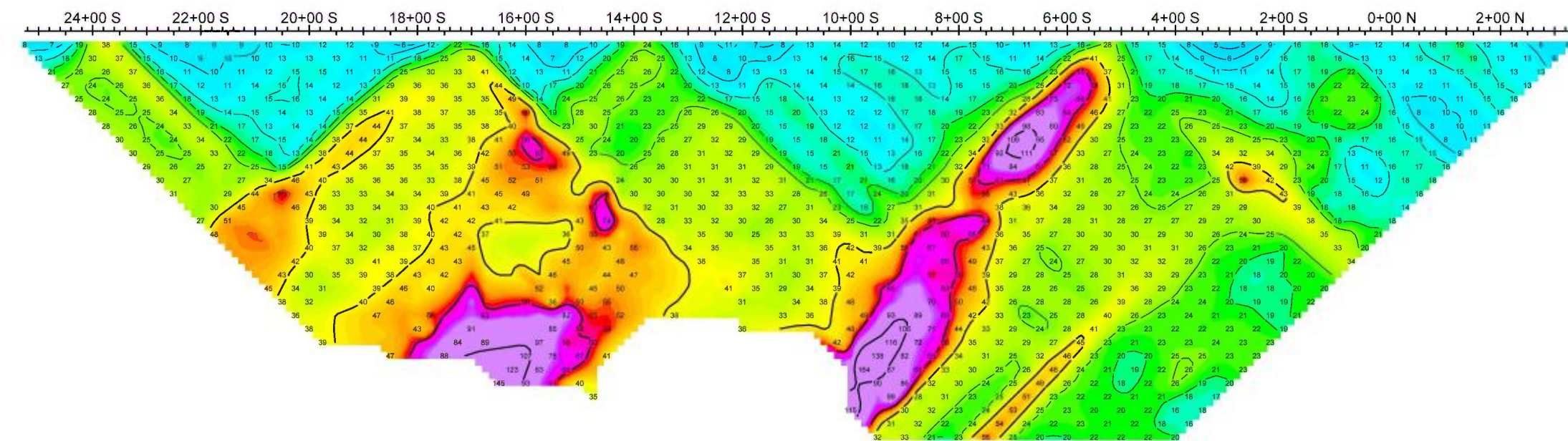
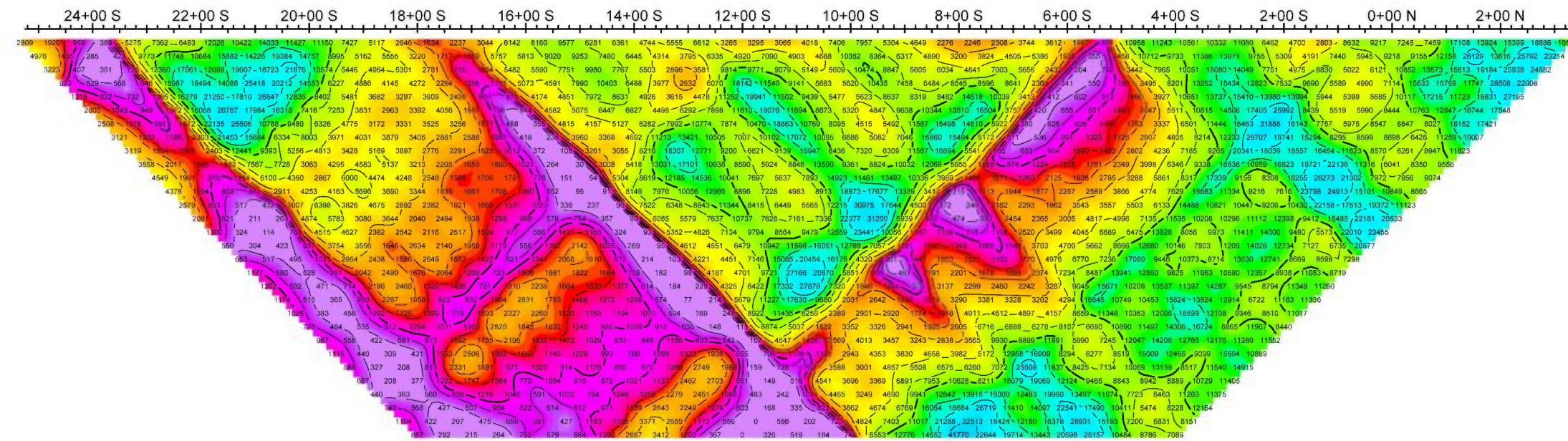


Cartier Resources Inc.
Cadillac Extension Project
Baudin Township
Québec, Canada

Project no: 15N047

Line 3+00E

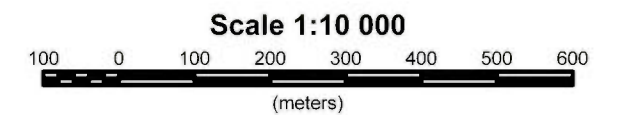
Abitibi Geophysics Inc.





OreVision® Survey
(Dipole-dipole, a = 50 m / n = 1 to 30)

Line 4+50E

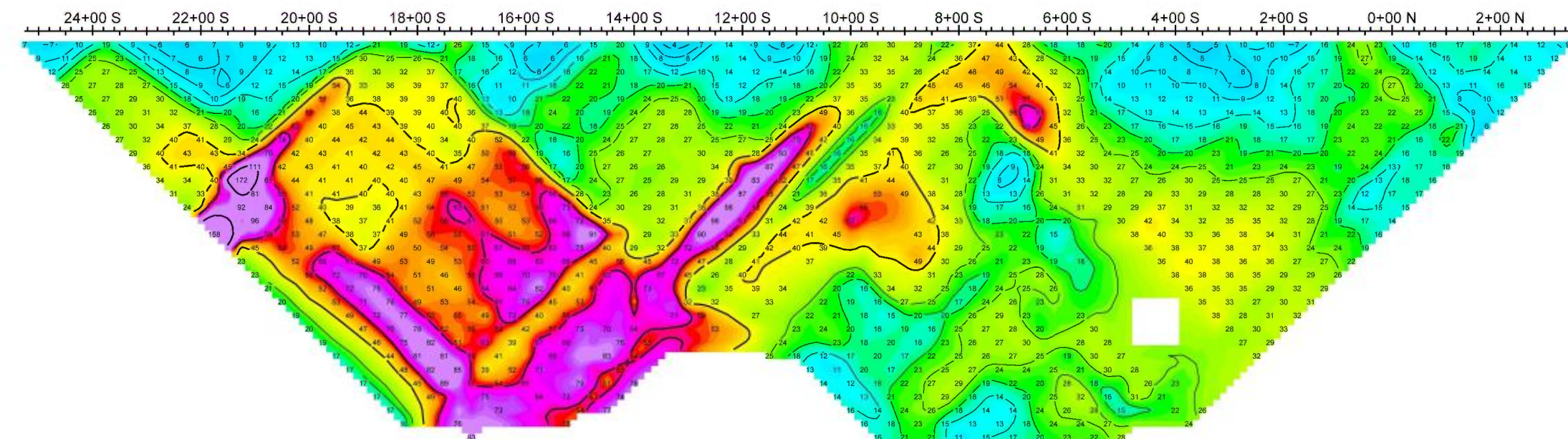
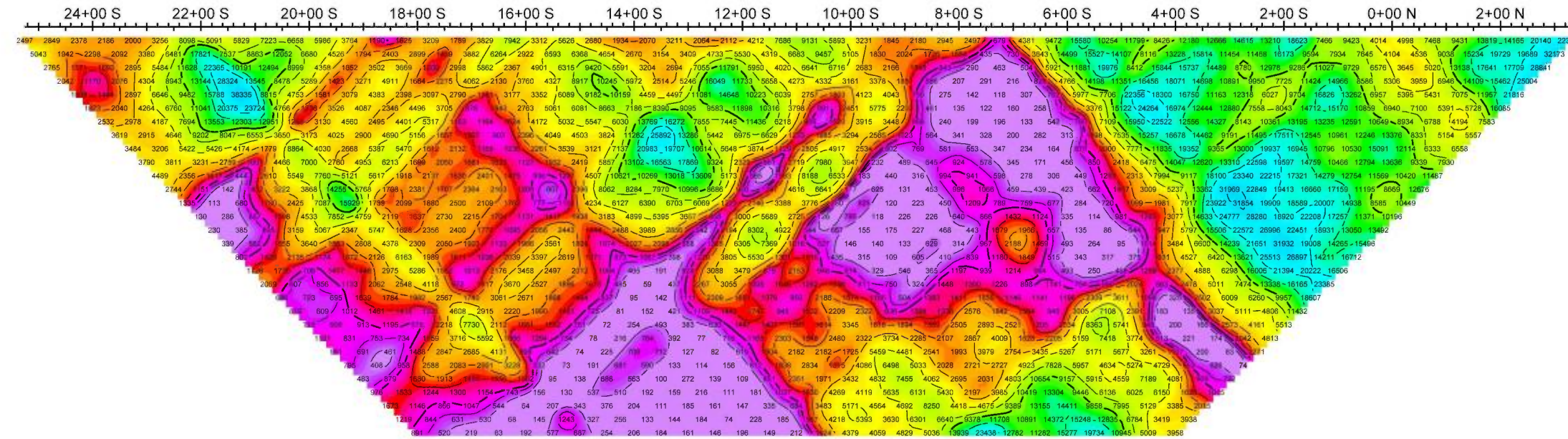


Cartier Resources Inc.
Cadillac Extension Project
Baudin Township
Québec, Canada

Project no: 15N047

Line 4+50E

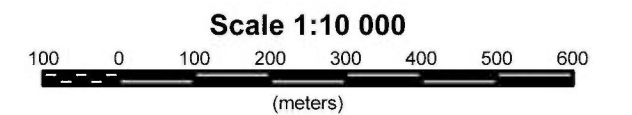
Abitibi Geophysics Inc.





OreVision® Survey
(Dipole-dipole, a = 50 m / n = 1 to 30)

Line 6+00E

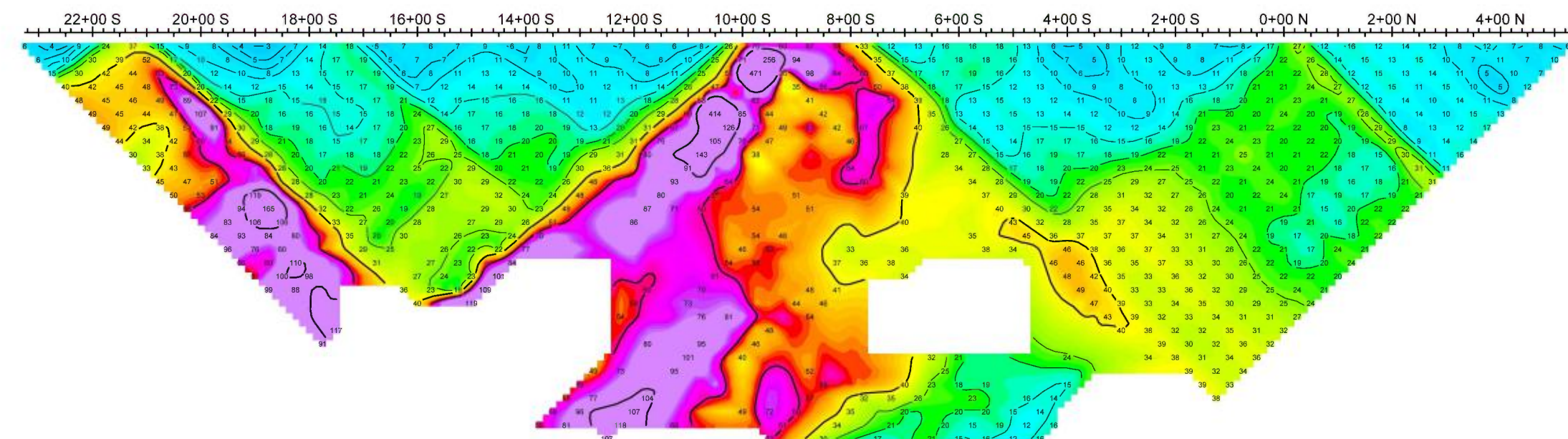
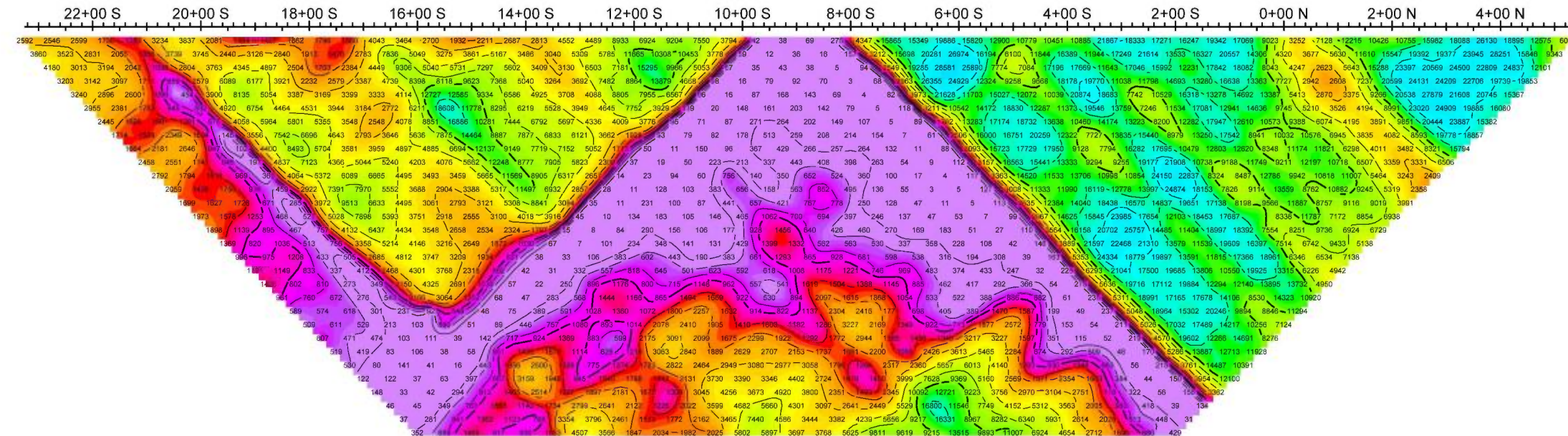


Cartier Resources Inc.
Cadillac Extension Project
Baudin Township
Québec, Canada

Project no: 15N047

Line 6+00E

Abitibi Geophysics Inc.



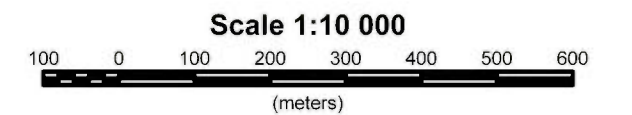
n=1
n=2
n=3
n=4
n=5
n=6
n=7
n=8
n=9
n=10
n=11
n=12
n=13
n=14
n=15
n=16
n=17
n=18
n=19
n=20
n=21
n=22
n=23
n=24
n=25
n=26
n=27
n=28
n=29
n=30

n=1
n=2
n=3
n=4
n=5
n=6
n=7
n=8
n=9
n=10
n=11
n=12
n=13
n=14
n=15
n=16
n=17
n=18
n=19
n=20
n=21
n=22
n=23
n=24
n=25
n=26
n=27
n=28
n=29
n=30



OreVision® Survey
(Dipole-dipole, a = 50 m / n = 1 to 30)

Line 7+50E

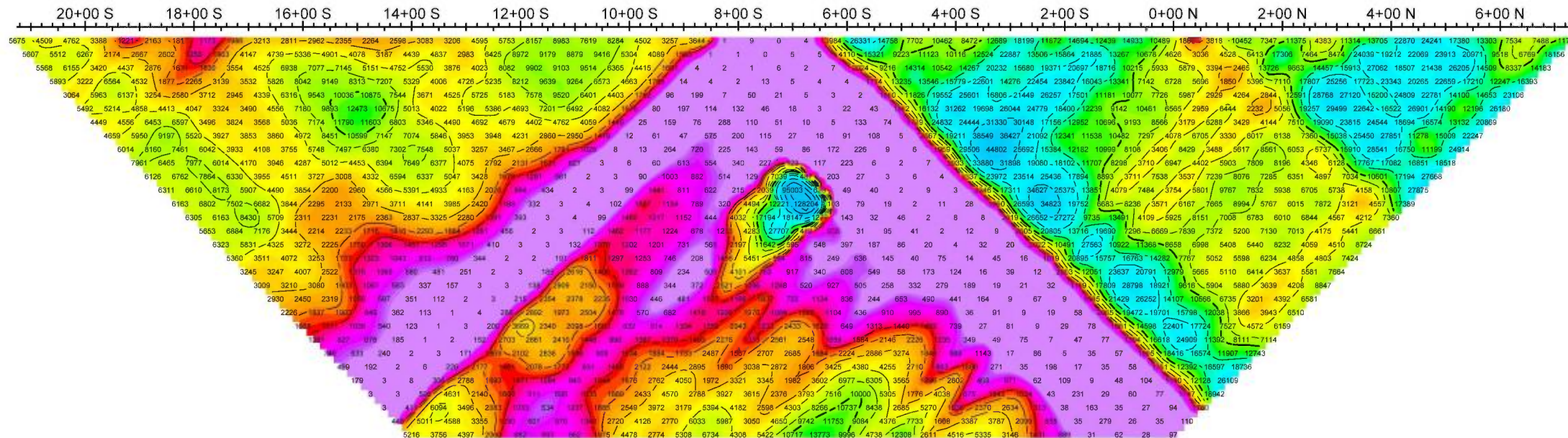


Cartier Resources Inc.
Cadillac Extension Project
Baudin Township
Québec, Canada

Project no: 15N047

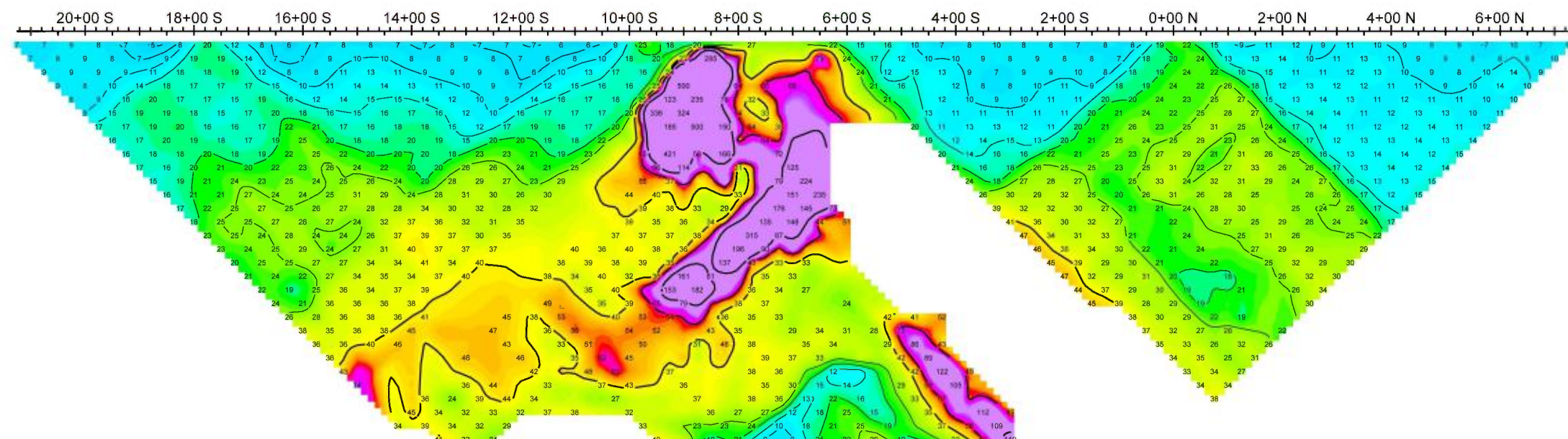
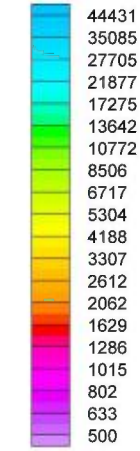
Line 7+50E

Abitibi Geophysics Inc.



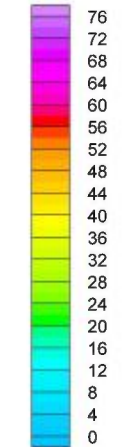
Resistivity
(Ohm-m)

- n=1
- n=2
- n=3
- n=4
- n=5
- n=6
- n=7
- n=8
- n=9
- n=10
- n=11
- n=12
- n=13
- n=14
- n=15
- n=16
- n=17
- n=18
- n=19
- n=20
- n=21
- n=22
- n=23
- n=24
- n=25
- n=26
- n=27
- n=28
- n=29
- n=30



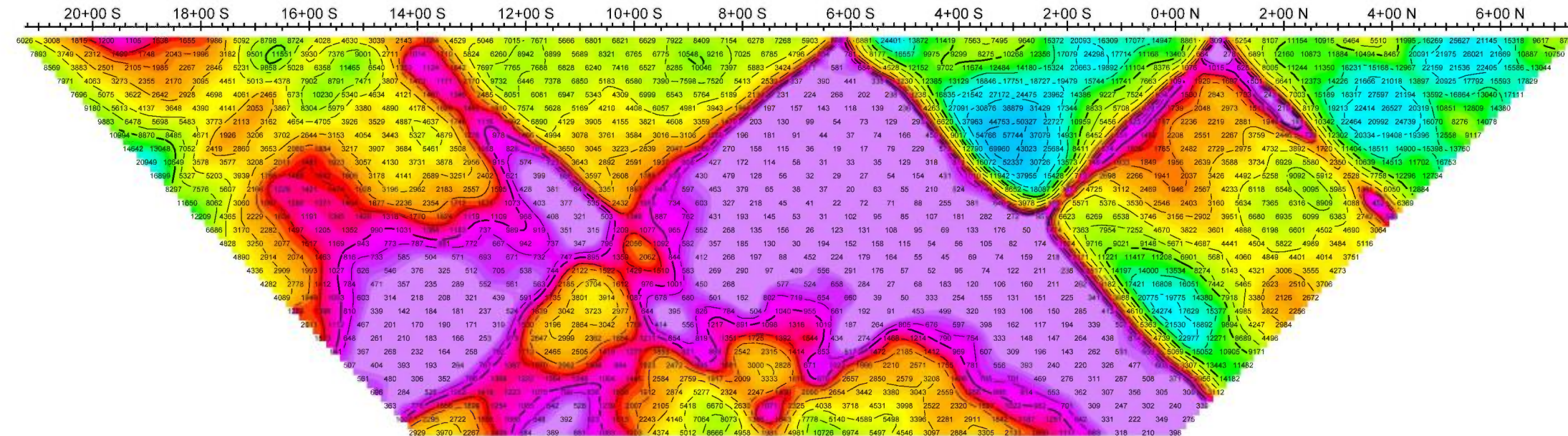
Chargeability
(mV/V)

- n=1
- n=2
- n=3
- n=4
- n=5
- n=6
- n=7
- n=8
- n=9
- n=10
- n=11
- n=12
- n=13
- n=14
- n=15
- n=16
- n=17
- n=18
- n=19
- n=20
- n=21
- n=22
- n=23
- n=24
- n=25
- n=26
- n=27
- n=28
- n=29
- n=30



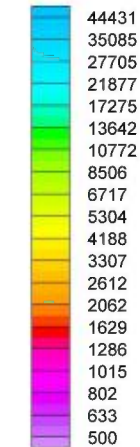


OreVision® Survey
(Dipole-dipole, a = 50 m / n = 1 to 30)

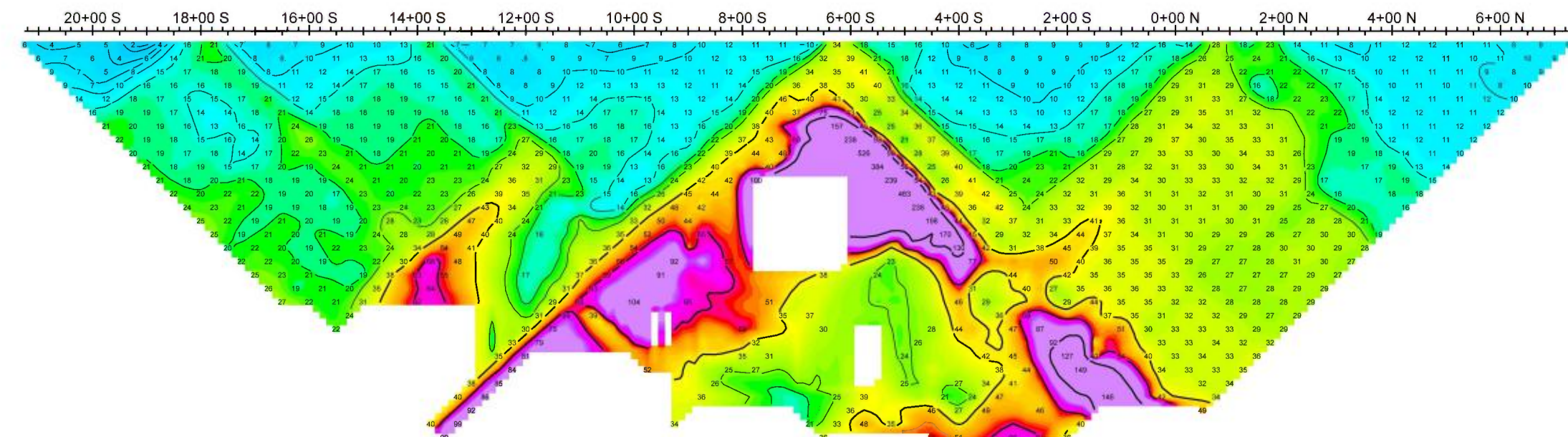


Resistivity
(Ohm-m)

- n=1
- n=2
- n=3
- n=4
- n=5
- n=6
- n=7
- n=8
- n=9
- n=10
- n=11
- n=12
- n=13
- n=14
- n=15
- n=16
- n=17
- n=18
- n=19
- n=20
- n=21
- n=22
- n=23
- n=24
- n=25
- n=26
- n=27
- n=28
- n=29
- n=30

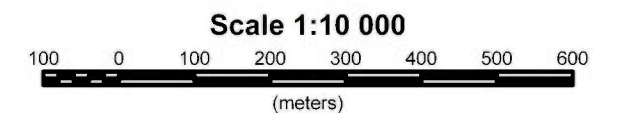
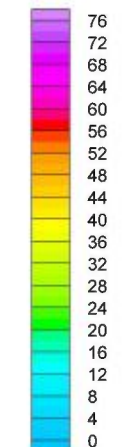


Line 9+00E



Chargeability
(mV/V)

- n=1
- n=2
- n=3
- n=4
- n=5
- n=6
- n=7
- n=8
- n=9
- n=10
- n=11
- n=12
- n=13
- n=14
- n=15
- n=16
- n=17
- n=18
- n=19
- n=20
- n=21
- n=22
- n=23
- n=24
- n=25
- n=26
- n=27
- n=28
- n=29
- n=30



Cartier Resources Inc.
Cadillac Extension Project
Baudin Township
Québec, Canada

Project no: 15N047

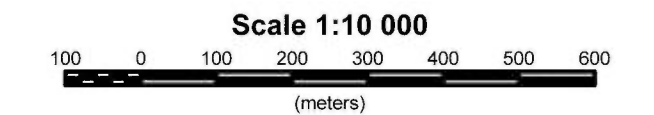
Line 9+00E

Abitibi Geophysics Inc.



OreVision® Survey
(Dipole-dipole, a = 50 m / n = 1 to 30)

Line 10+50E

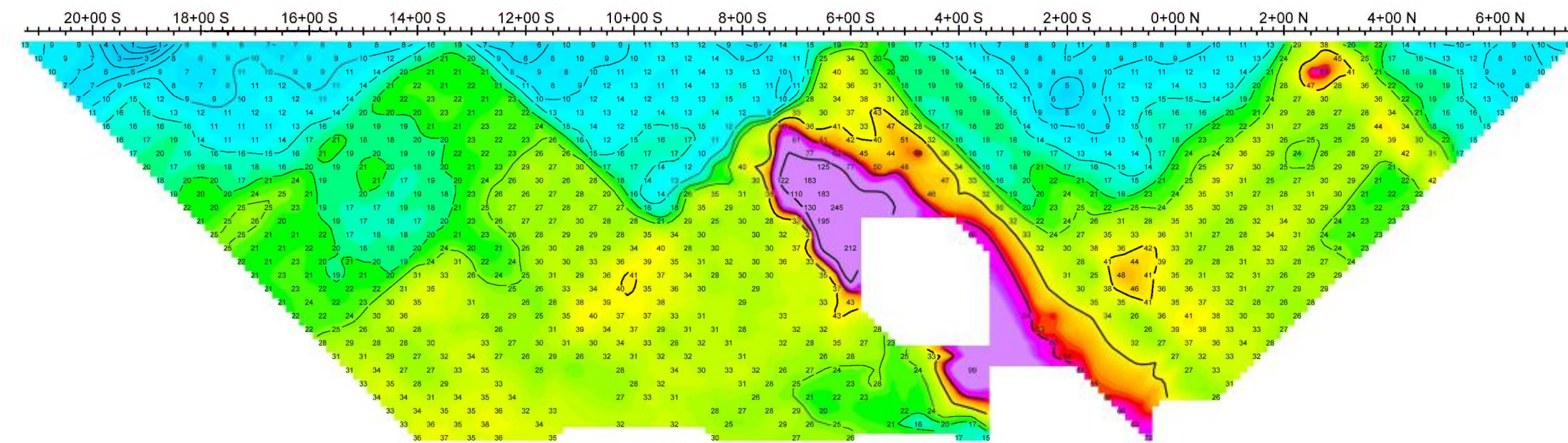
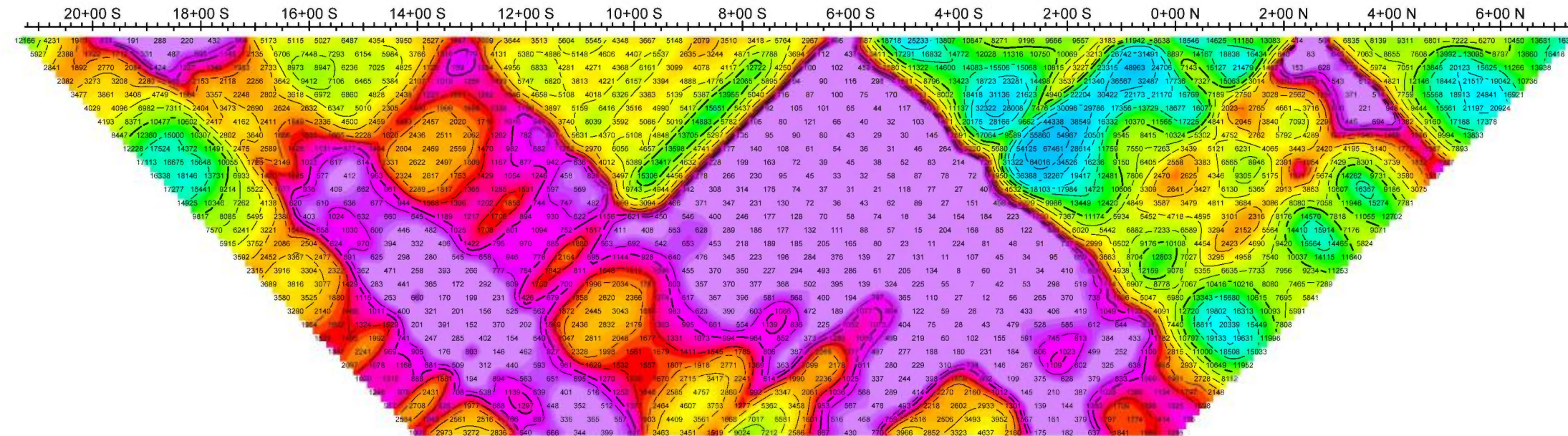


Cartier Resources Inc.
Cadillac Extension Project
Baudin Township
Québec, Canada

Project no: 15N047

Line 10+50E

Abitibi Geophysics Inc.



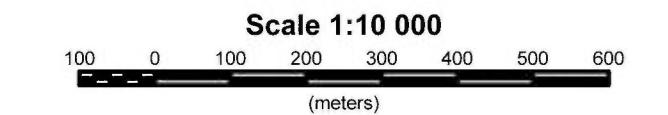
n=1
n=2
n=3
n=4
n=5
n=6
n=7
n=8
n=9
n=10
n=11
n=12
n=13
n=14
n=15
n=16
n=17
n=18
n=19
n=20
n=21
n=22
n=23
n=24
n=25
n=26
n=27
n=28
n=29
n=30

n=1
n=2
n=3
n=4
n=5
n=6
n=7
n=8
n=9
n=10
n=11
n=12
n=13
n=14
n=15
n=16
n=17
n=18
n=19
n=20
n=21
n=22
n=23
n=24
n=25
n=26
n=27
n=28
n=29
n=30



OreVision® Survey
(Dipole-dipole, a = 50 m / n = 1 to 30)

Line 12+00E

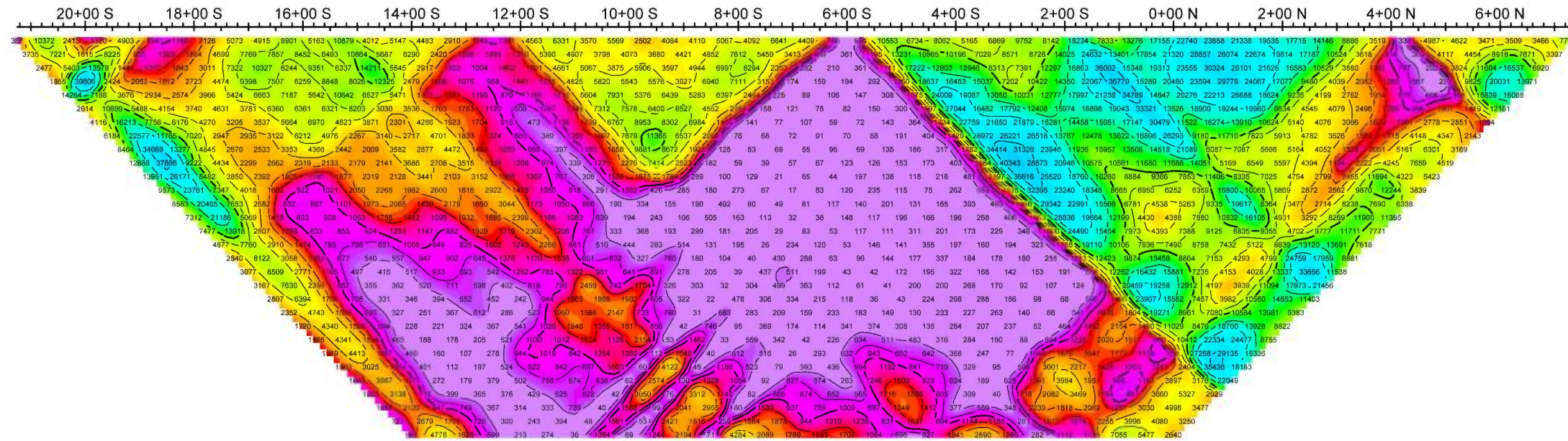


Cartier Resources Inc.
Cadillac Extension Project
Baudin Township
Québec, Canada

Project no: 15N047

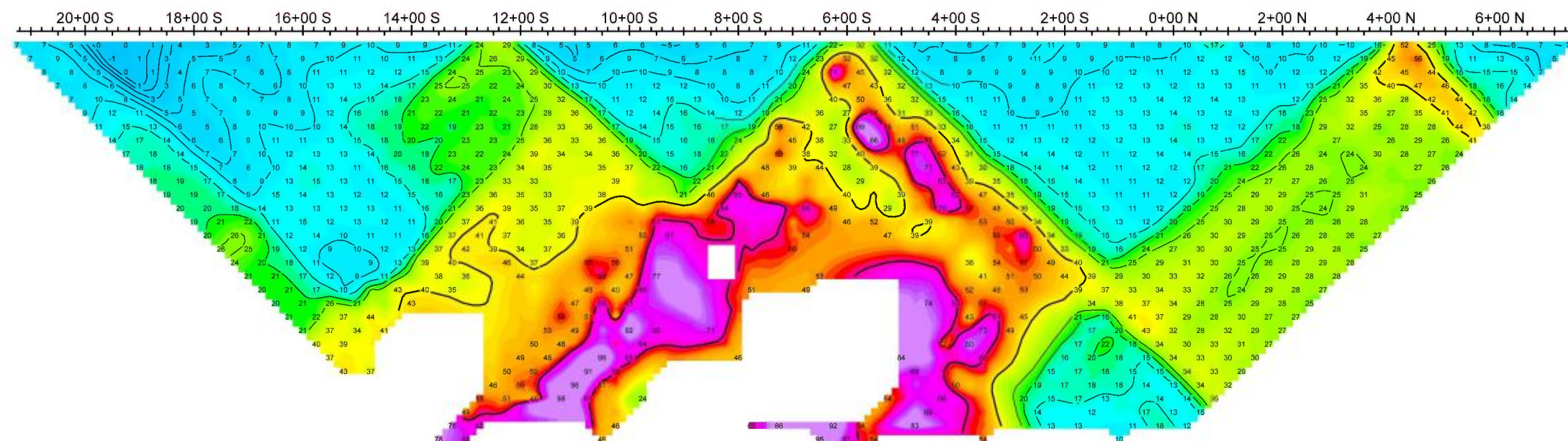
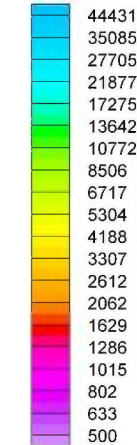
Line 12+00E

Abitibi Geophysics Inc.



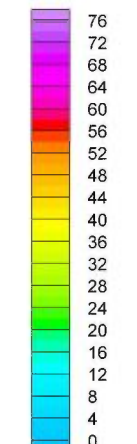
Resistivity
(Ohm-m)

- n=1
- n=2
- n=3
- n=4
- n=5
- n=6
- n=7
- n=8
- n=9
- n=10
- n=11
- n=12
- n=13
- n=14
- n=15
- n=16
- n=17
- n=18
- n=19
- n=20
- n=21
- n=22
- n=23
- n=24
- n=25
- n=26
- n=27
- n=28
- n=29
- n=30



Chargeability
(mV/V)

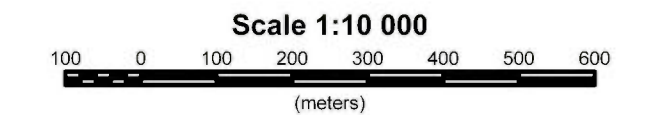
- n=1
- n=2
- n=3
- n=4
- n=5
- n=6
- n=7
- n=8
- n=9
- n=10
- n=11
- n=12
- n=13
- n=14
- n=15
- n=16
- n=17
- n=18
- n=19
- n=20
- n=21
- n=22
- n=23
- n=24
- n=25
- n=26
- n=27
- n=28
- n=29
- n=30





OreVision® Survey
(Dipole-dipole, a = 50 m / n = 1 to 30)

Line 13+50E

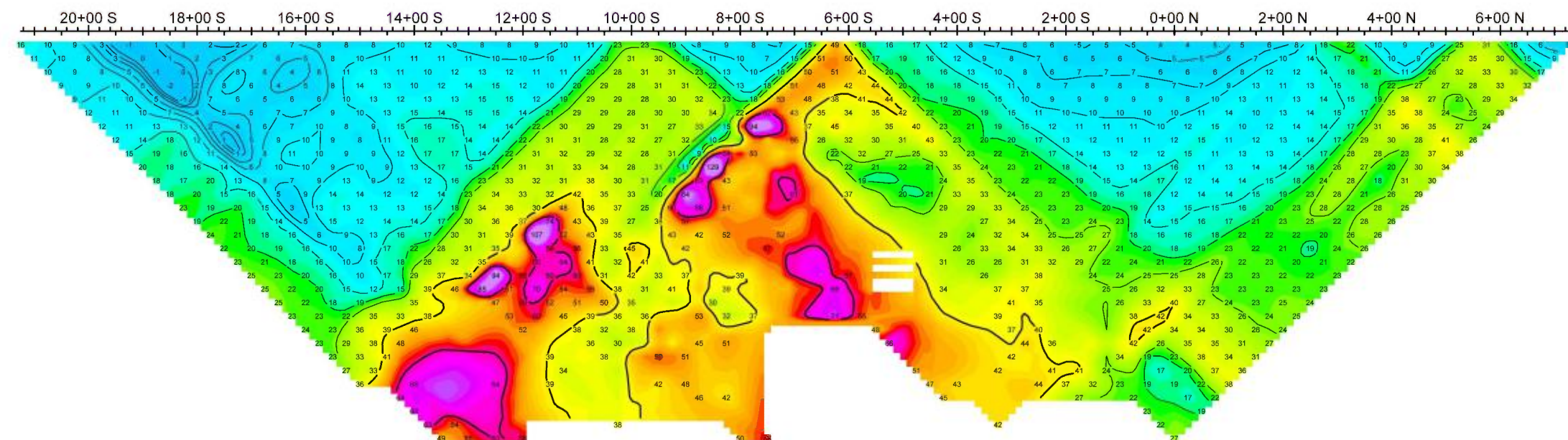
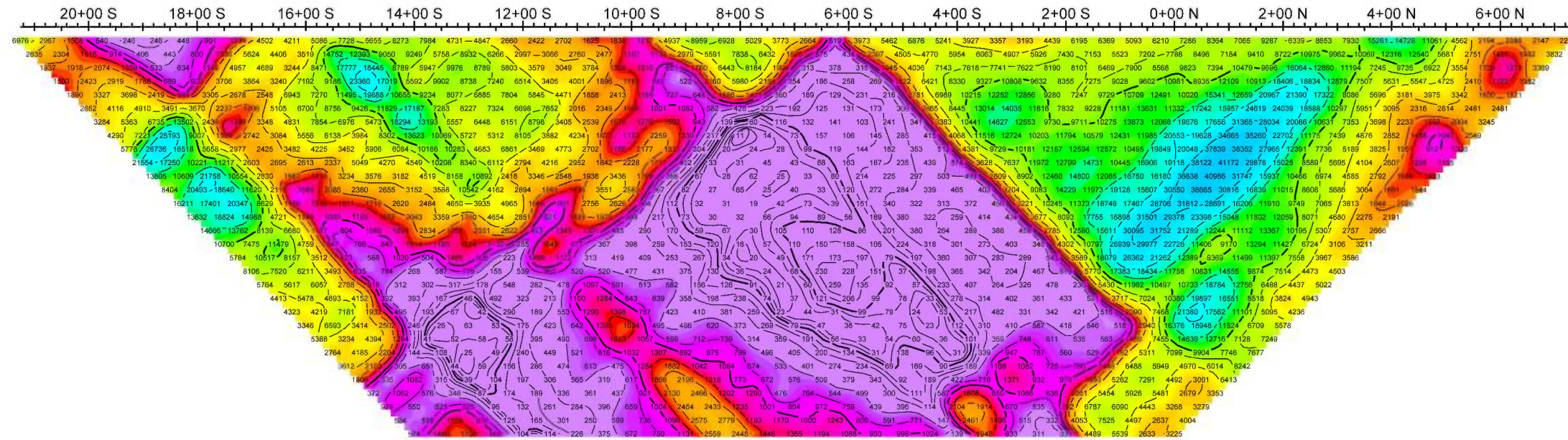


Cartier Resources Inc.
Cadillac Extension Project
Baudin Township
Québec, Canada

Project no: 15N047

Line 13+50E

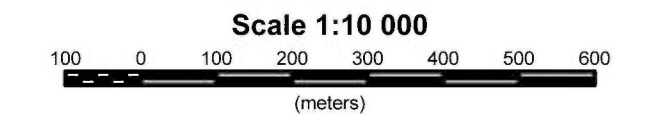
Abitibi Geophysics Inc.





OreVision® Survey
(Dipole-dipole, a = 50 m / n = 1 to 30)

Line 15+00E

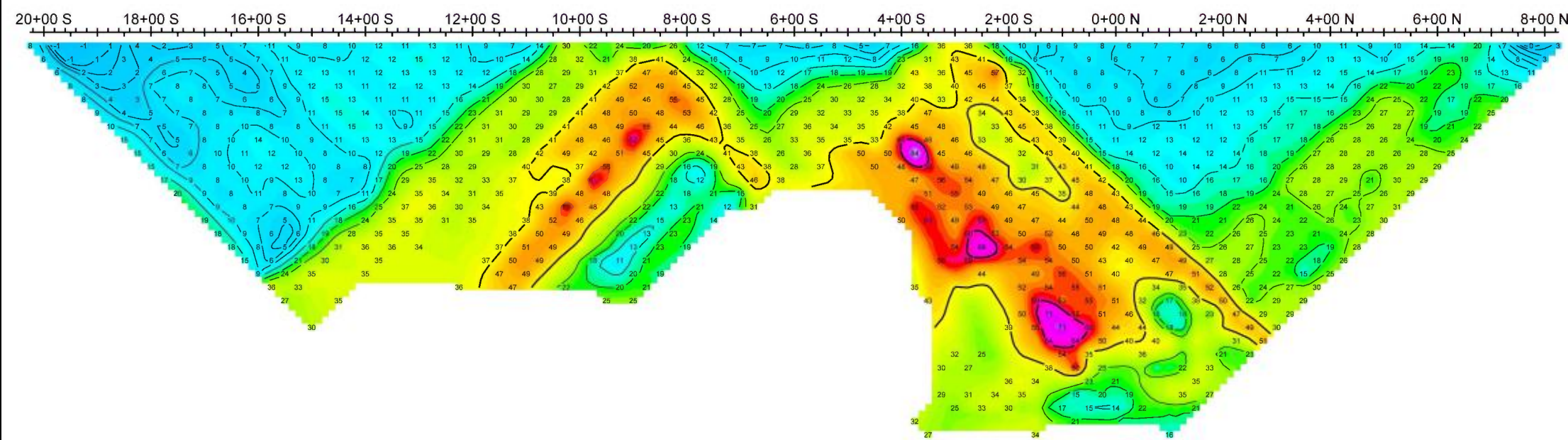
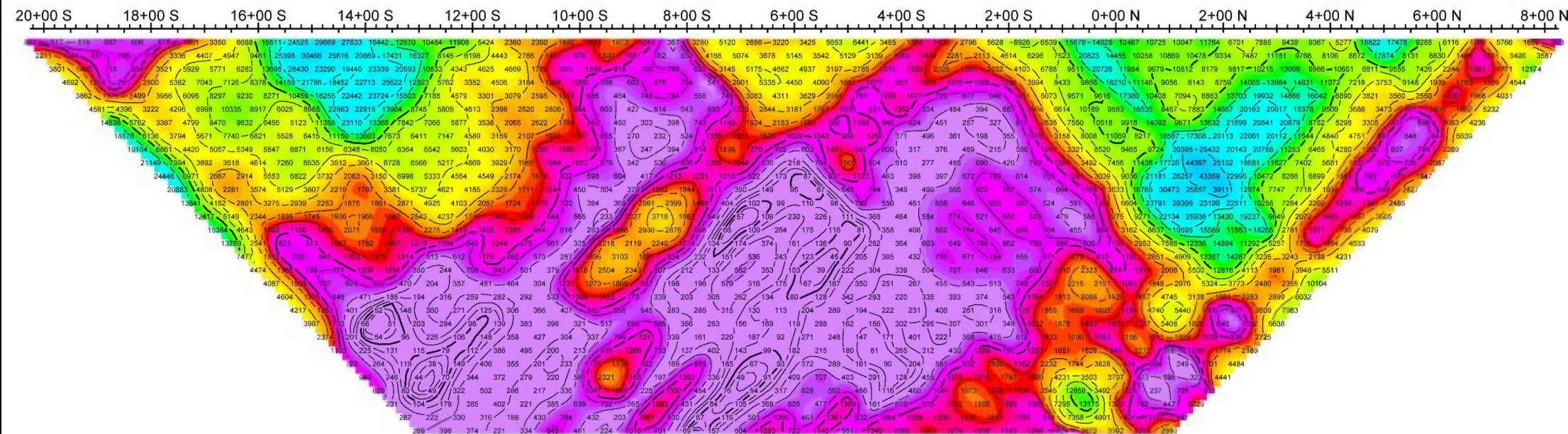


Cartier Resources Inc.
Cadillac Extension Project
Baudin Township
Québec, Canada

Project no: 15N047

Line 15+00E

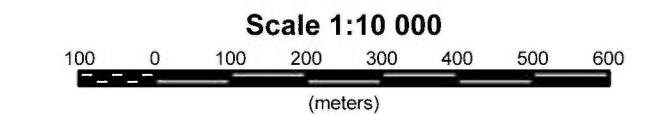
Abitibi Geophysics Inc.





OreVision® Survey
(Dipole-dipole, a = 50 m / n = 1 to 30)

Line 16+50E

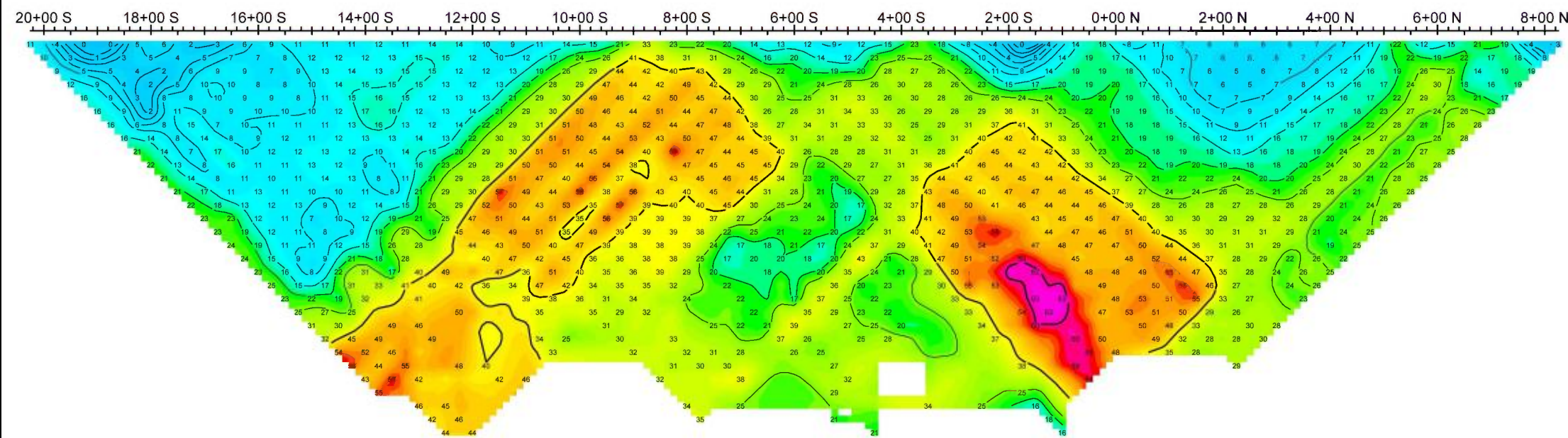
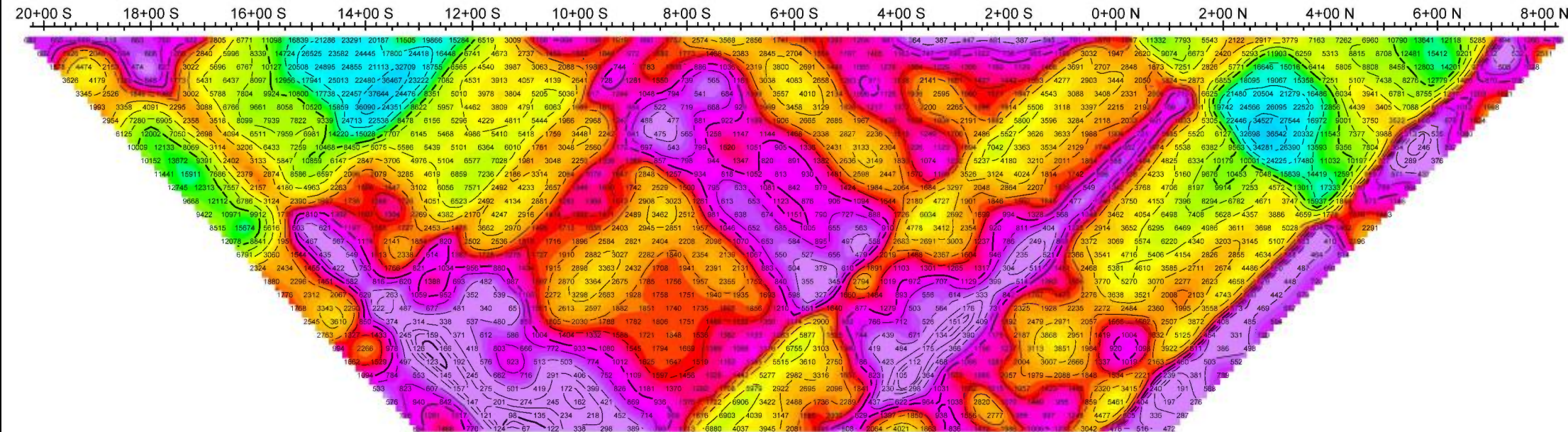


Cartier Resources Inc.
Cadillac Extension Project
Baudin Township
Québec, Canada

Project no: 15N047

Line 16+50 E

Abitibi Geophysics Inc.





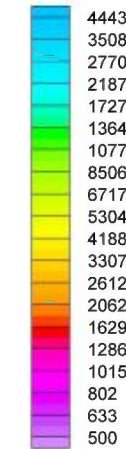
OreVision® Survey

(Dipole-dipole, a = 50 m / n = 1 to 30)

Line 18+00E

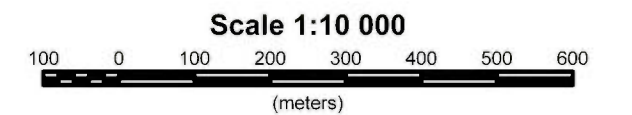
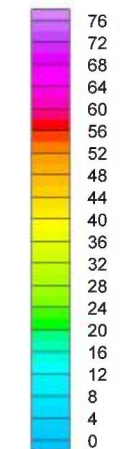
Resistivity
(Ohm-m)

- n=1
- n=2
- n=3
- n=4
- n=5
- n=6
- n=7
- n=8
- n=9
- n=10
- n=11
- n=12
- n=13
- n=14
- n=15
- n=16
- n=17
- n=18
- n=19
- n=20
- n=21
- n=22
- n=23
- n=24
- n=25
- n=26
- n=27
- n=28
- n=29
- n=30



Chargeability
(mV/V)

- n=1
- n=2
- n=3
- n=4
- n=5
- n=6
- n=7
- n=8
- n=9
- n=10
- n=11
- n=12
- n=13
- n=14
- n=15
- n=16
- n=17
- n=18
- n=19
- n=20
- n=21
- n=22
- n=23
- n=24
- n=25
- n=26
- n=27
- n=28
- n=29
- n=30



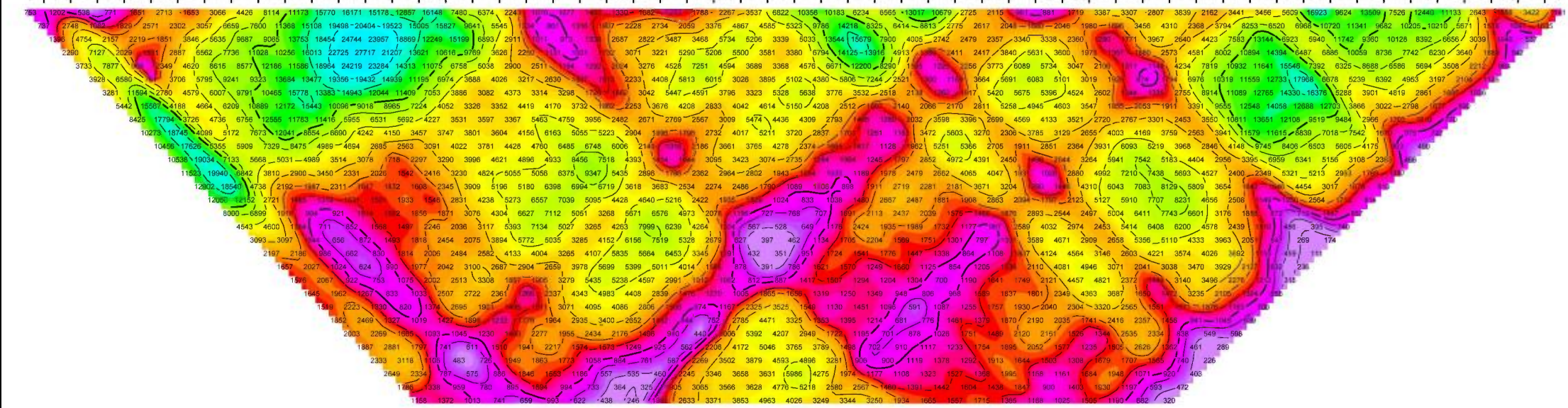
Cartier Resources Inc.
Cadillac Extension Project
Baudin Township
Québec, Canada

Project no: 15N047

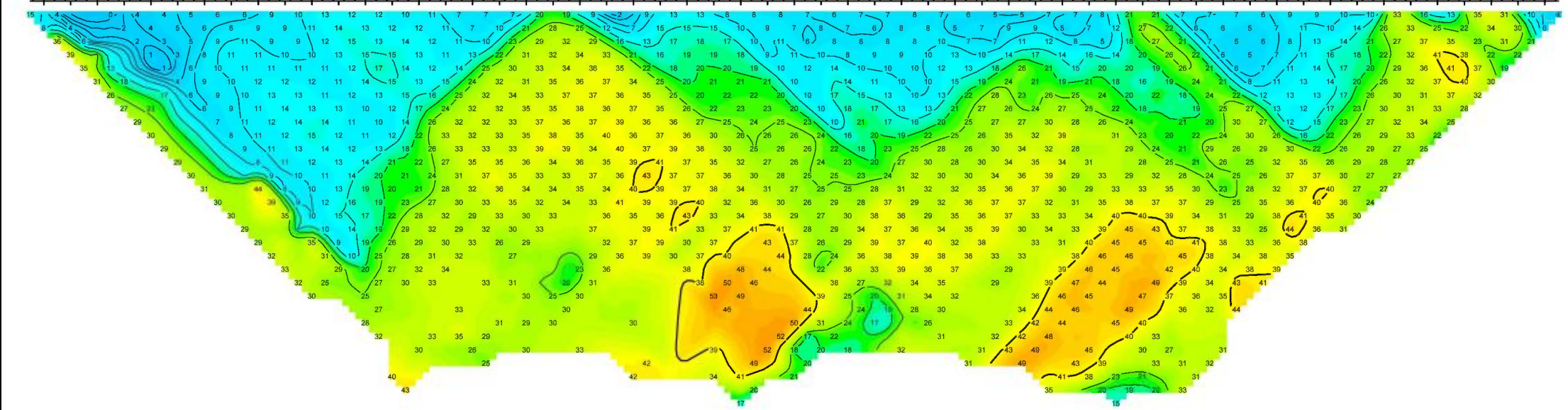
Line 18+00E

Abitibi Geophysics Inc.

20+00 S 18+00 S 16+00 S 14+00 S 12+00 S 10+00 S 8+00 S 6+00 S 4+00 S 2+00 S 0+00 N 2+00 N 4+00 N 6+00 N 8+00 N



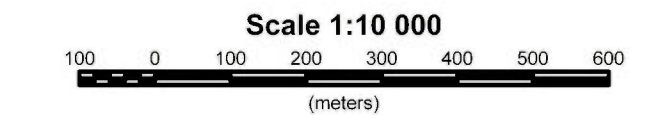
20+00 S 18+00 S 16+00 S 14+00 S 12+00 S 10+00 S 8+00 S 6+00 S 4+00 S 2+00 S 0+00 N 2+00 N 4+00 N 6+00 N 8+00 N





OreVision® Survey
(Dipole-dipole, a = 50 m / n = 1 to 30)

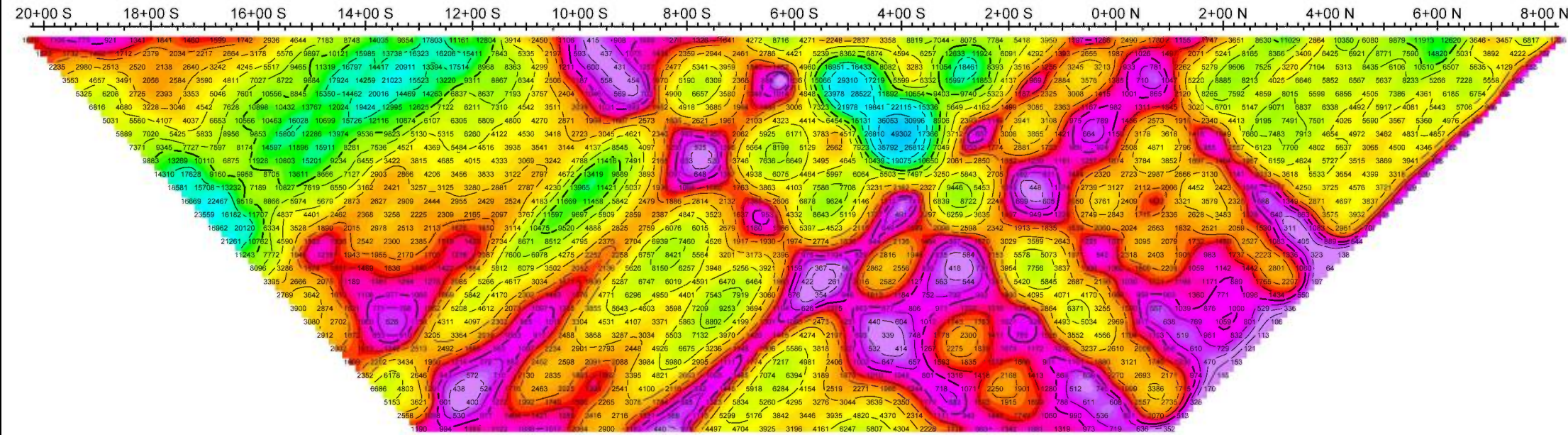
Line 19+50E



Cartier Resources Inc.
Cadillac Extension Project
Baudin Township
Québec, Canada

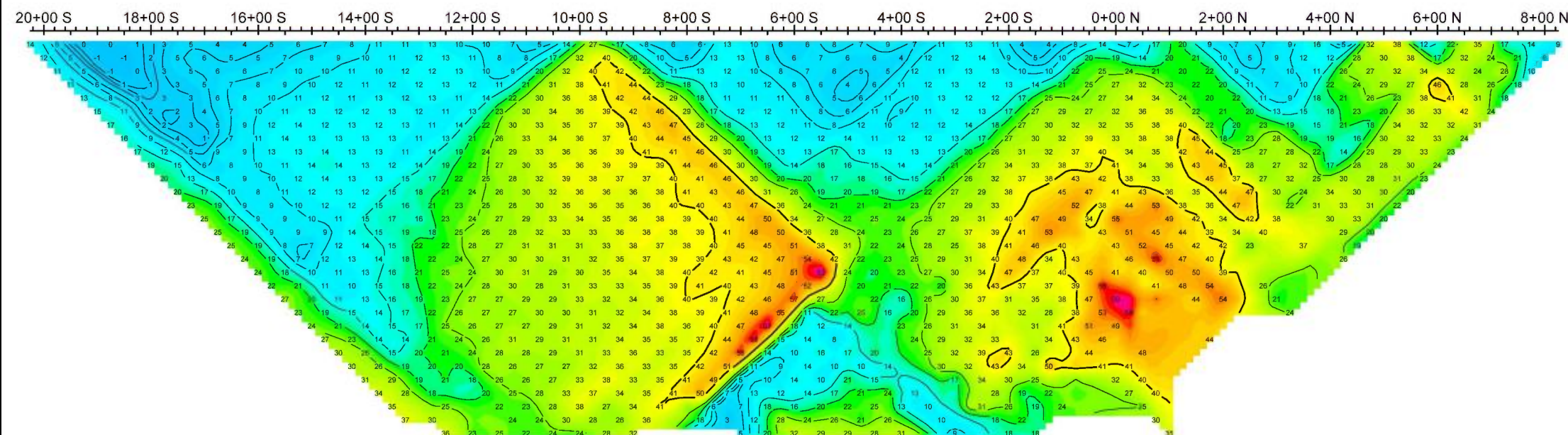
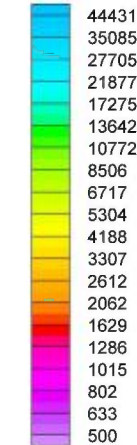
Project no: 15N047 Line 19+50E

Abitibi Geophysics Inc.



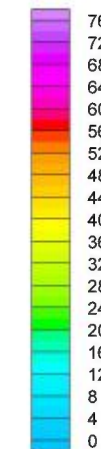
Resistivity
(Ohm-m)

- n=1
- n=2
- n=3
- n=4
- n=5
- n=6
- n=7
- n=8
- n=9
- n=10
- n=11
- n=12
- n=13
- n=14
- n=15
- n=16
- n=17
- n=18
- n=19
- n=20
- n=21
- n=22
- n=23
- n=24
- n=25
- n=26
- n=27
- n=28
- n=29
- n=30



Chargeability
(mV/V)

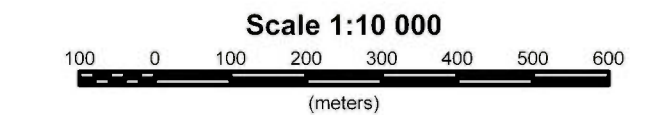
- n=1
- n=2
- n=3
- n=4
- n=5
- n=6
- n=7
- n=8
- n=9
- n=10
- n=11
- n=12
- n=13
- n=14
- n=15
- n=16
- n=17
- n=18
- n=19
- n=20
- n=21
- n=22
- n=23
- n=24
- n=25
- n=26
- n=27
- n=28
- n=29
- n=30





OreVision® Survey
(Dipole-dipole, a = 50 m / n = 1 to 30)

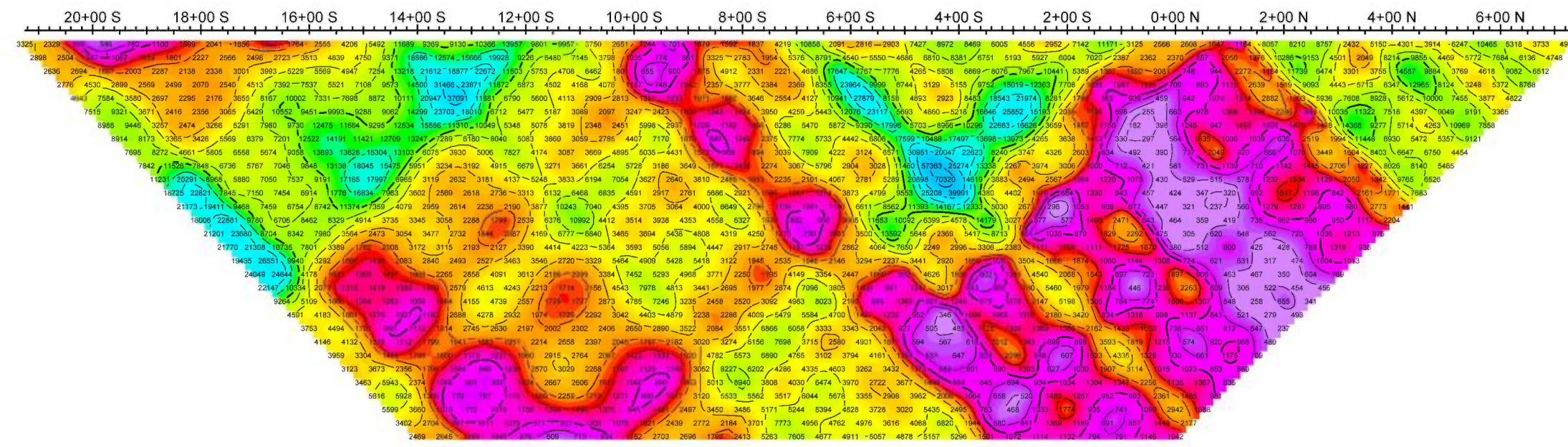
Line 21+00E



Cartier Resources Inc.
Cadillac Extension Project
Baudin Township
Québec, Canada

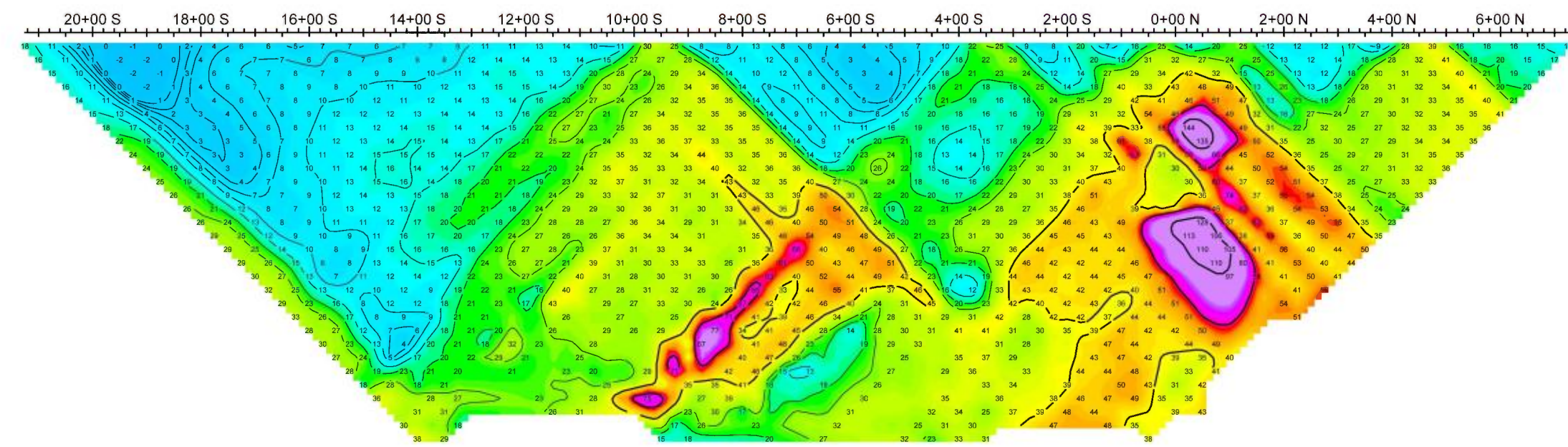
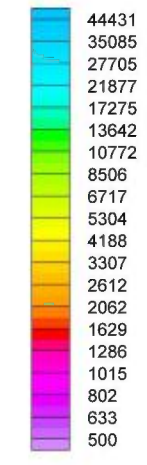
Project no: 15N047 Line 21+00E

Abitibi Geophysics Inc.



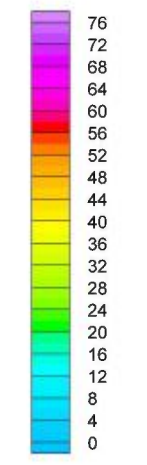
Resistivity
(Ohm-m)

- n=1
- n=2
- n=3
- n=4
- n=5
- n=6
- n=7
- n=8
- n=9
- n=10
- n=11
- n=12
- n=13
- n=14
- n=15
- n=16
- n=17
- n=18
- n=19
- n=20
- n=21
- n=22
- n=23
- n=24
- n=25
- n=26
- n=27
- n=28
- n=29
- n=30



Chargeability
(mV/V)

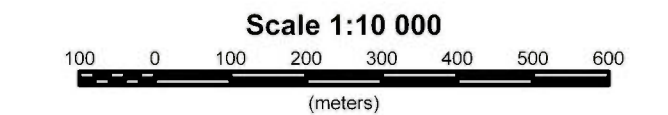
- n=1
- n=2
- n=3
- n=4
- n=5
- n=6
- n=7
- n=8
- n=9
- n=10
- n=11
- n=12
- n=13
- n=14
- n=15
- n=16
- n=17
- n=18
- n=19
- n=20
- n=21
- n=22
- n=23
- n=24
- n=25
- n=26
- n=27
- n=28
- n=29
- n=30





OreVision® Survey
(Dipole-dipole, a = 50 m / n = 1 to 30)

Line 22+50E

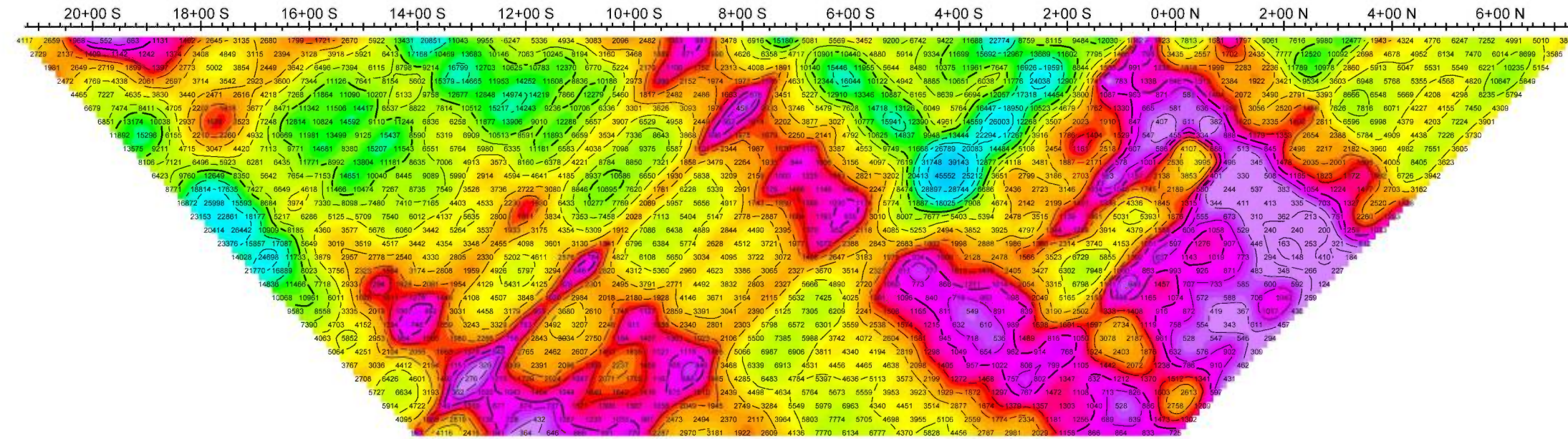


Cartier Resources Inc.
Cadillac Extension Project
Baudin Township
Québec, Canada

Project no: 15N047

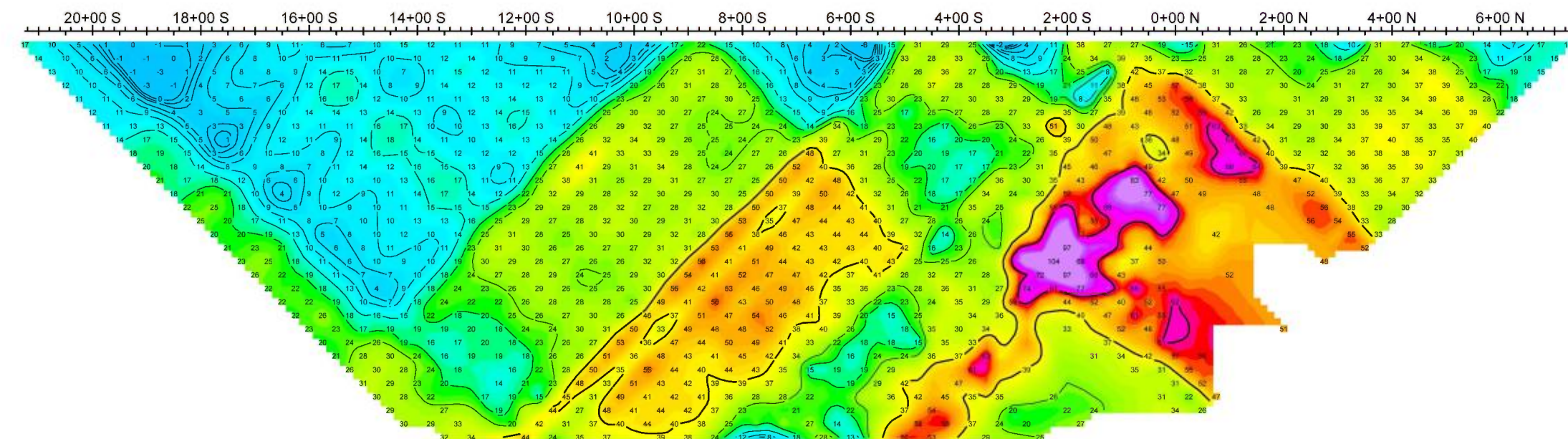
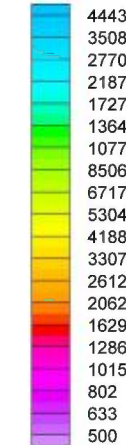
Line 22+50E

Abitibi Geophysics Inc.



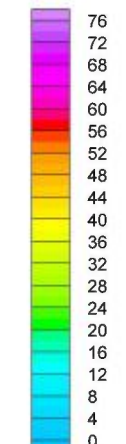
Resistivity
(Ohm-m)

- n=1
- n=2
- n=3
- n=4
- n=5
- n=6
- n=7
- n=8
- n=9
- n=10
- n=11
- n=12
- n=13
- n=14
- n=15
- n=16
- n=17
- n=18
- n=19
- n=20
- n=21
- n=22
- n=23
- n=24
- n=25
- n=26
- n=27
- n=28
- n=29
- n=30



Chargeability
(mV/V)

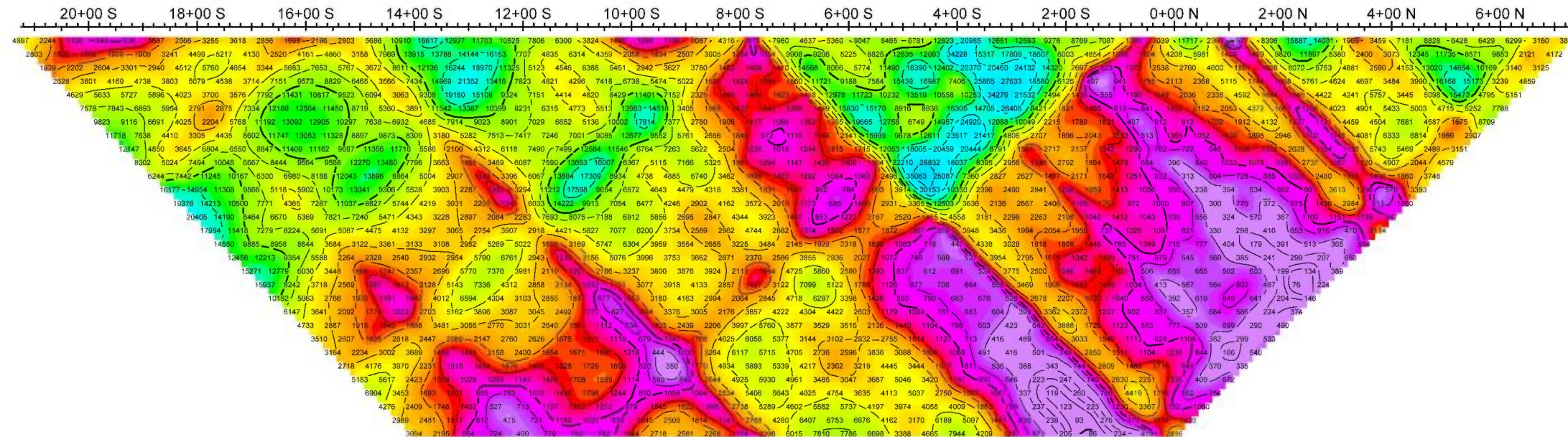
- n=1
- n=2
- n=3
- n=4
- n=5
- n=6
- n=7
- n=8
- n=9
- n=10
- n=11
- n=12
- n=13
- n=14
- n=15
- n=16
- n=17
- n=18
- n=19
- n=20
- n=21
- n=22
- n=23
- n=24
- n=25
- n=26
- n=27
- n=28
- n=29
- n=30





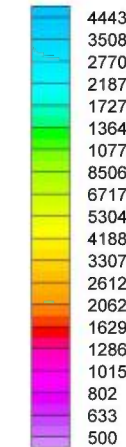
OreVision® Survey

(Dipole-dipole, a = 50 m / n = 1 to 30)

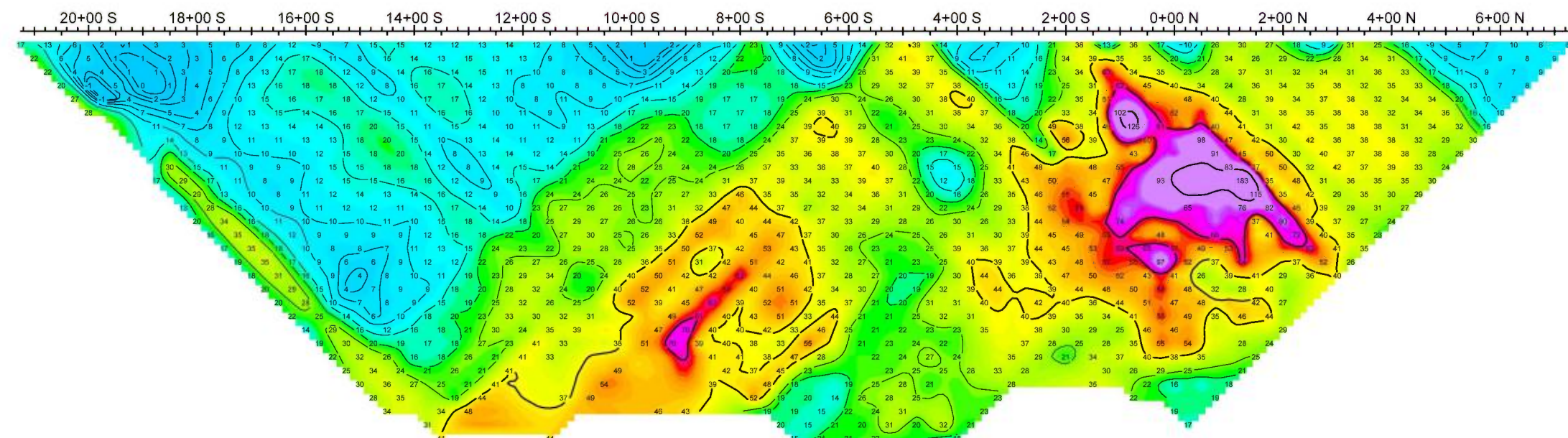


Resistivity
(Ohm-m)

- n=1
- n=2
- n=3
- n=4
- n=5
- n=6
- n=7
- n=8
- n=9
- n=10
- n=11
- n=12
- n=13
- n=14
- n=15
- n=16
- n=17
- n=18
- n=19
- n=20
- n=21
- n=22
- n=23
- n=24
- n=25
- n=26
- n=27
- n=28
- n=29
- n=30

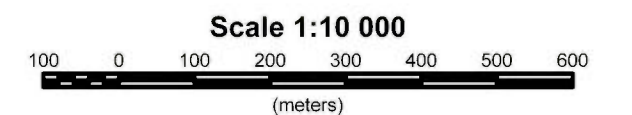
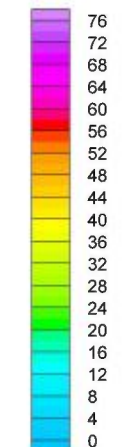


Line 24+00E



Chargeability
(mV/V)

- n=1
- n=2
- n=3
- n=4
- n=5
- n=6
- n=7
- n=8
- n=9
- n=10
- n=11
- n=12
- n=13
- n=14
- n=15
- n=16
- n=17
- n=18
- n=19
- n=20
- n=21
- n=22
- n=23
- n=24
- n=25
- n=26
- n=27
- n=28
- n=29
- n=30



Cartier Resources Inc.
Cadillac Extension Project
Baudin Township
Québec, Canada

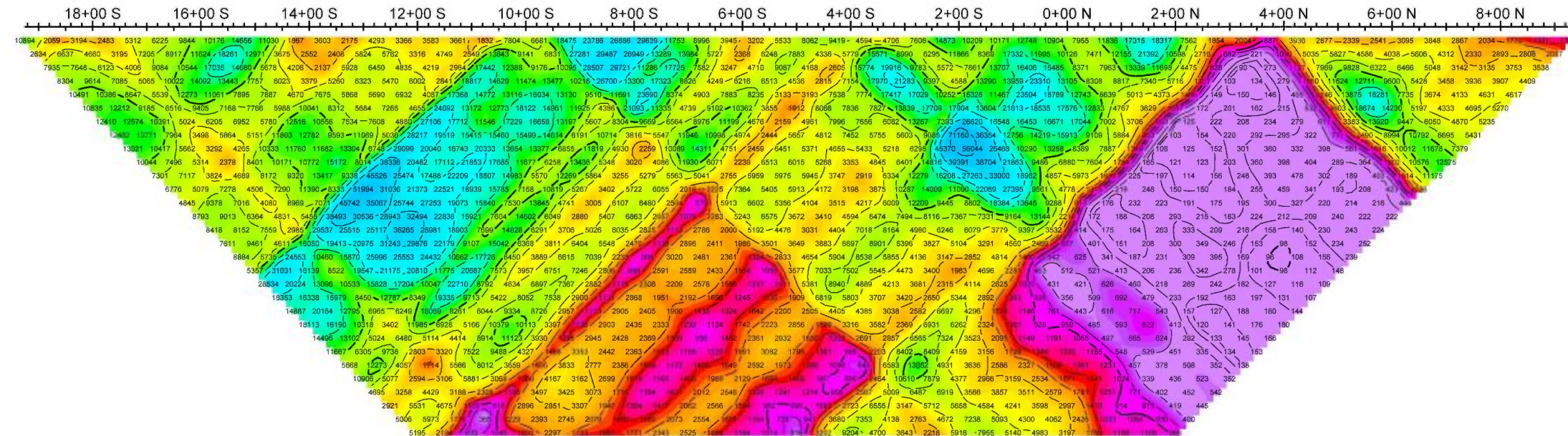
Project no: 15N047

Line 24+00E

Abitibi Geophysics Inc.

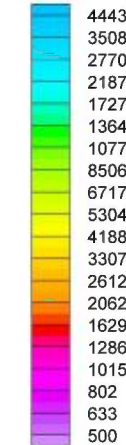


OreVision® Survey
(Dipole-dipole, a = 50 m / n = 1 to 30)

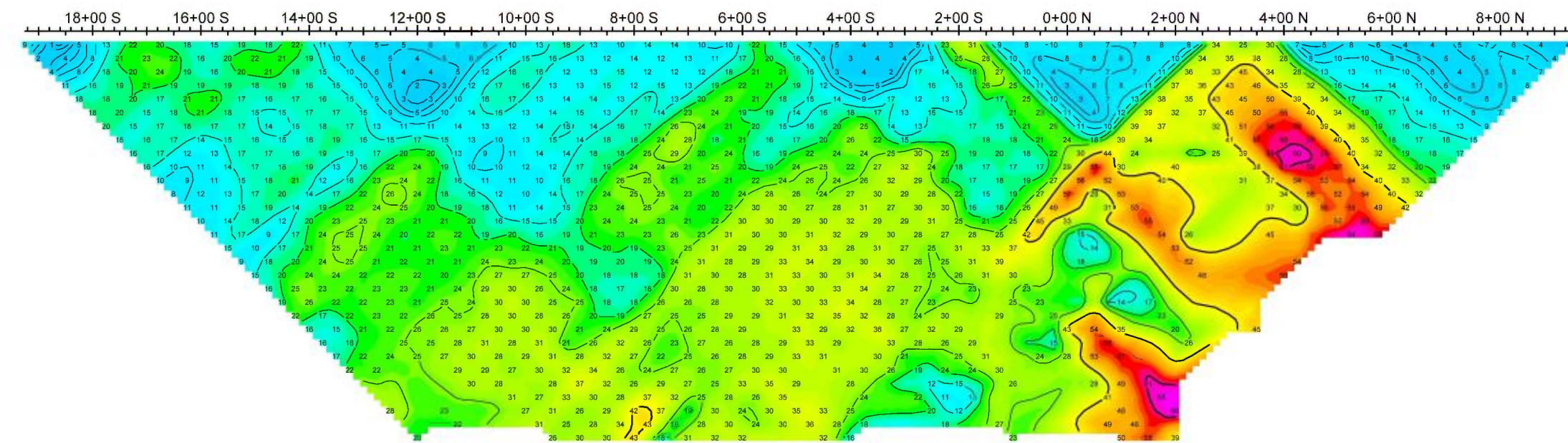


Resistivity
(Ohm-m)

- n=1
- n=2
- n=3
- n=4
- n=5
- n=6
- n=7
- n=8
- n=9
- n=10
- n=11
- n=12
- n=13
- n=14
- n=15
- n=16
- n=17
- n=18
- n=19
- n=20
- n=21
- n=22
- n=23
- n=24
- n=25
- n=26
- n=27
- n=28
- n=29
- n=30

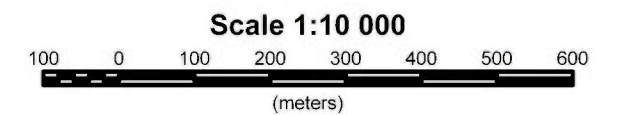
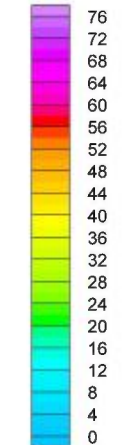


Line 48+00E



Chargeability
(mV/V)

- n=1
- n=2
- n=3
- n=4
- n=5
- n=6
- n=7
- n=8
- n=9
- n=10
- n=11
- n=12
- n=13
- n=14
- n=15
- n=16
- n=17
- n=18
- n=19
- n=20
- n=21
- n=22
- n=23
- n=24
- n=25
- n=26
- n=27
- n=28
- n=29
- n=30



Cartier Resources Inc.
Cadillac Extension Project
Baudin Township
Québec, Canada

Project no: 15N047

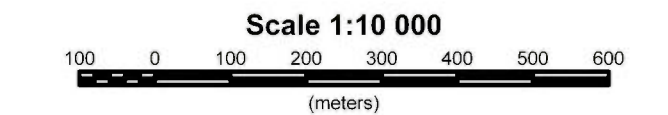
Line 48+00E

Abitibi Geophysics Inc.



OreVision® Survey
(Dipole-dipole, a = 50 m / n = 1 to 30)

Line 49+50E

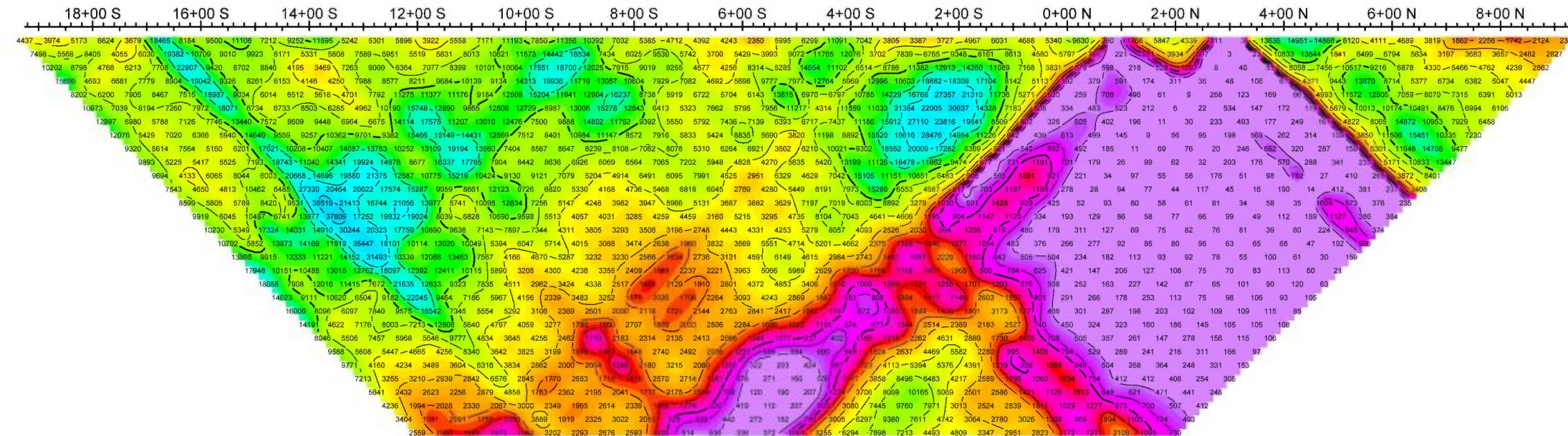


Cartier Resources Inc.
Cadillac Extension Project
Baudin Township
Québec, Canada

Project no: 15N047

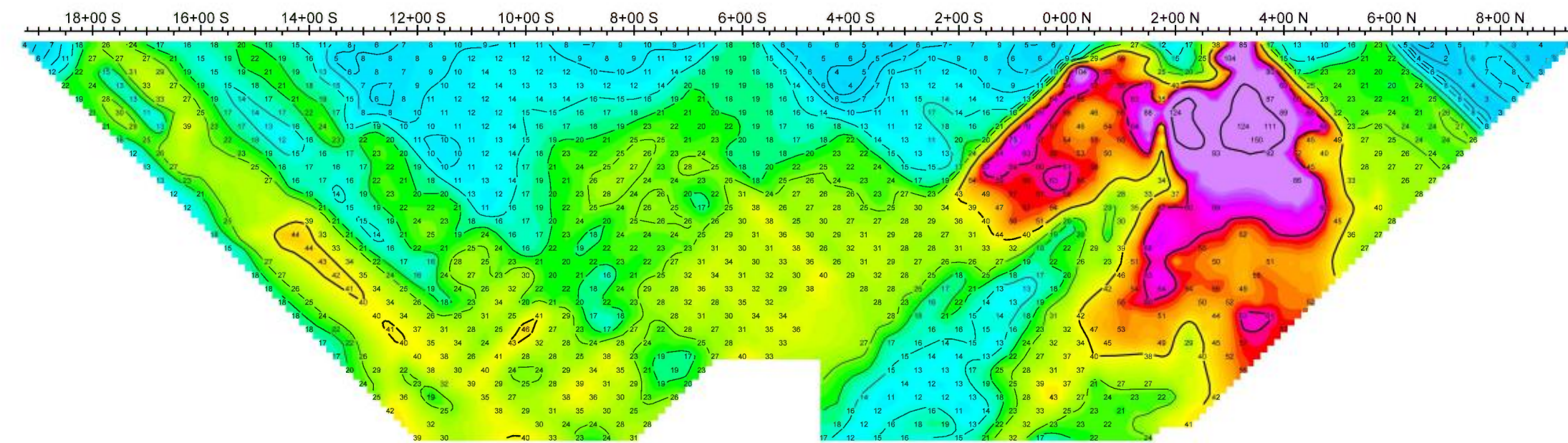
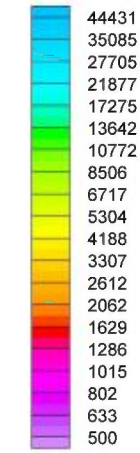
Line 49+50E

Abitibi Geophysics Inc.



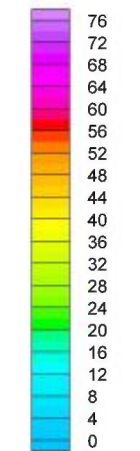
Resistivity
(Ohm-m)

- n=1
- n=2
- n=3
- n=4
- n=5
- n=6
- n=7
- n=8
- n=9
- n=10
- n=11
- n=12
- n=13
- n=14
- n=15
- n=16
- n=17
- n=18
- n=19
- n=20
- n=21
- n=22
- n=23
- n=24
- n=25
- n=26
- n=27
- n=28
- n=29
- n=30



Chargeability
(mV/V)

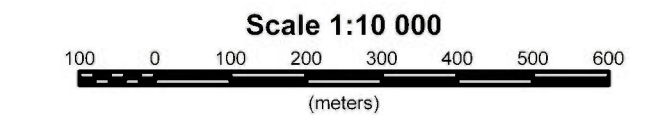
- n=1
- n=2
- n=3
- n=4
- n=5
- n=6
- n=7
- n=8
- n=9
- n=10
- n=11
- n=12
- n=13
- n=14
- n=15
- n=16
- n=17
- n=18
- n=19
- n=20
- n=21
- n=22
- n=23
- n=24
- n=25
- n=26
- n=27
- n=28
- n=29
- n=30





OreVision® Survey
(Dipole-dipole, a = 50 m / n = 1 to 30)

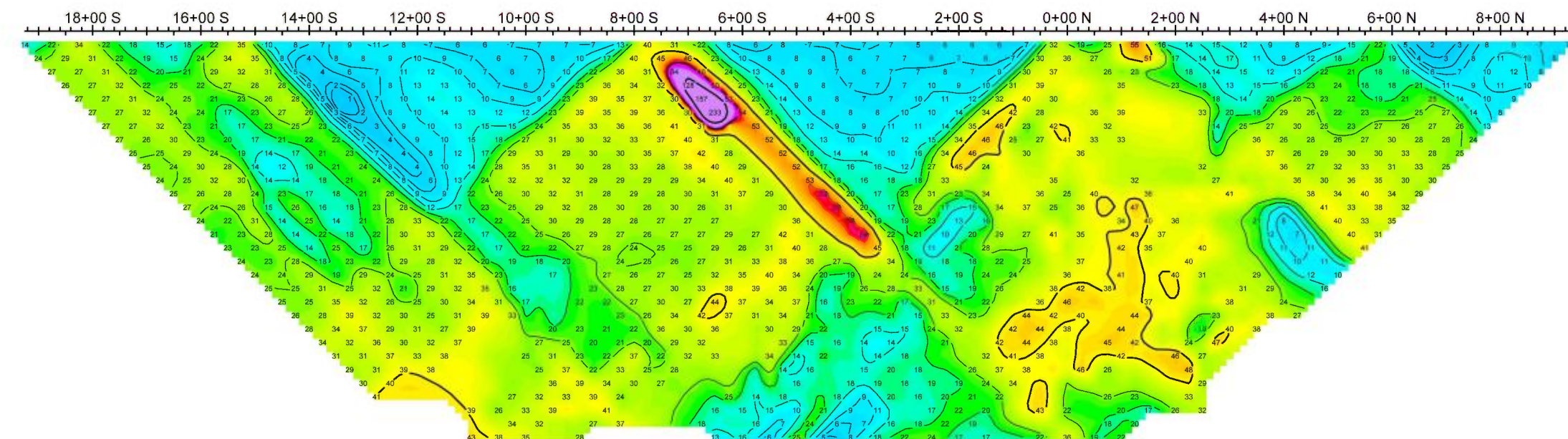
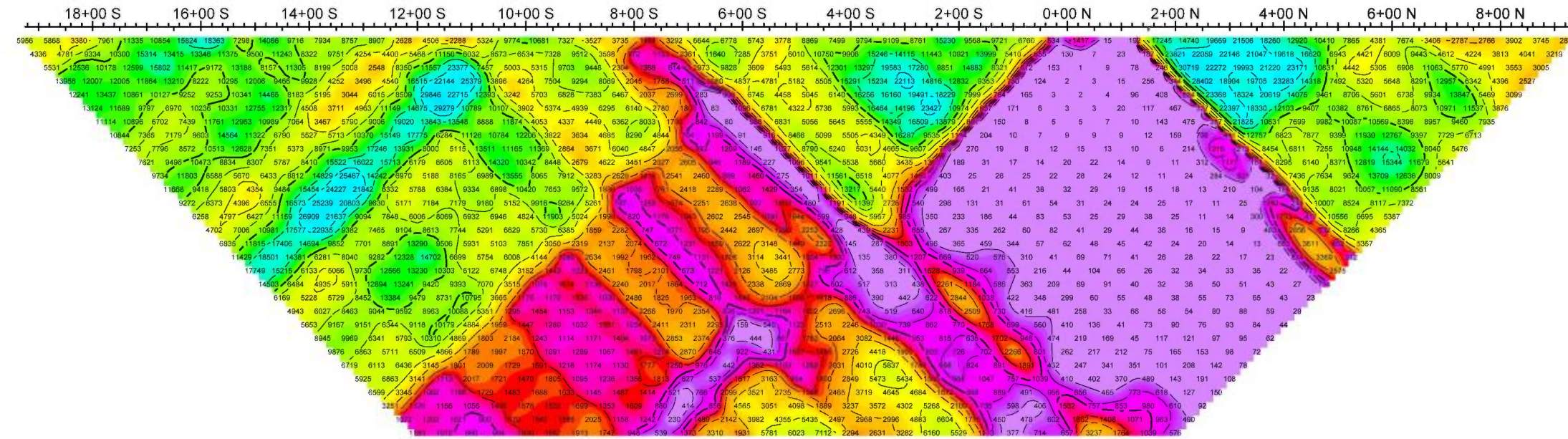
Line 51+00E



Cartier Resources Inc.
Cadillac Extension Project
Baudin Township
Québec, Canada

Project no: 15N047 Line 51+00E

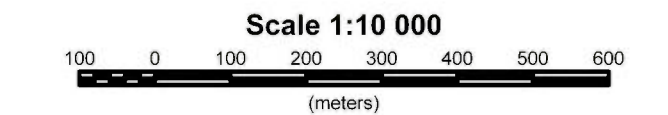
Abitibi Geophysics Inc.





OreVision® Survey
(Dipole-dipole, a = 50 m / n = 1 to 30)

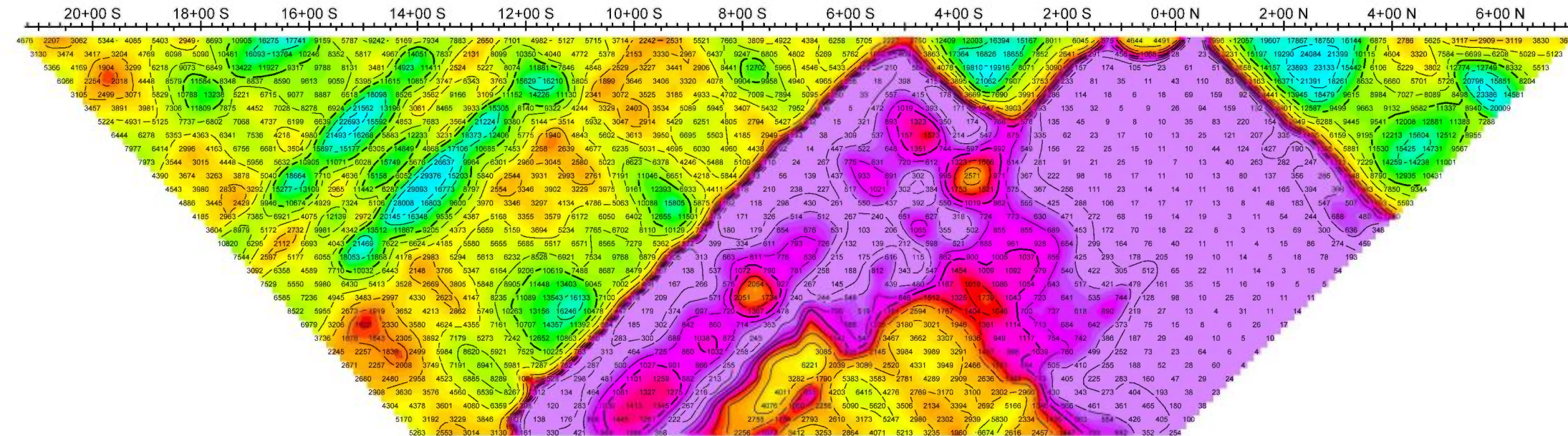
Line 52+50E



Cartier Resources Inc.
Cadillac Extension Project
Baudin Township
Québec, Canada

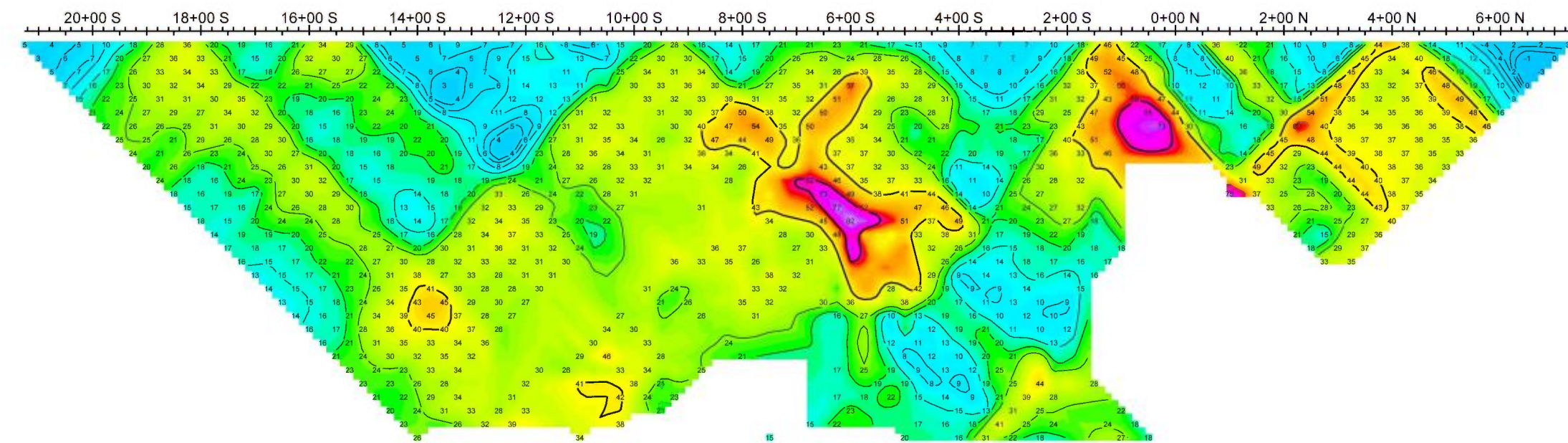
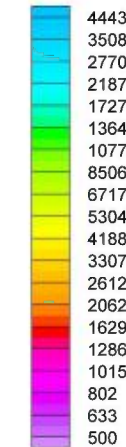
Project no: 15N047 Line 52+50E

Abitibi Geophysics Inc.



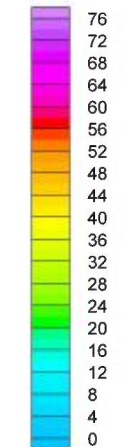
Resistivity
(Ohm-m)

- n=1
- n=2
- n=3
- n=4
- n=5
- n=6
- n=7
- n=8
- n=9
- n=10
- n=11
- n=12
- n=13
- n=14
- n=15
- n=16
- n=17
- n=18
- n=19
- n=20
- n=21
- n=22
- n=23
- n=24
- n=25
- n=26
- n=27
- n=28
- n=29
- n=30



Chargeability
(mV/V)

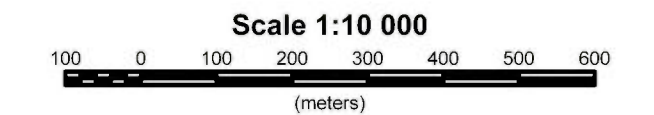
- n=1
- n=2
- n=3
- n=4
- n=5
- n=6
- n=7
- n=8
- n=9
- n=10
- n=11
- n=12
- n=13
- n=14
- n=15
- n=16
- n=17
- n=18
- n=19
- n=20
- n=21
- n=22
- n=23
- n=24
- n=25
- n=26
- n=27
- n=28
- n=29
- n=30





OreVision® Survey
(Dipole-dipole, a = 50 m / n = 1 to 30)

Line 54+00E

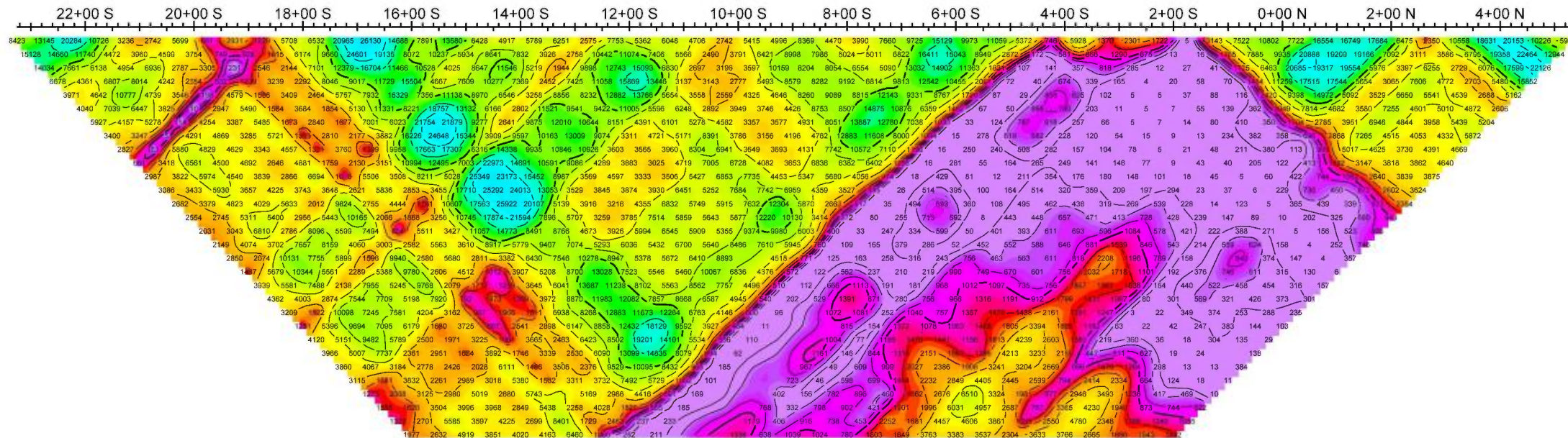


Cartier Resources Inc.
Cadillac Extension Project
Baudin Township
Québec, Canada

Project no: 15N047

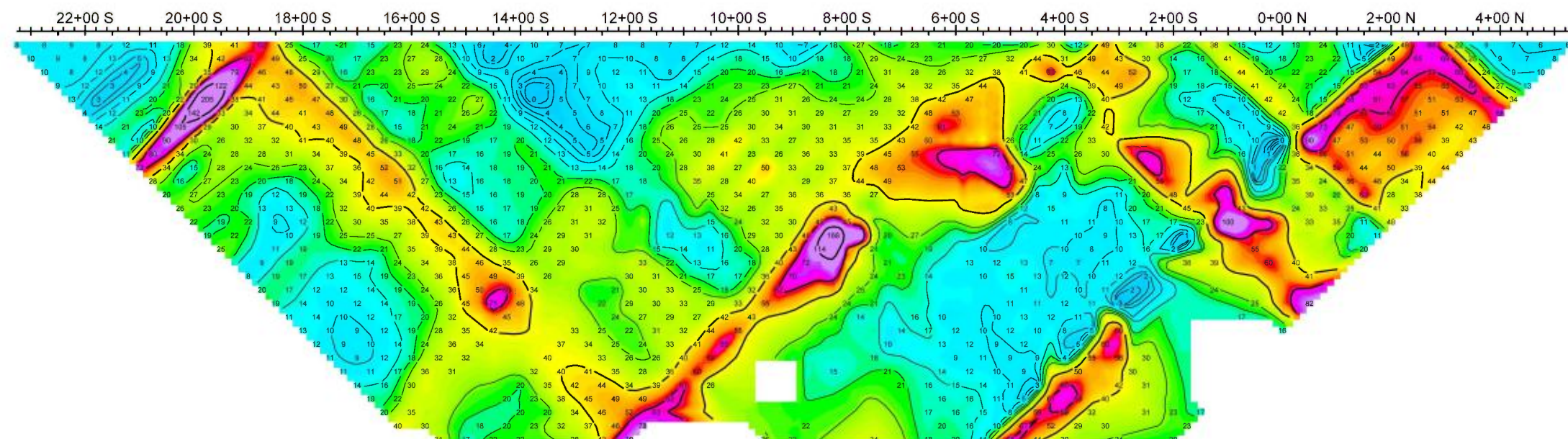
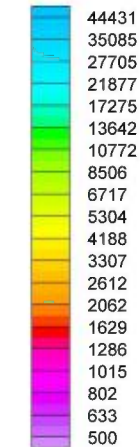
Line 54+00E

Abitibi Geophysics Inc.



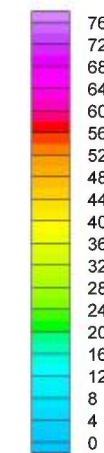
Resistivity
(Ohm-m)

- n=1
- n=2
- n=3
- n=4
- n=5
- n=6
- n=7
- n=8
- n=9
- n=10
- n=11
- n=12
- n=13
- n=14
- n=15
- n=16
- n=17
- n=18
- n=19
- n=20
- n=21
- n=22
- n=23
- n=24
- n=25
- n=26
- n=27
- n=28
- n=29
- n=30



Chargeability
(mV/V)

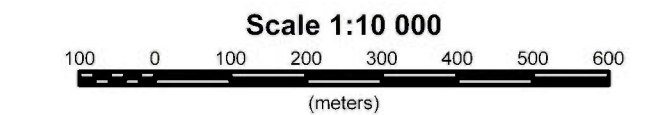
- n=1
- n=2
- n=3
- n=4
- n=5
- n=6
- n=7
- n=8
- n=9
- n=10
- n=11
- n=12
- n=13
- n=14
- n=15
- n=16
- n=17
- n=18
- n=19
- n=20
- n=21
- n=22
- n=23
- n=24
- n=25
- n=26
- n=27
- n=28
- n=29
- n=30





OreVision® Survey
(Dipole-dipole, a = 50 m / n = 1 to 30)

Line 55+50E

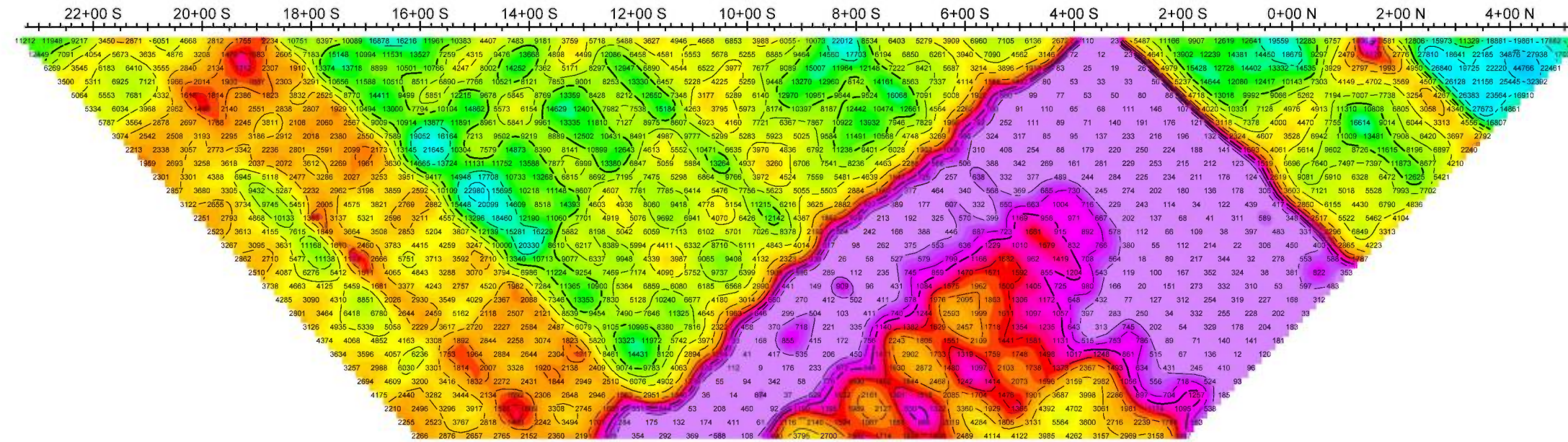


Cartier Resources Inc.
Cadillac Extension Project
Baudin Township
Québec, Canada

Project no: 15N047

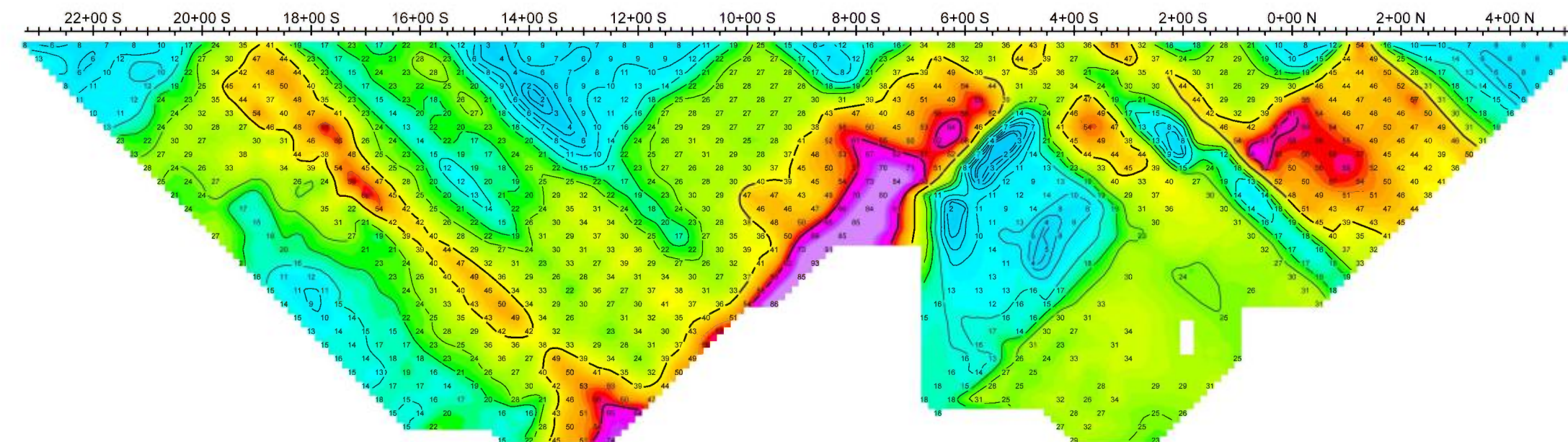
Line 55+50E

Abitibi Geophysics Inc.



Resistivity
(Ohm-m)

- n=1
- n=2
- n=3
- n=4
- n=5
- n=6
- n=7
- n=8
- n=9
- n=10
- n=11
- n=12
- n=13
- n=14
- n=15
- n=16
- n=17
- n=18
- n=19
- n=20
- n=21
- n=22
- n=23
- n=24
- n=25
- n=26
- n=27
- n=28
- n=29
- n=30



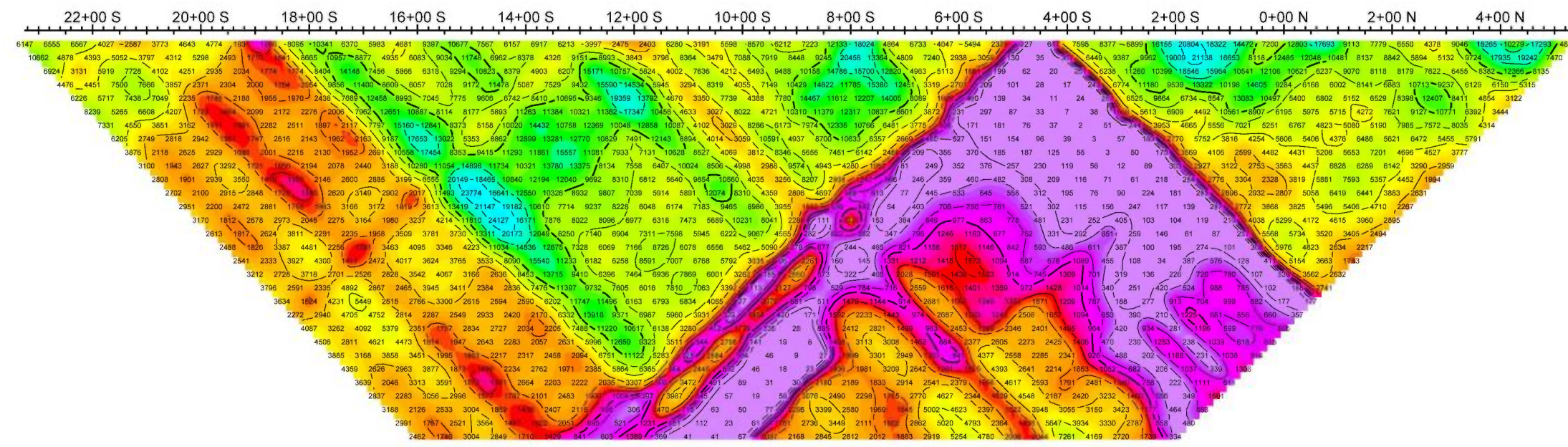
Chargeability
(mV/V)

- n=1
- n=2
- n=3
- n=4
- n=5
- n=6
- n=7
- n=8
- n=9
- n=10
- n=11
- n=12
- n=13
- n=14
- n=15
- n=16
- n=17
- n=18
- n=19
- n=20
- n=21
- n=22
- n=23
- n=24
- n=25
- n=26
- n=27
- n=28
- n=29
- n=30

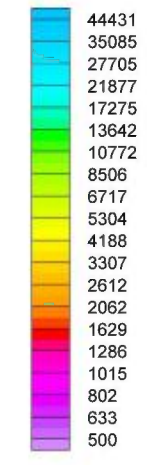


OreVision® Survey (Dipole-dipole, a = 50 m / n = 1 to 30)

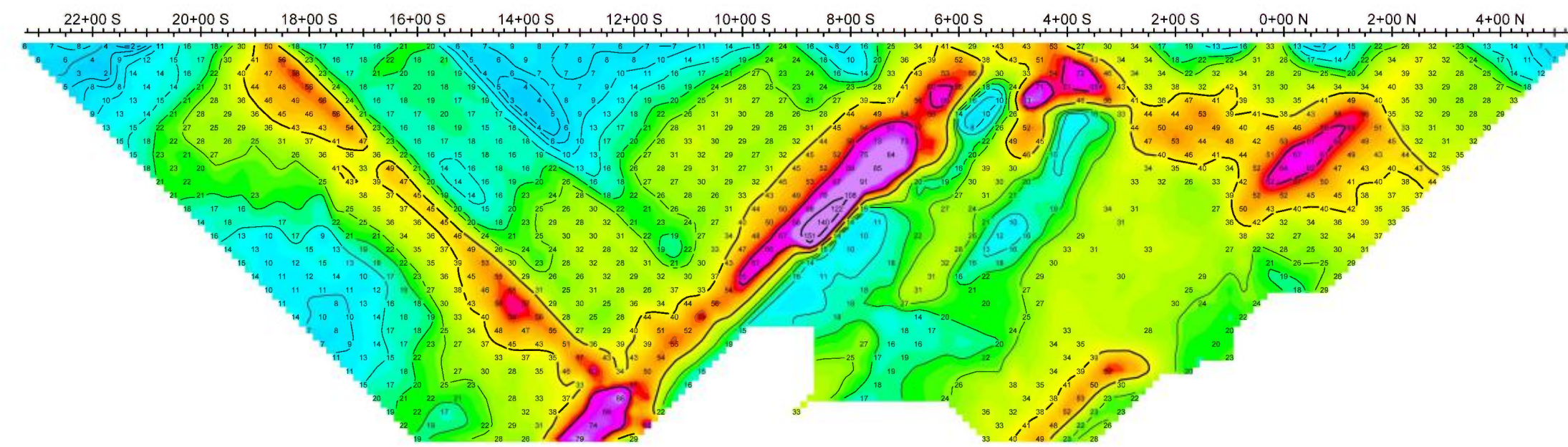
Line 57+00E



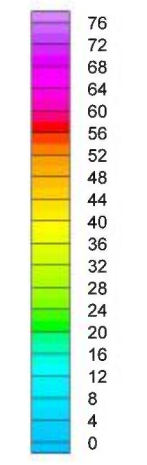
Resistivity
(Ohm-m)



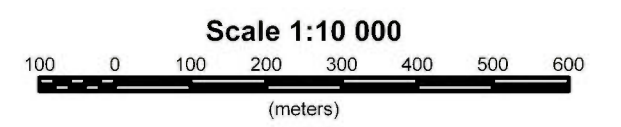
- n=1
- n=2
- n=3
- n=4
- n=5
- n=6
- n=7
- n=8
- n=9
- n=10
- n=11
- n=12
- n=13
- n=14
- n=15
- n=16
- n=17
- n=18
- n=19
- n=20
- n=21
- n=22
- n=23
- n=24
- n=25
- n=26
- n=27
- n=28
- n=29
- n=30



Chargeability
(mV/V)



- n=1
- n=2
- n=3
- n=4
- n=5
- n=6
- n=7
- n=8
- n=9
- n=10
- n=11
- n=12
- n=13
- n=14
- n=15
- n=16
- n=17
- n=18
- n=19
- n=20
- n=21
- n=22
- n=23
- n=24
- n=25
- n=26
- n=27
- n=28
- n=29
- n=30



Cartier Resources Inc.
Cadillac Extension Project
Baudin Township
Québec, Canada

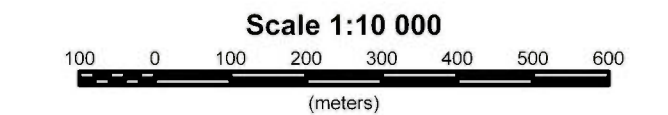
Project no: 15N047 Line 57+00E

Abitibi Geophysics Inc.



OreVision® Survey
(Dipole-dipole, a = 50 m / n = 1 to 30)

Line 58+50E

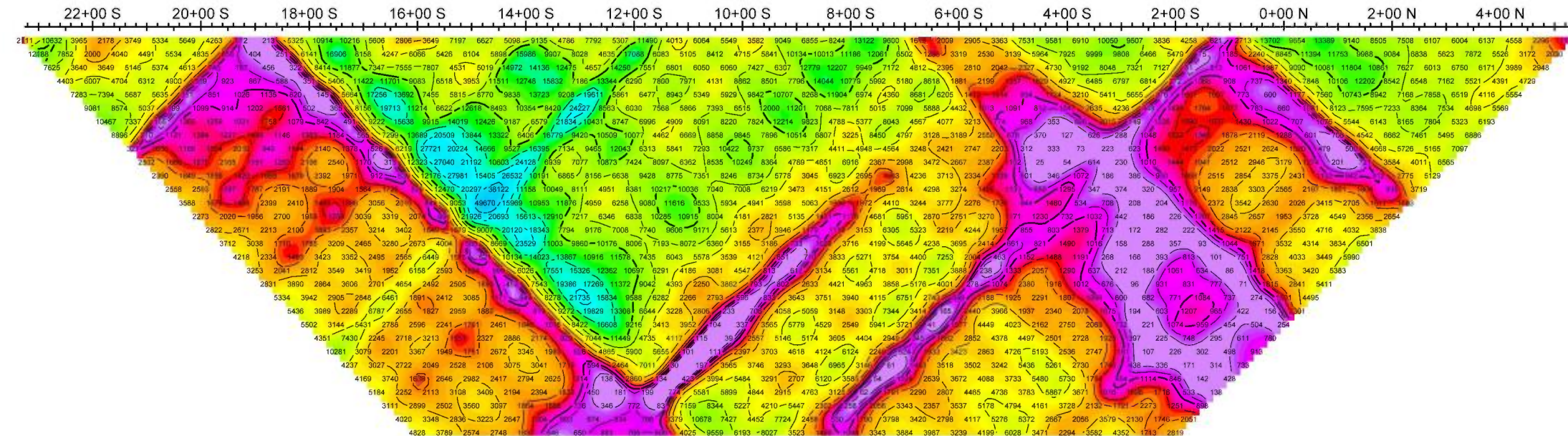


Cartier Resources Inc.
Cadillac Extension Project
Baudin Township
Québec, Canada

Project no: 15N047

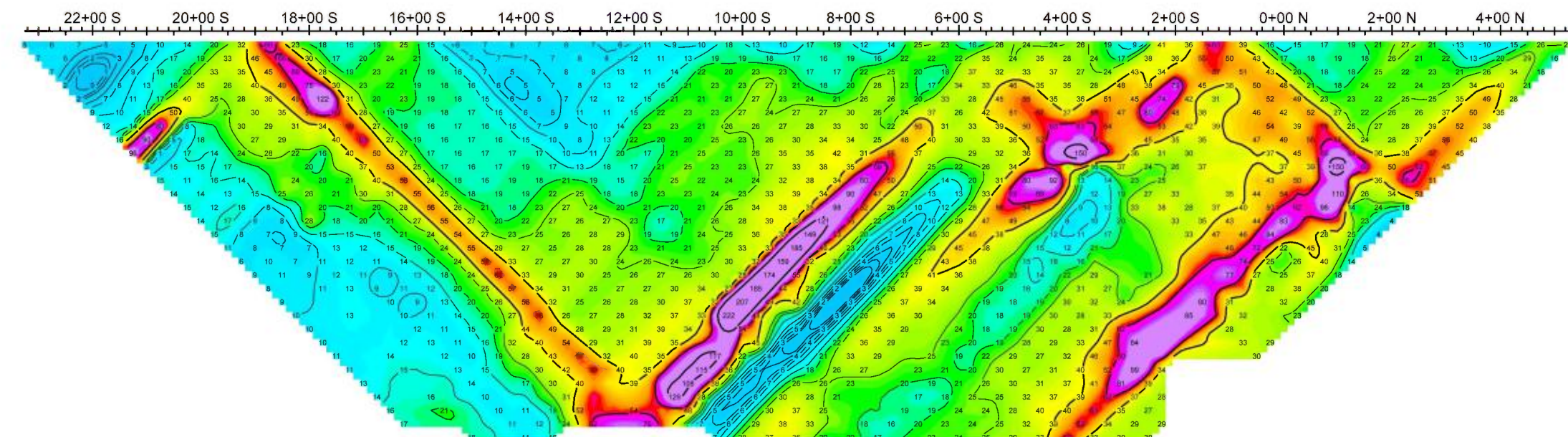
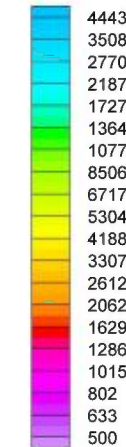
Line 58+50E

Abitibi Geophysics Inc.



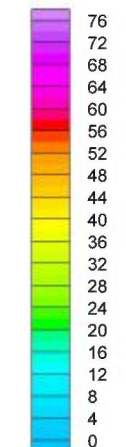
Resistivity
(Ohm-m)

- n=1
- n=2
- n=3
- n=4
- n=5
- n=6
- n=7
- n=8
- n=9
- n=10
- n=11
- n=12
- n=13
- n=14
- n=15
- n=16
- n=17
- n=18
- n=19
- n=20
- n=21
- n=22
- n=23
- n=24
- n=25
- n=26
- n=27
- n=28
- n=29
- n=30



Chargeability
(mV/V)

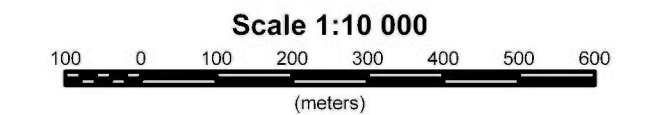
- n=1
- n=2
- n=3
- n=4
- n=5
- n=6
- n=7
- n=8
- n=9
- n=10
- n=11
- n=12
- n=13
- n=14
- n=15
- n=16
- n=17
- n=18
- n=19
- n=20
- n=21
- n=22
- n=23
- n=24
- n=25
- n=26
- n=27
- n=28
- n=29
- n=30





OreVision® Survey
(Dipole-dipole, a = 50 m / n = 1 to 30)

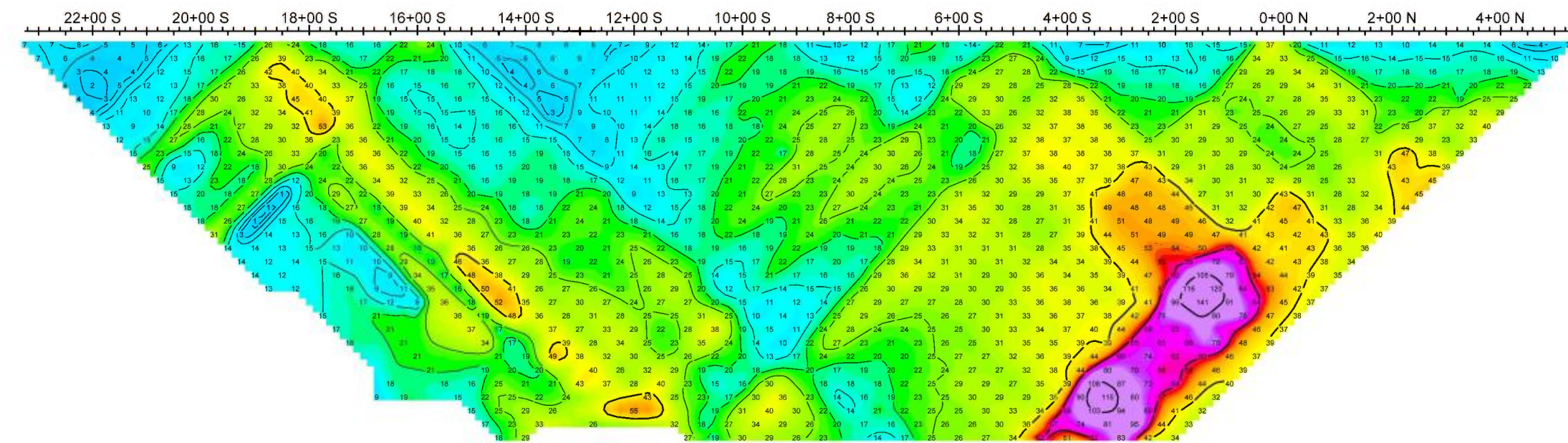
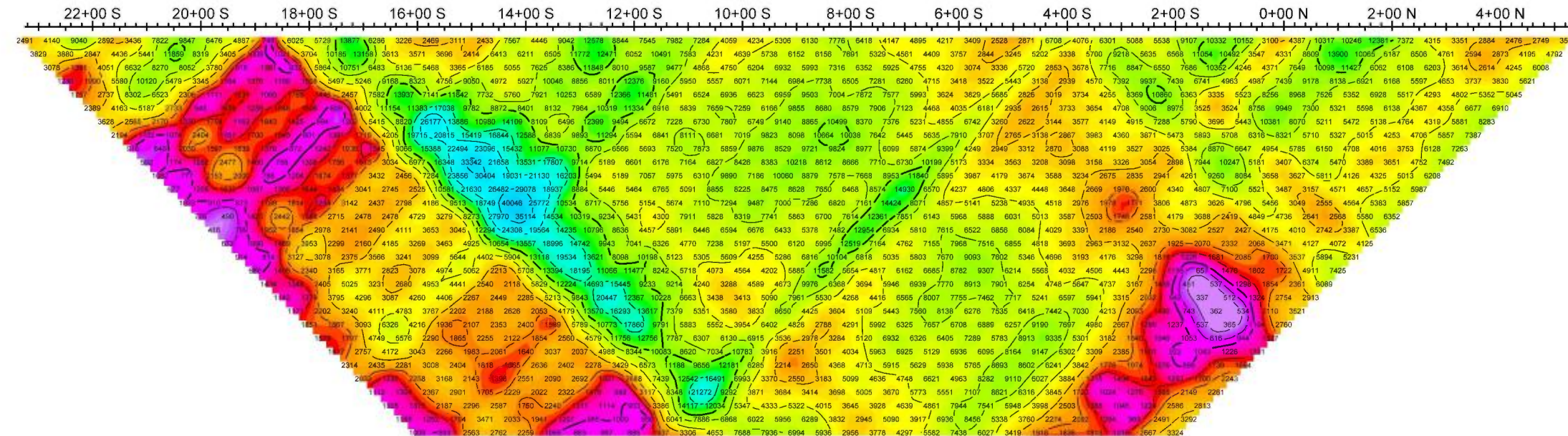
Line 60+00E



Cartier Resources Inc.
Cadillac Extension Project
Baudin Township
Québec, Canada

Project no: 15N047 Line 60+00E

Abitibi Geophysics Inc.



LEVÉ OREVISION®

**SECTIONS VERTICALES DE L'INVERSION 3D
AVEC CIBLES DE SONDAGE**

